



**MINISTERUL EDUCAȚIEI, CERCETĂRII ȘI INOVĂRII  
AUTORITATEA NAȚIONALĂ PENTRU CERCETARE ȘTIINȚIFICĂ**

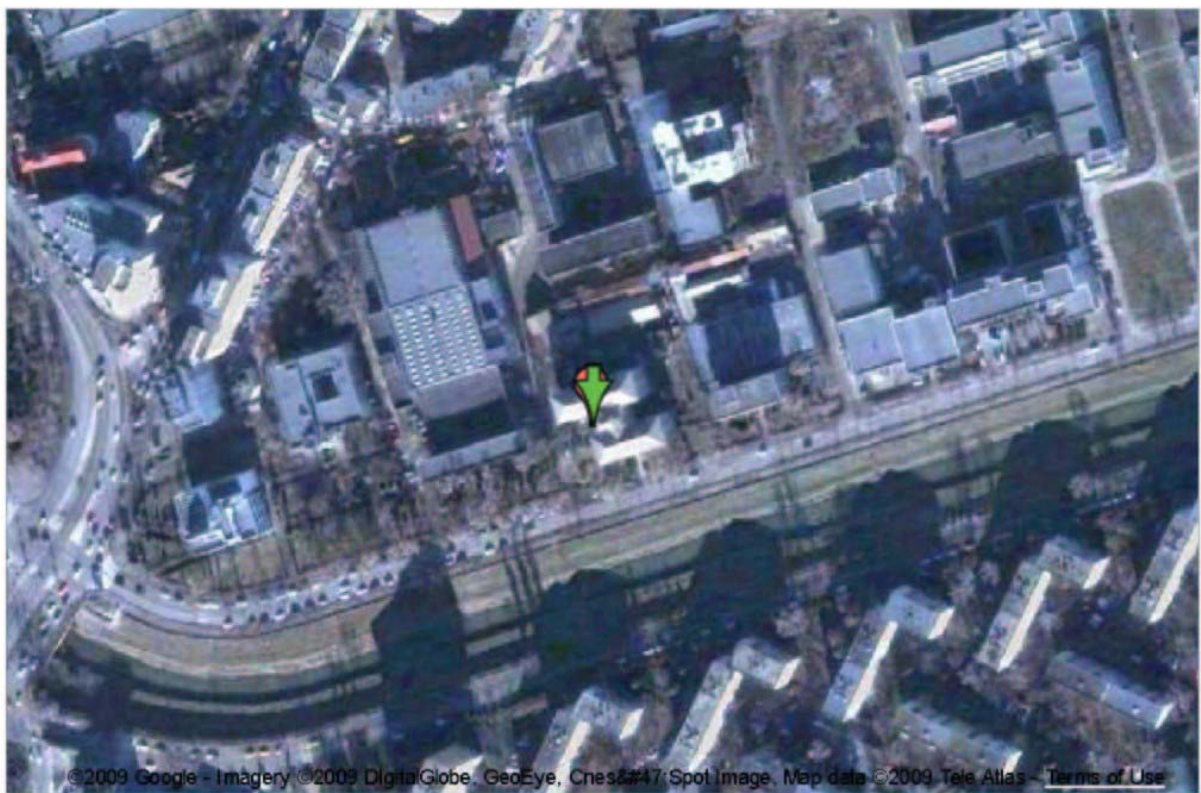
# RAPORT ANUAL 2008



**INSTITUTUL NAȚIONAL DE CERCETARE-DEZVOLTARE  
PENTRU FIZICĂ TEHNICĂ – IFT IAȘI**

**Bulevardul D. Mangeron nr. 47  
700050 Iași, România  
Tel.: 0232-430680  
Fax: 0232-231132  
e-mail: [hchiriac@phys-iasi.ro](mailto:hchiriac@phys-iasi.ro)  
<http://www.phys-iasi.ro>**





# RAPORT ANUAL 2008



**INSTITUTUL NAȚIONAL DE CERCETARE-DEZVOLTARE  
PENTRU FIZICĂ TEHNICĂ – IFT IAȘI**

## CUPRINS

<b>Despre INCDFT - IFT Iași</b>	<b>1</b>
<b>Organograma INCDFT – IFT Iași</b>	<b>4</b>
<b>Resurse umane</b>	<b>5</b>
<b>Infrastructura</b>	<b>8</b>
<b>Direcții de cercetare dezvoltate în 2008 / Rezultate</b>	<b>17</b>
<b>Articole științifice publicate în reviste de specialitate cotate în sistemul ISI</b>	<b>34</b>
<b>Articole științifice publicate în reviste de specialitate care nu sunt cotate ISI și în Proceeding-uri ale unor conferințe naționale și internaționale</b>	<b>53</b>
<b>Comunicări la manifestări științifice naționale și internaționale</b>	<b>56</b>
<b>Cărți publicate la edituri din țară</b>	<b>68</b>
<b>Brevete de inventie / Cereri de brevete</b>	<b>69</b>
<b>Produse rezultate din activitatea de cercetare-dezvoltare</b>	<b>70</b>
<b>Laborator de încercări (analize) pentru materiale și dispozitive magnetice (Certificat de acreditare RENAR nr. LI 709/2008)</b>	<b>72</b>
<b>Participare la acțiuni de prezentare și promovare a rezultatelor cercetării</b>	<b>73</b>
<b>Colaborări naționale și internaționale</b>	<b>74</b>
<b>Vizite de lucru la INCDFT-IFT Iași</b>	<b>77</b>





## Despre INCDFT-IFT Iași

anul 2008, 7 dintre tinerii cercetători de la **INCDFT - IFT Iași** și-au finalizat studiile doctorale prin susținerea tezelor de doctorat, teze ale căror subiecte s-au regăsit și în cadrul tematicilor proiectelor de cercetare derulate în institut. Un număr de cercetători de la **INCDFT - IFT Iași** și-au completat specializarea în țări din Europa, S.U.A. și Japonia, iar un număr de cercetători străini, atât din domeniul academic cât și din industrie au realizat stagii de cercetare la **INCDFT - IFT Iași**.

O parte dintre cercetătorii de la **INCDFT - IFT Iași** sunt membri ai unor prestigioase societăți profesionale naționale și internaționale, cum ar fi Societatea Română de Fizică, Societatea Română de Materiale Magnetice, Societatea Europeană de Fizică (EPS), Societatea Europeană de Magnetism (E-MAG), IEEE Society, IEEE Magnetics Society, American Physical Society (APS), European Physical Society, American Association for the Advancement of Science (AAAS), Japan Institute of Metals (JIM), Materials Research Society (MRS).

**INCDFT - IFT Iași** deține infrastructură de cercetare de ultimă generație, ceea ce a permis și permite în continuare abordarea unor cercetări de înalt nivel științific și deschiderea de noi direcții de cercetare în colaborare cu instituții academice și institute de cercetare de prestigiu din țară și strainătate. În anul 2008 infrastructura de cercetare a **INCDFT - IFT Iași** a fost completată cu o serie de dotări performante, unele dintre acestea fiind unice în România (ex. *instalație cu fascicul dublu, ionic și electronic, focalizat - NEON 40 EsB FIB / FE-SEM*). În anul 2008 au fost realizate investiții în infrastructura de cercetare în valoare de 5.419.919 lei.

În anul 2008 au fost inițiate o serie de cercetări noi, interdisciplinare, au fost identificate și evidențiate noi aplicații plecând de la activități de cercetare fundamentală pe baza noilor fenomene și procese fizice, structurilor și particularităților morfologice și funcționale ale noilor materiale studiate. La competițiile lansate în anul 2008, **INCDFT - IFT Iași** a participat la elaborarea unui număr de 32 de propuneri de proiecte (coordonator-17 și partener-15), fiind selectate pentru finanțare un număr de **14** proiecte (coordonator-9 și partener-5), din care, **8** proiecte în Programul PARTENERIATE, **5** proiecte în Programul IDEI și **1** proiect în Programul CAPACITĂȚI. De asemenea, în anul 2008 **INCDFT - IFT Iași** a participat la elaborarea a **5** propuneri de proiecte (coordonator-1, partener-4) în cadrul competițiilor Programului Cadru FP7 al UE.

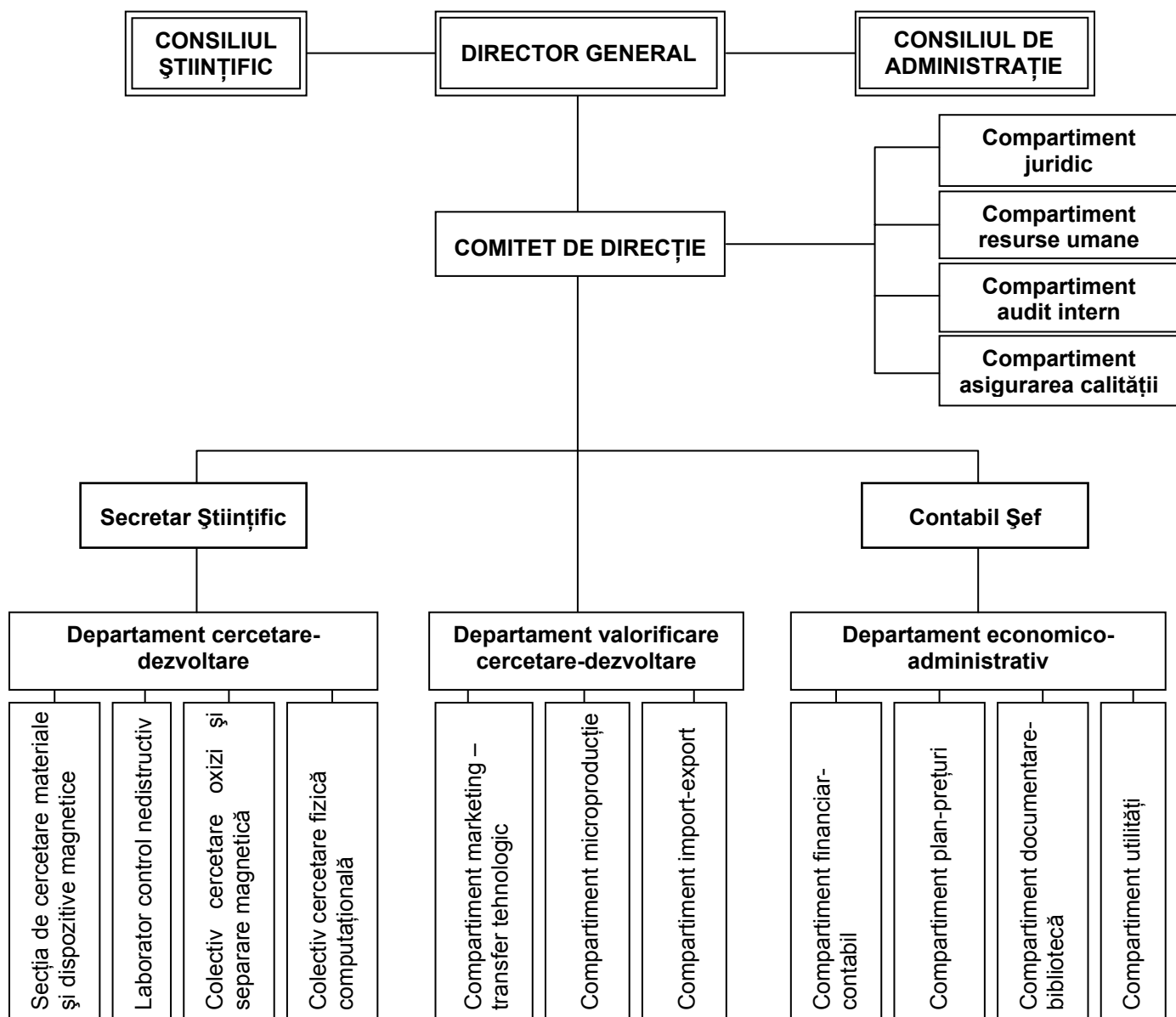
În continuare, se va avea în vedere creșterea performanței științifice a institutului prin deschiderea de noi direcții de cercetare și valorificarea rezultatelor prin diseminarea acestora pe scară largă. Strategia pe termen mediu și lung a **INCDFT - IFT Iași** cuprinde următoarele tendințe:

- dezvoltarea de cercetări interdisciplinare care vor acoperi domenii ale fizicii, chimiei, electronicii, biologiei, medicinei, agronomiei, energiei și securității în acord cu ariile tematice prevăzute în strategia națională și cu ariile tematice dezvoltate în Programele europene și internaționale;
- realizarea de consorții regionale, naționale și internaționale pentru domenii noi de cercetare și consolidarea consorțiilor existente prin dezvoltarea de activități de cercetare în comun;
- evidențierea de noi aplicații și dezvoltarea acestora ținând cont de cerințele pieței. Promovarea rezultatelor cercetării prin oferte de servicii și prin participarea la târguri și expoziții naționale și internaționale. Aplicarea rezultatelor cercetării în companii, în special a rezultatelor de înaltă tehnologie;
- dezvoltarea activităților de training pentru tinerii cercetători, în laboratoare de cercetare de prestigiu din țară și strainătate.

Iași, Iunie 2009

Prof. Dr. Horia CHIRIAC  
Director General al INCDFT-IFT Iași

## Organigrama INCDFT-IFT Iași



## Resurse umane

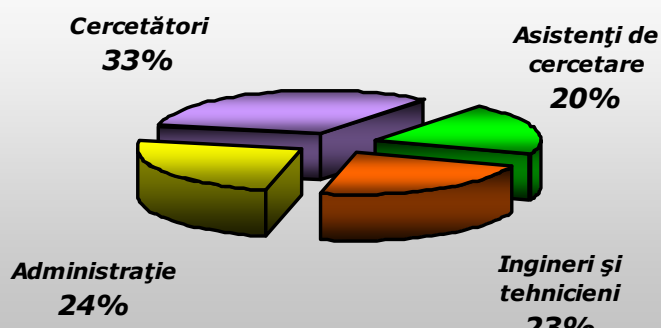
În anul 2008, la **INCDFT - IFT Iași** și-au desfășurat activitatea un număr de 91 persoane, din care 69 persoane în activitatea de cercetare-dezvoltare și 22 persoane în administrație.

Dintre cele 69 de persoane care au fost implicate în activități de cercetare-dezvoltare-inovare, 24 sunt doctori în Fizică, Chimie și Inginierie.

### **Structura personalului pe profesii**

Cercetători atestați	30
Asistenți de cercetare	18
Ingineri și tehnicieni	21
Personal administrație	22
<b>TOTAL PERSONAL</b>	<b>91</b>

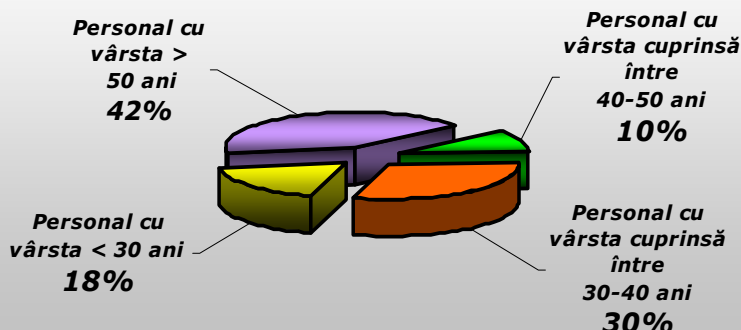
### **Structura personalului pe profesii**



### **Distribuția pe vârste a personalului din cercetare-dezvoltare**

Personal sub 30 de ani	12
Personal cu vârstă cuprinsă între 30-40 ani	21
Personal cu vârstă cuprinsă între 40-50 ani	7
Personal cu vârstă peste 50 de ani	29
<b>TOTAL PERSONAL</b>	<b>69</b>

### **Distribuția pe vârste a personalului din cercetare -dezvoltare 2008**



## Resurse umane

Personalul tânăr care a desfășurat activități de cercetare-dezvoltare a fost de asemenea implicat în diferite programe de perfecționare prin doctorate și masterate. În anul 2008 la **INCDFT - IFT Iași** și-au desfășurat activitatea de cercetare un număr de **9** doctoranți și **2** masteranți. Doctoranzii și masteranzii au fost implicați direct în activități de cercetare-dezvoltare din cadrul unor proiecte derulate în cadrul institutului în programele CEEEX, GRANTURI și PN II, activități care au constituit și subiectele referatelor și respectiv ale tezelor de masterat și doctorat.

În anul 2008 au fost susținute **7 teze de doctorat**, din care **2 teze de doctorat** au fost susținute public, iar **5 teze de doctorat** au fost susținute în cadrul Departamentului de Fizică al Facultății de Fizică de la Universitatea „Alexandru Ioan Cuza” Iași, primind aviz favorabil pentru susținerea publică la începutul anului 2009. Ulterior, toți cei **7 doctoranți** au devenit doctori în Fizică. Tematicile dezvoltate în cadrul celor **7 teze de doctorat** au fost următoarele:

1. [\*Identificarea unor molecule biologice cu ajutorul purtătorilor magnetici în biosenzori magnetici \(teză susținută public în anul 2008\)\*](#)  
Doctorand: Dumitru-Daniel HEREA, Conducător științific: Prof. Dr. Horia CHIRIAC
2. [\*Investigații asupra unor compusi oxidici cu structură spinel, perovschit sau hexagonală preparați prin metoda precursoare a autocombustiei \(teză susținută public în anul 2008\)\*](#)  
Doctorand: Corneliu DOROFTEI, Conducător științific: Prof. Dr. Nicolae REZLESCU
3. [\*Studiul proprietăților magnetice ale materialelor amorf și nanostructurate în domeniul frecvențelor înalte\*](#)  
Doctorand: Gabriel ABABEI, Conducător științific: Prof. Dr. Horia CHIRIAC
4. [\*Materiale magnetice compozite\*](#)  
Doctorand: Sorin CORODEANU, Conducător științific: Prof. Dr. Horia CHIRIAC
5. [\*Senzori pe bază de materiale magnetice amorf\*](#)  
Doctorand: Mihai ȚIBU, Conducător științific: Prof. Dr. Horia CHIRIAC
6. [\*Pulberi magnetice micro și nanometrice\*](#)  
Doctorand: Carmen GHERASIM, Conducător științific: Prof. Dr. Horia CHIRIAC
7. [\*Cercetări privind posibilitatea folosirii unor materiale ceramice ca senzori\*](#)  
Doctorand: Nicoleta MURGULEȚ (căsătorită IFTIMIE), Conducător științific: Prof. Dr. Nicolae REZLESCU

### **Strategia INCDFT-IFT Iași în domeniul resurselor umane**

**INCDFT - IFT Iași** își propune pe termen mediu și lung să mențină personalul de bază existent implicat în activități de cercetare-dezvoltare, să crească numărul personalului atestat pentru activitatea de cercetare–dezvoltare prin promovarea doctoranzilor angajați pe perioadă determinată, să stimuleze întoarcerea în țară a unor specialiști plecați în străinătate, să dezvolte noi direcții de cercetare în domenii conexe prin cooptarea de cercetători/personal didactic de la universitățile de profil din Iași cu care institutul desfășoară deja activități în colaborare, să angajeze pe durată determinată absolvenți post-doctorat, doctoranți, masteranți, studenți.

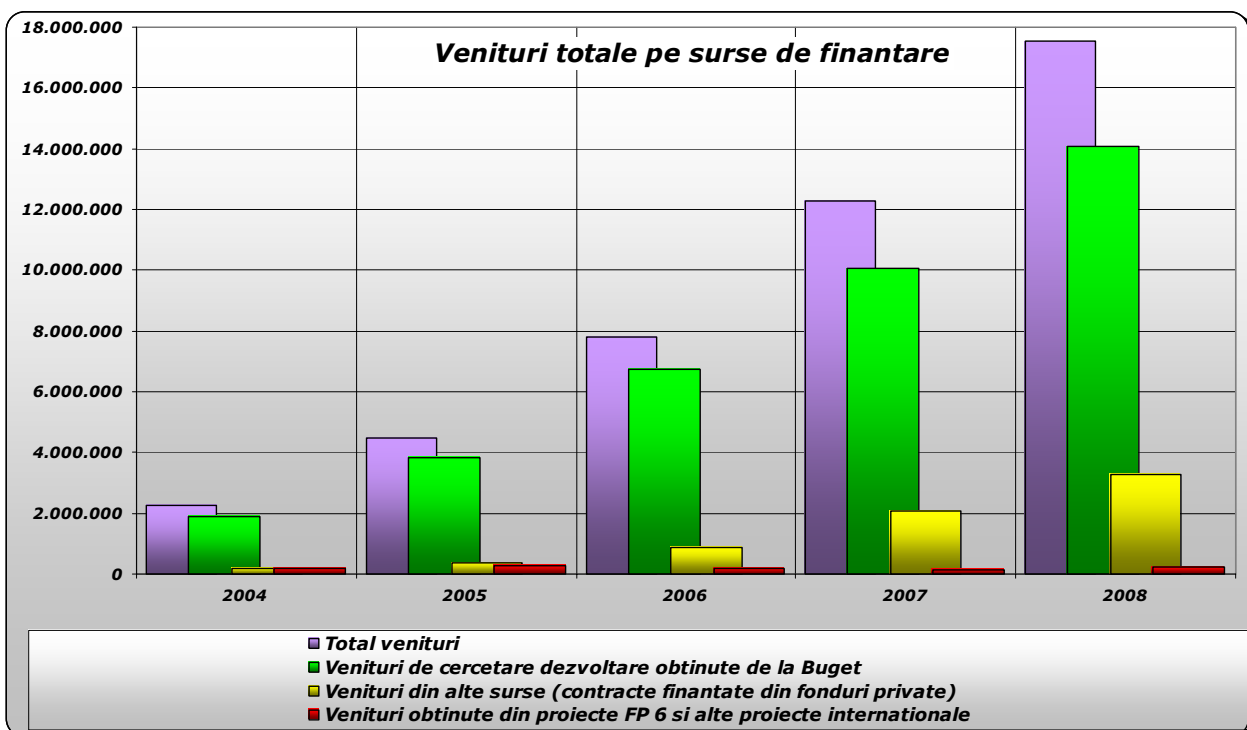
La **INCDFT - IFT Iași** se va continua activitatea de perfecționare a tinerilor cercetători prin masterate și doctorate. Doctoranzii la cursurile de zi își vor desfășura activitatea la **INCDFT - IFT Iași**, subiectele tezelor de doctorat reprezentând activități de cercetare cuprinse în proiectele aflate în derulare la **INCDFT - IFT Iași**.

Pentru perfecționarea profesională a tinerilor cercetători, dar nu numai, vor fi inițiate/dezvoltate, de asemenea, activități de „training” prin efectuarea de stagii de durată scurtă și medie în laboratoare de cercetare de prestigiu din străinătate, în baza proiectelor de cooperare bilaterale aflate în derulare și a acordurilor de colaborare încheiate.

## Resurse financiare

### Distribuția veniturilor totale pe surse de finanțare Perioada 2004–2008

SURSA DE FINANȚARE	ANUL				
	2004	2005	2006	2007	2008
Venituri din activități de cercetare-dezvoltare obținute de la Buget	1.878.676	3.844.276	6.730.826	10.043.592	14.060.056
Venituri din activități de cercetare-dezvoltare obținute din proiecte FP6 și alte proiecte internaționale	181.855	272.105	164.300	143.333	224.163
Venituri din alte surse (contracte finanțate din fonduri private)	184.474	372.510	885.692	2.072.687	3.254.285
<b>TOTAL VENITURI</b>	<b>2.245.005</b>	<b>4.488.891</b>	<b>7.780.818</b>	<b>12.259.612</b>	<b>17.538.504</b>







## Infrastructura

	<b>laborator Scoutt 55</b>	(Contract nr. 92/2006)
14.	<b>Amplificator LOCK-IN SR 530 cu accesoriu și LCR tester cu soft LCR V 3.0</b>	- 1 proiect / Program CEEEX (Contract nr. 92/2006)
15.	<b>Sistem pentru scanare și inspectare sol</b>	- 1 proiect / Program GRANTURI (Grant nr. 706/2006) - 1 temă de cercetare Program NUCLEU (PN 01 03) (Contract nr. 06-38/2006) - Fonduri proprii
16.	<b>Mașină de lipit cu accesoriu BALL BONDER HB04</b>	- Fonduri proprii
17.	<b>Surse de tensiune: sursă digitală S.N. #1212285, model 2400; sursă de tensiune model 2635</b>	- Fonduri proprii
18.	<b>Sisteme de vid VacuumBRAND (2 buc.)</b>	- Fonduri proprii
19.	<b>Sisteme de izolare la vibrații AVI400-M-LP</b>	- Fonduri proprii
20.	<b>Bidistilator model GFL</b>	- 1 temă de cercetare Program NUCLEU (PN 01 04) (Contract nr. 06-38/2006)

În continuare sunt prezentate echipamentele reprezentative achiziționate în anul 2008 la INCDFIT - IFT Iași.

(1) **Instalație cu dublu fascicul (de ioni și electroni) focalizat Carl Zeiss CrossBeam NEON40EsB (FIB / FE-SEM / EDS):** rezoluție fascicul electroni:  $1,1 \div 2,5$  nm pentru tensiuni între  $20 \div 1$  kV; rezoluție fascicul ionic 7 nm la 30 kV; mărire:  $12x \div 2.600.000x$  (SEM);  $635x \div 1.500.000x$  (FIB).

Această facilitate tehnologică ultraperformantă, unică în România, este utilizată pentru:

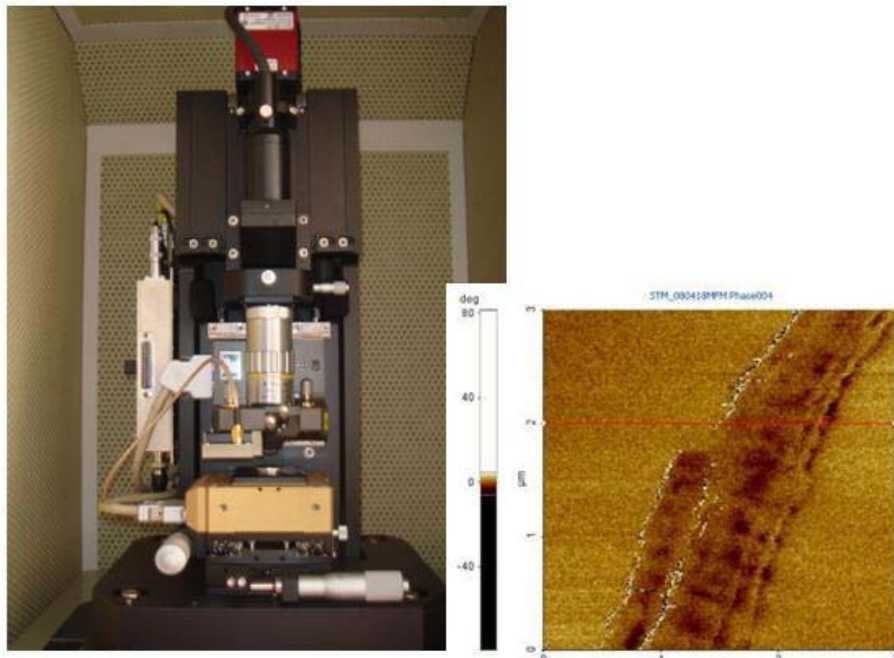
- *activități complexe de micro/nanoprelucrare și nanoindentare* în membrane din materiale ceramice, metalice sau polimerice cu grosimi micro/nanometrice, în vederea dezvoltării de structuri verticale tip nanopillars, structuri template tip rețele de nanofibre sau alte structuri complexe;
- *tratamente ionice* de cristalizare pentru dezvoltarea de nanoclusteri în matrici amorfă;
- *corodare ionică* pentru realizarea de structuri geometrice specifice microsenzorilor, microactuatorilor, sistemelor cu injecție de spin, etc.



*Instalație cu fascicul dublu (de ioni și electroni) focalizat Carl Zeiss CrossBeam NEON40EsB FIB / FE-SEM / EDS.*

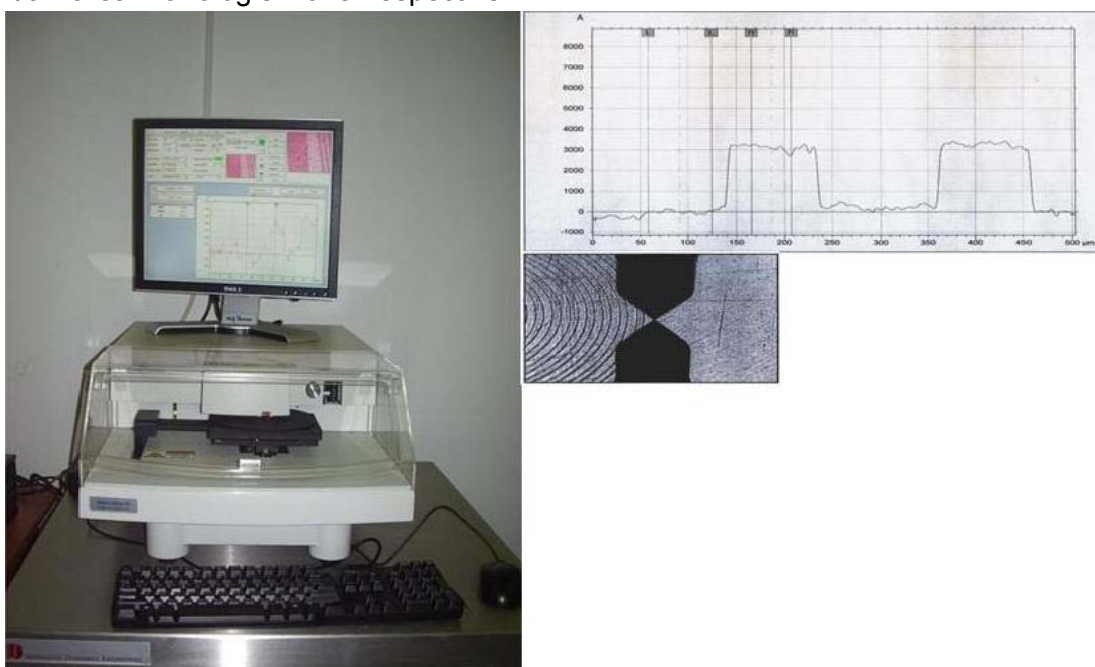
## Infrastructura

- (2) **Microscop de forță atomică** cu module MFM, EFM, SThM, STYM, conductive–AFM (I-AFM), nanoindentare și nanolitografiere **Park SYSTEMS XE -100**. *Microscopul de forță atomică Park Systems XE-100 este un echipament complex utilizat pentru studiul proprietăților morfologice, topologice, electrice, magnetice, termice și mecanice ale materialelor, precum și pentru activități de nanoindentare și nanolitografiere.*



*Microscop de forță atomică Park XE-100 (dreapta). Structura magnetică a nanofirelor multistrat de tip NiFe/Cu (stânga).*

- (3) **Aparat pentru determinarea grosimii straturilor subțiri Alpha Step IQ**, cu rezoluția  $\leq 0,1$  nm. Acest aparat este utilizat pentru măsurarea/evaluarea grosimii straturilor subțiri într-un punct sau pe o anumită zonă a probei permitând în același timp și vizualizarea morfoloiei zonei respective.



*Aparat pentru determinarea grosimii straturilor subțiri Alpha Step IQ (dreapta). Variația grosimii unui strat subțire metalic structurat sub formă de traseu rezistiv circular (stânga).*

## Infrastructura

- (4) **Dilatometrul vertical LINSEIS L75 VS 1000 (certificat)** este utilizat pentru studiul variației dimensiunilor în funcție de temperatură ale unor eșantioane din materiale în formă masivă sau sub formă de pulberi introduse într-un sistem port-probă special. Caracteristici tehnice: dimensiuni probă/port – probă: lungime maximă 40 mm, diametru minim 3 mm, diametru maxim 6 mm; domeniul de temperaturi:  $25 \div 1000^{\circ}\text{C}$ .



Dilatometru LINSEIS L75 VS 1000 (pe display este prezentată variația lungimii probei în funcție de temperatură, pentru un eșantion sub formă de bară dintr-un aliaj cu memoria formei).

- (5) **Analizorul mecanic dinamic–DMA** (Dynamical Mechanical Analyzer) permite determinarea dinamică a principalilor parametri mecanici ale unor clase largi de materiale (metalice, plastice, compositive, spume, fire) la temperaturi de până la  $650^{\circ}\text{C}$ . Cu acest echipament pot fi evidențiate de asemenea schimbări de fază și se poate determina energia de activare.



Analizorul mecanic dinamic – DMA.

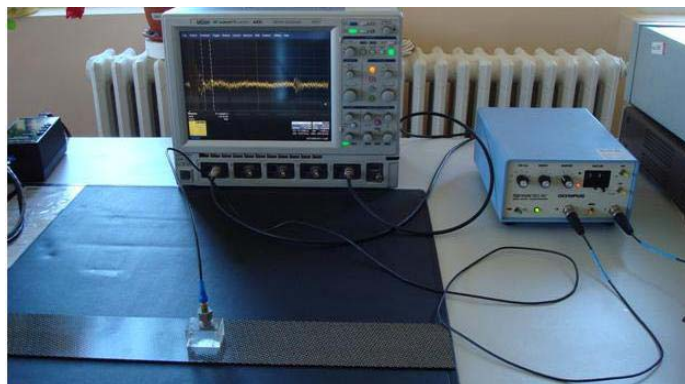
## Infrastructura

- (6) **Sistem pentru scanare și inspectare sol - *Ground Penetrating Radar-Georadar*:** destinat investigării proprietăților fizice ale solului precum și detectării obiectelor îngropate, siturilor arheologice și golurilor.



*Sistem pentru scanare și inspectare sol.*

- (7) **Aparat ultrasonic de înaltă frecvență – PR 5073 OLYMPUS:** destinat evaluării proprietăților fizice ale diferitelor tipuri de materiale (metalice, plastice, compozite, spume, structuri lemnioase).



*Aparat ultrasonic de înaltă frecvență - PR 5073 OLYMPUS.*

- (8) **Analizorul de particule MICROTRAC S3 500** permite determinarea dimensiunilor particulelor în domeniul  $0,02\text{--}2000 \mu\text{m}$ . Acest aparat poate fi utilizat în două variante de lucru: *wet și dry*.



*Analizor de particule MICROTRAC S3 500.*

## **INFRASTRUCTURA DE CERCETARE EXISTENTĂ LA INCDFT - IFT Iași**

### **1) Facilități tehnice pentru prepararea și/sau nanoprelucrarea materialelor**

- Instalații pentru prepararea materialelor magnetice amorse și nanocristaline prin răcire rapidă din topitură sub formă de benzi, fire convenționale, microfire acoperite cu sticlă și în diferite forme tridimensionale-milimetrice (bare, discuri, toruri, etc).
- Instalații pentru depunerile stratelor subțiri în vid: ATC-2200/AJA International, Inc. (instalație în camera curată ISO 5); Leybold Heraeus Z-400; IEV 80; utilizate cu detector de neutrășeități și analizor de gaze RGA 300 (10-6 mbar ÷ 10-1 mbar).
- Instalație de sinterizare de tip Spark Plasma Sintering (SPS) FCT-(FAST) HPD5:  $I_{max.} = 20 \text{ kA}$ ; temperatura maximă de sinterizare  $2400^{\circ}\text{C}$  (temperatura de lucru  $2200^{\circ}\text{C}$ ); facilități de lucru în vid; forță maximă de lucru 50 kN.
- Instalație cu fascicul dublu, de ioni și electroni, focalizat NEON 40 EsB FIB/FE-SEM/EDS: rezoluție fascicul electroni: 1,1÷2,5 nm pentru tensiuni de lucru cuprinse între 20÷1 kV; rezoluție fascicul ionic 7 nm la 30 kV; mărire: 12x ÷ 2.600.000x (SEM); 635x ÷ 1.500.000x (FIB).
- Modul de litografiere cu fascicul de electroni XENOS XP G2, montat pe microscopul electronic SEM JEOL JSM 6390.
- Echipamente pentru prepararea de micro și nanopulberi: Moară SPEX 8000 Mixer mill; Moară planetară RETSCH PM 200 și dispozitiv de sitare RETSCH AS 200; Dispozitiv de atomizare cu flux de gaz-lichid; Instalație cu descărcare în arc.
- Echipamente pentru prepararea de materiale nanodimensionante sub formă de nanofire și straturi subțiri prin procedee electrochimice: Biopotențiostat / Galvanostat HEKA PG 340; Potențiostat VoltaLab 10 / 230V.

### **2) Facilități tehnice pentru caracterizarea chimică și fizică a materialelor**

- Spectrometru de absorție atomică Perkin-Elmer AAnalyst 200: măsoară concentrații mici de material cu precizia de 1 µg/ml.
- Spectrometru în infraroșu cu transformată Fourier FT-IR JASCO 6100: analize de compoziție cu precizia  $\leq 0,5 \text{ cm}^{-1}$ .
- Spectrofotometru UV-VIS Perkin Elmer LAMBDA 35: analize de compoziție cu precizie de până la 0,1 nm.
- Echipament pentru analiza suprafetei materialelor și a porozității acestora CHEMBET 3000 TPR/TPD cu accesoriu.
- Difractometru de raze X BRUKER AxS D8-Advance cu modul de temperatură (modificare in-situ a structurii probelor în intervalul de temperatură 77–1700 K) și reflectometrie; lucru în configurație paralelă și convergentă.
- Analizor termic diferențial TG/DSC NETZSCH STA 409 PC Luxx:  $T_{max.} = 1500^{\circ}\text{C}$ ; viteza de încălzire 0,001-50 K/min.
- Calorimetru Differential Scanning Calorimeter SETARAM LABSYS:  $T_{max.} = 1600^{\circ}\text{C}$ , viteza de încălzire 5-50 K/min.
- Microscop de forță atomică cu modul de forță magnetică AFM-MFM QUESANT Q-SCOPE 250.
- Microscop de forță atomică cu module MFM, EFM, SThM, STYM, conductive-AFM, nanoindentare și nanolitografiere Park SYSTEMS XE -100.
- Microscopioare electronice: (i) Microscop electronic cu scanare analitică și modul EDS JEOL JSM 6390, echipat cu modul de litografiere cu fascicul de electroni XENOS XP G2; (ii) Microscop electronic cu baleaj, portabil, TESLA BS 343 A; (iii) Microscop electronic cu fascicul dublu, de ioni (FIB) și electroni (FE-SEM) CrossBeam System Carl Zeiss NEON40EsB + EDS.
- Microscopioare optice de înaltă rezoluție: (i) Microscop optic Carl Zeiss AXIO IMAGER MAT Microscope – Axio Imager. A1m (1000 x); (ii) Microscop optic cu reflexie Carl Zeiss AXIO Observer.D1m Inverse Microscope; (iii) Microscop OPTIKA (800 x);(iv) Microscop OLYMPUS BX51.

## Infrastructura

- Aparat pentru determinarea grosimii straturilor subțiri *Alpha Step IQ*, cu rezoluție  $\leq 0,1$  nm.
- Analizoare pentru determinarea dimensiunii nano- și microparticulelor: (i) Analizor *MICROTRAC/ NANOTRAC 252*: domeniu  $0,8\text{ nm} \div 6,54\text{ }\mu\text{m}$ ; (ii) Analizor *MICROTRAC S3 500*: domeniul  $0,02 \div 2000\text{ }\mu\text{m}$ , cu moduri de lucru *wet* și *dry*.
- Reometru *Anton Paar MCR 101*: măsoară vâscozitatea materialelor în absență și în prezența unui câmp magnetic.
- Sistem de măsură a proprietăților fizice ale materialelor *PPMS-9 QD*, echipat cu: *magnetometru cu probă vibrantă*, *sistem de măsură a câmpului magnetic rezidual*, *sistem de măsură a căldurii specifice*, *sistem de măsură a proprietăților de transport și magnetotransport*.
- Echipament de măsură a caracteristicilor magnetice de suprafață prin efect Kerr magneto optic *Nano MOKE 2*.
- Magnetometru cu probă vibrantă *Lake Shore VSM 7410*: *câmp magnetic  $0 \div 3,2\text{ T}$ ; temperatură de lucru  $4 \div 1300\text{ K}$* ; echipat cu *modul pentru determinarea magnetorezistenței* (domeniul de temperatură  $4,2 \div 450\text{ K}$ ).
- Histerezisgraf *HyMAC* cu accesori (frecvențe de lucru între 30 și 3000 Hz).
- Analizoare de impedanță/rețea: (i) Analizor de impedanță tip *AGILENT 4394 A* (40-110 MHz); (ii) Analizor RF de impedanță/material tip *E 49991 A* (1 MHz-3 GHz); (iii) Analizor de rețea tip *VNA – LN 5230 E* (3 GHz – 50 GHz).
- Echipament pentru studiul caracteristicilor dinamice ale senzorilor magnetici cu sistem de compensare a câmpului magnetic terestru: se poate determina rezoluția, sensibilitatea și liniaritatea senzorilor magnetici.
- Dilatometru vertical *LINSEIS L75 VS 1000*: dimensiuni probă - lungime maximă 40 mm, diametru minim 3 mm, diametru maxim 6 mm; domeniu de temperatură  $25 \div 1000^{\circ}\text{C}$ .
- Cuptoare pentru tratamente termice în aer, vid sau atmosferă controlată: Cuptoare *CARBOLITE* (*temperatură maximă  $1500^{\circ}\text{C}$* ); cupor pentru tratament termic în vid (*temperatura maximă  $750^{\circ}\text{C}$* ).
- Analizor mecanic dinamic (DMA-Dynamical Mechanical Analyzer) pentru determinarea dinamică a parametrilor mecanici ai materialelor (metalice, plastice, compozite, spume, fire) la *temperaturi de până la  $650^{\circ}\text{C}$* .
- Sistem pentru scanare și inspectare sol *Ground Penetrating Radar-Georadar*, pentru investigarea proprietăților fizice ale solului și detectarea obiectelor îngropate, siturilor arheologice și golurilor.
- Aparat ultrasonic de înaltă frecvență *PR 5073 OLYMPUS* pentru evaluarea proprietăților fizice ale diferitelor tipuri de materiale (metalice, plastice, compozite, structuri lemnăsoase).
- Sistem complex de măsurare *Newmark Agilent* pentru evaluarea prin procedee electomagnetice și de unde elastice a gradului de degradare a unor clase largi de materiale.
- *Defectoscop Ultrasonic PHASOR-XS* pentru evaluarea nedistructivă a defectelor materialelor.
- *Microtom 5040* pentru realizarea de probe/sectiuni pentru analize prin microscopie optică și electronică.
- *Centrifugă 460 RCF* pentru separarea micro și nanopulberilor din suspensii lichide.

### **Strategia de investiții a INCDFT-IFT Iași în infrastructura de cercetare**

**INCDFT - IFT Iași** își propune consolidarea poziției de unitate de cercetare-dezvoltare cu dotări performante și complexe atât la nivel național cât și la nivel regional, în zona Moldovei, pentru: prepararea de materiale avansate pentru cercetare, în diferite forme geometrice și stări structurale; caracterizarea fizico-chimică complexă a materialelor (compozițională, structurală, morfologică, magnetică, electrică, mecanică, termică, etc);

## Infrastructura

dezvoltarea de noi aplicații ale materialelor avansate, folosind la maximum experiența științifică, capacitatea de expertiză a personalului din cercetare existent și relațiile de colaborare interne și externe existente sau în curs de realizare. Sursele de finanțare avute în vedere pentru dotări suplimentare sunt următoarele: proiecte finanțate din fonduri structurale; proiecte și granturi de cercetare naționale, europene și internaționale în derulare sau care urmează să fie obținute prin competiție; fonduri obținute pe baza comenzilor primite și contractelor încheiate cu parteneri din străinătate.

În anul 2008, activitățile de cercetare-dezvoltare-inovare de la **INCDFT - IFT Iași** s-au focalizat pe următoarele direcții:

**I) Sintetizarea de noi materiale cu structuri speciale**

- nanocompozite multifuncționale pe bază de argile anionice mezoporoase cu aplicații în medicină și biologie;
- materiale nanocompozite cu proprietăți magnetic dure sub formă de straturi subțiri simple și multiple;
- micro și nanopulberi magnetice pentru stocarea hidrogenului.

**II) Efecte noi dezvoltate/evidențiate în materiale nanostructurate**

- efecte de suprafață în materiale magnetice nanometrice;
- efecte magnetice și magnetorezistive în structuri valvă de spin și jonctiuni magnetice cu tunelare dependentă de spin sub formă de straturi subțiri și rețele de nanofire simple și multistrat;
- studiul relaxării birefringenței și dicroismului în fluide magnetice.

**III) Noi aplicații ale materialelor și dispozitivelor magnetice**

- materiale magnetostrictive multifuncționale pentru sisteme hibride inteligente de senzori, actuatori și traductori;
- biosenzori magnetici și magneto-electrochimici pe bază de nanoparticule magnetice pentru detecția rapidă de biomolecule;
- sisteme de detectie pe bază de nanofire metalice multistrat pentru aplicații biomedicale; purtători magnetici în terapii medicale moderne;
- nanocontrol și multifuncționalitate, în materiale microstraturi și arhitecturi cu memorie a formei;
- arii de senzori electromagnetici pentru mapări de conductivitate electrică și/sau susceptibilitate magnetică cu aplicații la determinarea de la distanță a structurii solului și a fisurilor în diguri.

**IV) Noi metode teoretice și experimentale de evaluare și control a proprietăților fizice ale materialelor**

- metode computaționale de înaltă performanță în modelarea și proiectarea materialelor nanomagnetice;
- metodă electromagnetică neinvazivă pentru evaluarea comportării și integrității structurilor complexe biocompatibile oțel austenitic-carbon nanostructurat, cu aplicații la valve cardiace BSCC implantate;
- implementarea separării magnetice în detoxificarea săngelui uman utilizând particule magnetice suport;
- evaluarea prin procedee electromagneticice a proceselor fizice în aliaje pe bază de zirconiu sub acțiunea hidrogenului și deuteriului;
- concept de examinare nedistructivă automată a țevilor din plăci tubulare prin metoda curentilor turbionari cu senzor din materiale nanostructurate.

De asemenea, **au fost introduse DIRECȚII NOI DE CERCETARE**, cercetările inițiate în anul 2008 reprezentând în același timp cercetări de anvergură și de înalt nivel tehnologic atât pe plan național cât și pe plan internațional:

**I) Noi studii teoretice și experimentale asupra materialelor micro și nanostructurate**

- studiul teoretic și experimental al peretelui interdomenic din microfire feromagnetice amorf și nanocristaline;
- sisteme magnetorezistive și cu injecție de spin nanostructurate în geometrii multistrat și non-local;
- interacțiuni magnetice și transformări de fază în magneți permanenti nanocompoziți izotropi și anizotropi.

- II) **Noi aplicații ale materialelor magnetice amorfe și nanocristaline/nanostructurate**
  - senzori bazați pe elemente de detecție nanometrice pentru aplicații în nanomedicină;
  - microsenzori acustici pe bază de nanofire magnetostrictive pentru aplicații medicale;
  - microsenzori implantabili pentru aplicații medicale;
  - sistem pe bază de microfire magnetice pentru evitarea detonării de la distanță a explozivilor prin intermediul telefoanelor mobile sau a altor dispozitive de tip *remote-control*.
- III) **Materiale și sisteme pentru aplicații speciale**
  - diboruri și hidruri nanostructurate pentru stocarea hidrogenului;
  - particule magnetice și sistem de detoxifiere mag-sorb pentru filtrarea toxinelor acumulate în sânge în insuficiență hepatică și complicațiilor acesteia;
  - membrane poroase suport pentru creșterea de nanostructuri cu topologii complexe;
  - fenomene și procese fizice în meta materiale 1D și 2D cu aplicații în domeniul radiofrecvenței / dezvoltarea de senzori și tehnici neinvasive bazate pe acestea;
  - generarea continuă de micropicături și microparticule superparamagnetice în sisteme microfluidice cu focalizare ferohidrodinamică.

### **REZULTATE OBTINUTE ÎN ANUL 2008**

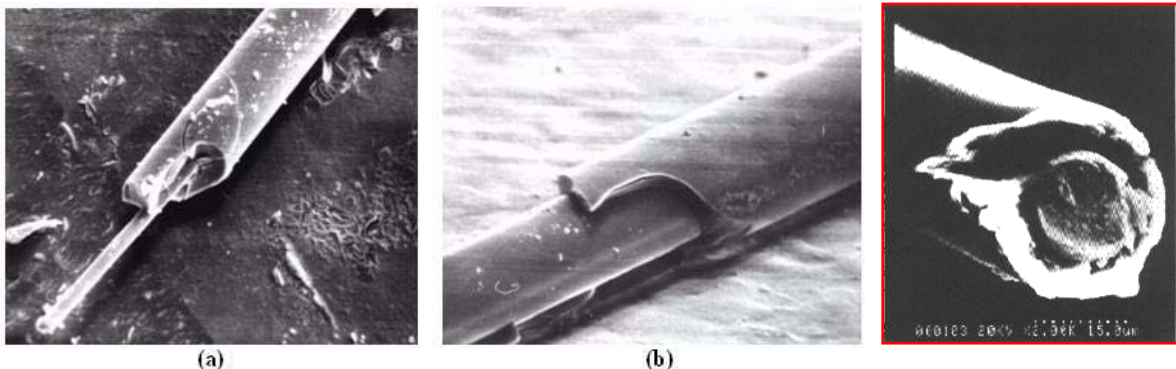
- **64** articole publicate în reviste de specialitate cotate ISI;
- **26** articole publicate în reviste de specialitate necotate ISI;
- peste **180** citări în anul 2008 în reviste de specialitate;
- **4** cărți publicate la edituri din țară;
- **137** lucrări comunicate la manifestări științifice;
- **4** brevete de invenție naționale acordate;
- **8** cereri de brevet de invenție înregistrate la OSIM;
- **4** prototipuri;
- **6** produse noi omologate.

### **Activități de cercetare dezvoltate la INCDFT – IFT Iași**

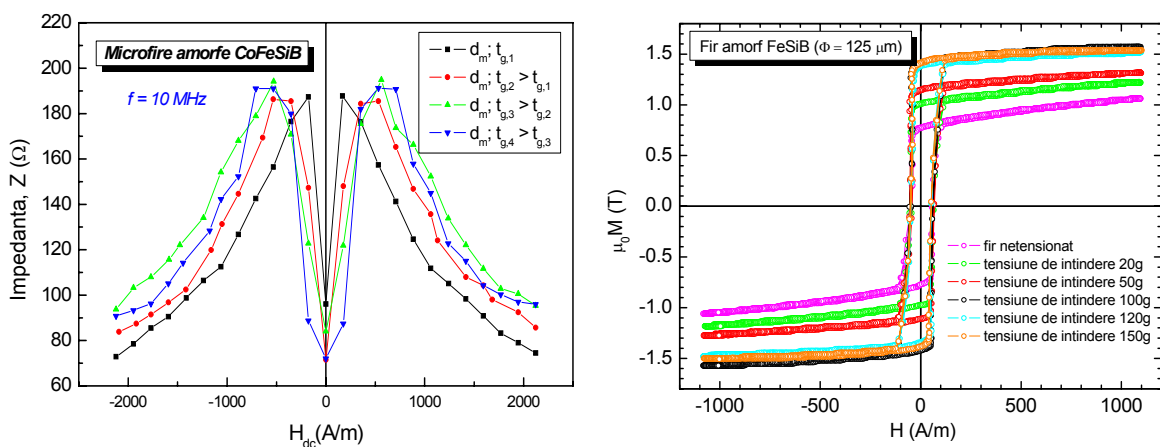
#### **(1) MICROFIRE AMORFE ȘI NANOCRISTALINE ACOPERITE CU STICLĂ**

- microfire amorse de tip FeSiB cu magnetostricțiune pozitivă;
- microfire amorse de tip CoSiB cu magnetostricțiune negativă;
- microfire amorse de tip CoFeSiB cu magnetostricțiune aproape zero;
- microfire nanocristaline pe bază de Fe și/sau Co.

Microfirele magnetice amorse acoperite cu sticlă sunt obținute printr-un proces combinat de răcire rapidă din topitură și tragere a metalului topit într-un înveliș de sticlă înmuiată, cu diametre ale miezului metalic cuprinse între 1-2  $\mu\text{m}$  și 40-50  $\mu\text{m}$  și cu grosimi ale învelișului de sticlă cuprinse între 5 și 50  $\mu\text{m}$  (depinzând de diametrul miezului metalic – figurile a și b).



Imagini SEM ale microfirelor amorse/nanocristaline cu diametre ale miezului metalic cuprinse între 1-2  $\mu\text{m}$  (a) și 40-50  $\mu\text{m}$  (b) și cu grosimi ale învelișului de sticlă cuprinse între 5 și 50  $\mu\text{m}$ . Secțiunea tranversală a unui microfir amorf acoperit cu sticlă (dreapta).

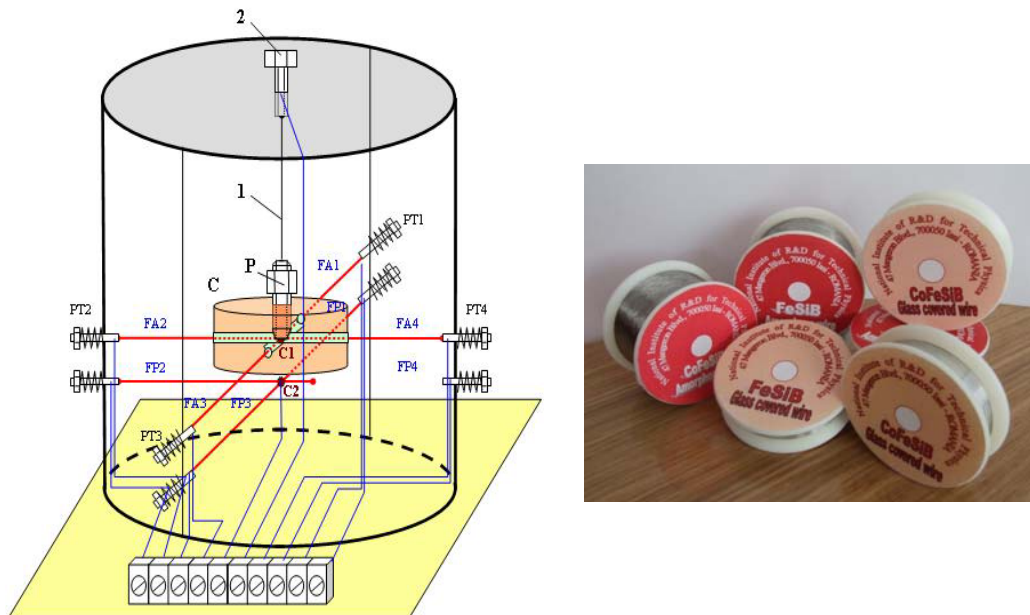


Magnetoimpedanță (GMI effect) în funcție de câmpul aplicat pentru microfire amorse de tip CoFeSiB ( $d_m$  reprezintă diametrul metalului care constituie partea centrală a microfirului;  $t_g$  este grosimea învelișului de sticlă de la exterior) (stânga). Influența tensiunilor mecanice de alungire asupra formei curbelor de histerezis magnetic în cazul firelor magnetice amorse de tipul FeSiB cu magnetostricțiune pozitivă (dreapta).

Efectele evidențiate în microfirele amorse/nanocristaline pe bază de Fe, Co și Co-Fe: efectul magnetoimpedanță gigant (GMI), efectul giromagnetic mare (LGE), efecte de tip Linie de Întârziere Magnetostriktivă (MDL), constituie principiul de funcționare a unui număr semnificativ de tipuri de senzori, actuatori și traductoari:

- senzori de câmp magnetic;
- senzori de vibrație;
- senzori de poziție;
- senzori de deplasare;

- senzori de torsiune;
- senzori de tensiune mecanică;
- senzori de control nedistructiv (NDT);
- echipamente de supraveghere electronică;
- sisteme de securitate;
- senzori magnetometrici;
- actuatori și traductori magnetostrictivi sau sisteme hibride combinate.



*Schema modelului funcțional al unui traductor de înclinare, care utilizează ca material activ un fir amorf pe bază de Fe (stânga). Microfire amorse/nanocristaline acoperite cu sticlă comercializate de INCDFIT-IFT Iași (dreapta).*



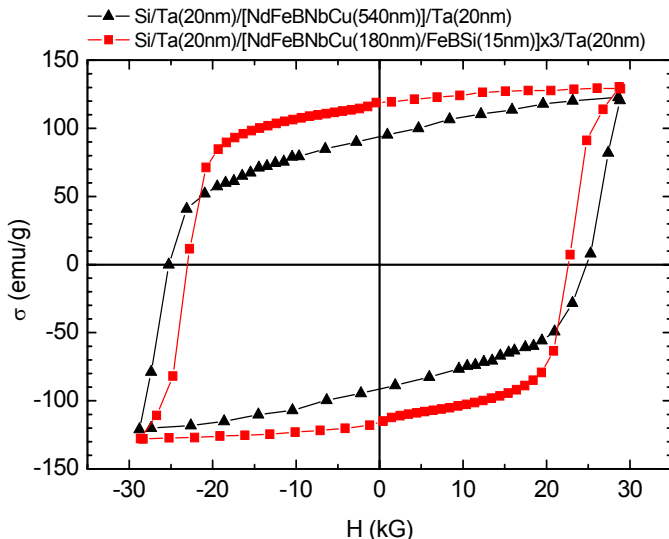
*Cititor cartele magnetice pe bază de microfire magnetice.*



*Echipament pe bază de microfire magnetice pentru detecția de la distanță a codurilor magnetice.*



Au fost obținute straturi subțiri simple NdFeB cu adaosuri de Nb-Cu, Mo-Cu-Mo, Zr și straturi subțiri multiple NdFeB/N cu „spacer layer” de Nb-Cu, Mo-Cu, Co, FeSiB și Fe. S-a studiat influența compozиiei, grosimii straturilor componente și parametrilor de tratament termic asupra caracteristicilor magnetic dure de interes pentru aplicații.



*Curbele de histerezis magnetic ale stratului subțire simplu T/NdFeBNbCu(540nm)/Ta și ale stratului multiplu Ta/[NdFeBNbCu(180nm)/FeSiB(15nm)]·3/Ta, tratate termic la 650°C-20 min.*

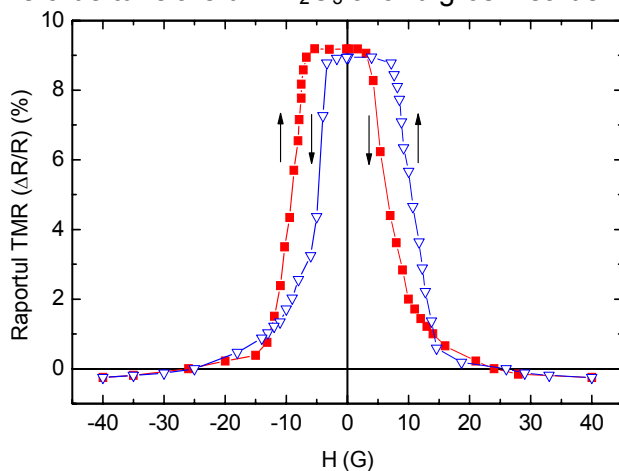
**Aplicații:** micromagneți și rețele de nanomagneți utilizate ca elemente de actuare pentru aplicații în MEMS și NEMS.

### (3) STRUCTURI MULTISTRAT PENTRU UTILIZARE CA VALVE DE SPIN

**Studii:** design nou - **valve de spin simetrice**; material magnetic amorf pentru electrozi; aplicarea secvențială în timpul depunerii celor 2 straturi feromagnetice fixe a unui câmp magnetic cu orientări opuse.

**Structuri cu tunelare dependentă de spin (SDT) simetrice:**

**Design:** 2 structuri cu tunelare dependentă de spin (SDT) poziționate simetric (cu 2 straturi feromagnetice „pinned-up” și „pinned-down” depuse în câmp magnetic de 20 G și cu orientări opuse) cu barieră de tunelare din  $\text{Al}_2\text{O}_3$  având grosimea de ~ 1 nm.



*Dependența răspunsului TMR (Tunneling MagnetoResistance) în funcție de câmpul magnetic aplicat în cazul structurilor MTJ simetrice  $\text{Ta}(5)/\text{Ni}_{80}\text{Fe}_{20}(5)/\text{Fe}_{45}\text{Mn}_{55}(8)/\text{FeCoBNiSi}(3,5)/\text{Al}_2\text{O}_3(1)/\text{FeCoBNiSi}(5)/\text{Fe}_{45}\text{Mn}_{55}(8)/\text{Ta}(5)$ .*

### Caracteristici tehnice:

- variație raport magnetorezistiv de tunelare (TMR) ~ 9% /domeniul 0-20 G;
- sensibilitate 0,45%/G;
- fereastră de câmp ~ 10 G;
- rezistență electrică de tunelare ~120 Ω;
- coeficient termic al rezistenței electrice pentru ansamblul SDT: + 60 ppm/ $^{\circ}$ C.

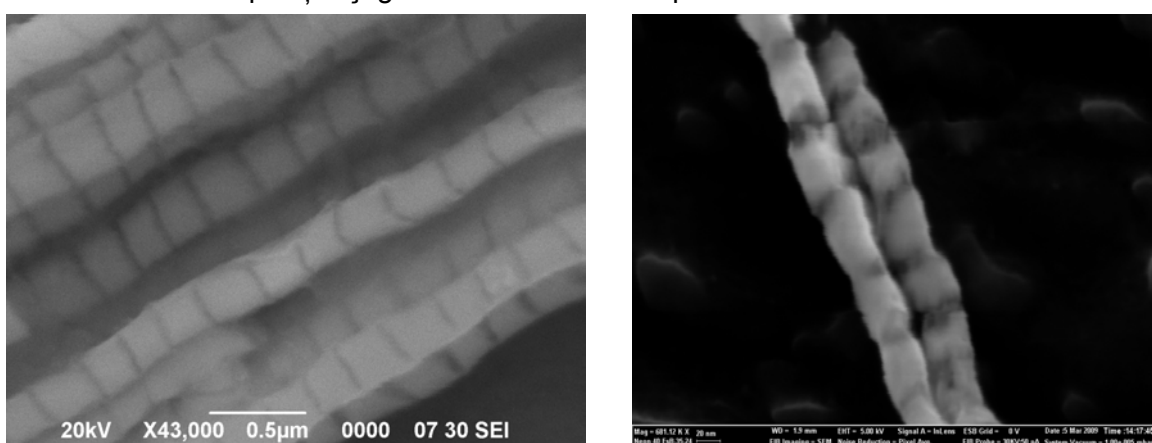
**Aplicații:** senzori pentru detecția câmpurilor magnetice de valori reduse, componente pentru tehnica de calcul, sisteme cu injecție de spin pentru dispozitive micro și nanoelectronice.

### (4) REȚELE DE NANOFIRE SIMPLE ȘI MULTISTRAT, AMORFE ȘI CRISTALINE

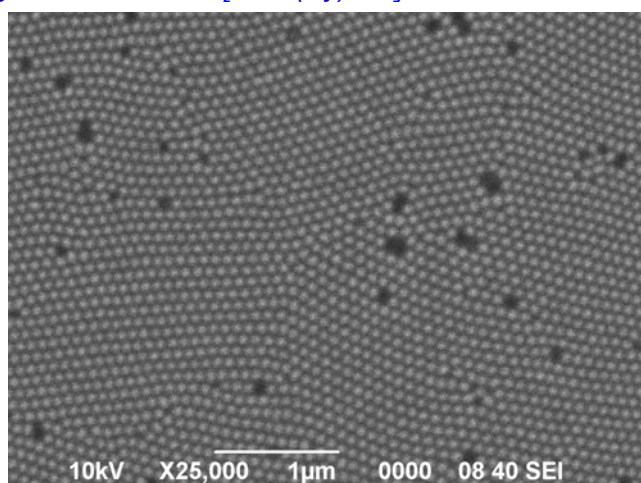
Nanofirele magnetice simple pe bază de metale tranziție pure (Fe, Co, Ni) și aliaje ale acestora și cele multistrat, în care alternează straturi magnetice și nemagnetice, se prepară prin electrodepunere în nanoporii unor membrane din aluminiu sau polimer.

Au fost studiate procesele de magnetizare și fenomenele de magneto-transport pentru înțelegerea corelației dintre condițiile de preparare și proprietățile fizice în vederea proiectării și identificării de aplicații specifice.

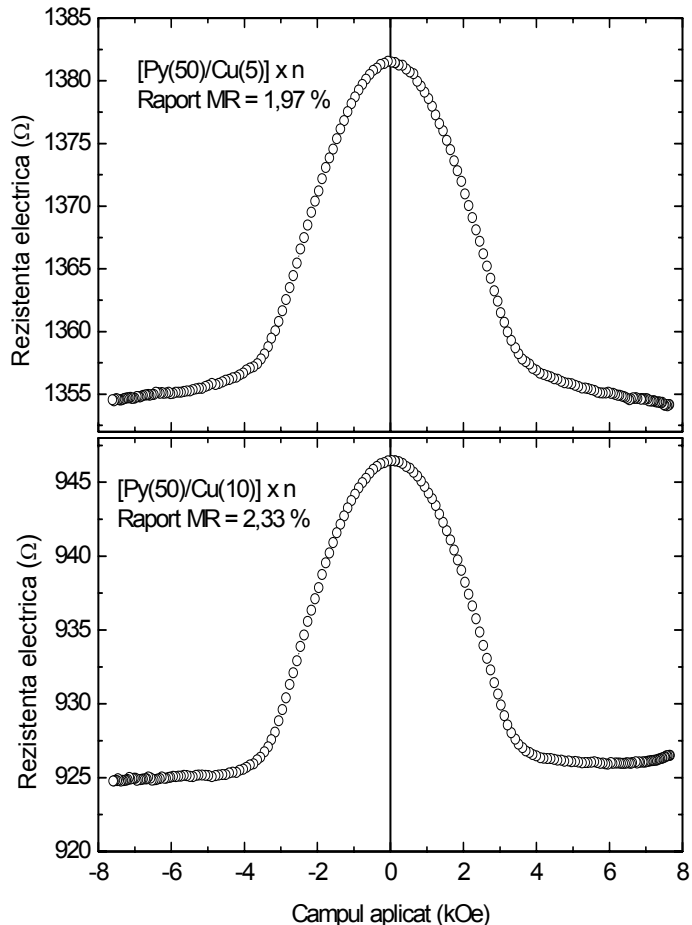
**Caracteristici tehnice:** diametre între 20 și 300 nm; proprietățile magnetice și de magnetotransport (magnetoimpedanță, magnetorezistență) ale nanofirelor sunt optimizate prin modificarea compoziției și grosimii straturilor componente.



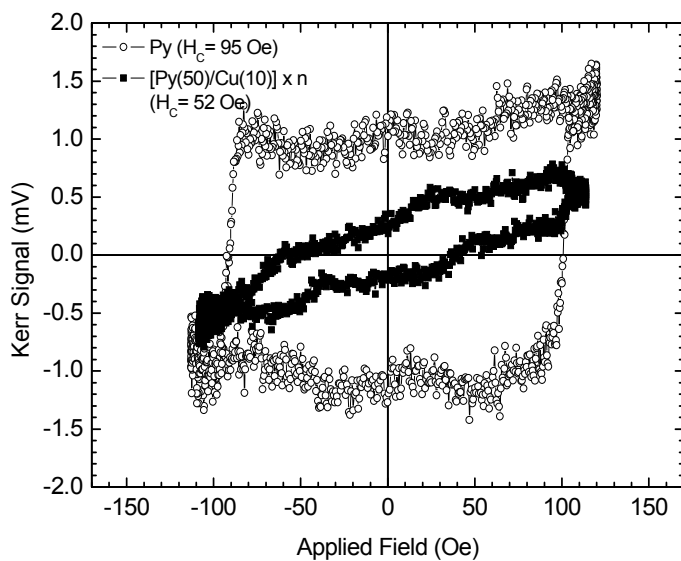
*Rețele de nanofire magnetice multistrat [NiFe(Py)/Cu] $_x$  n.*



*Vedere de deasupra a membranei polizate de aluminiu în care au fost depuse electrochimic nanofire multistrat de [NiFe(Py)/Cu] x n.*



Varierea magnetorezistenței (MR) cu câmpul magnetic aplicat pentru nanofibre multistrat de [Py(50nm)/Cu(5nm)] x n și [Py(50nm)/Cu(10nm)] x n. Contactul a fost realizat pe un singur nanofir prin nanoindentare, nanofirul având diametrul  $\Phi = 35$  nm, iar câmpul magnetic a fost aplicat în planul multistraturilor componente.

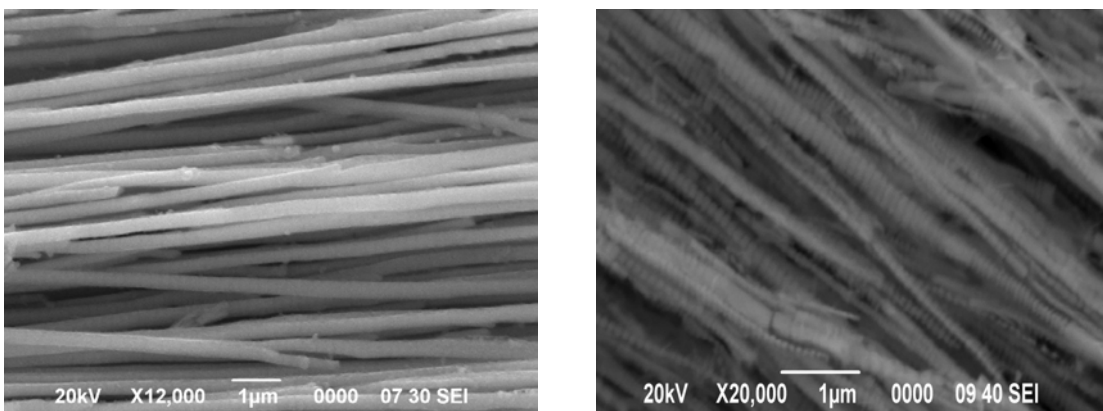


Semnalul Kerr magnetooptic în funcție de câmpul magnetic aplicat pentru nanofibre simple de NiFe (Py) și nanofibre multistrat de [Py/Cu] x n.

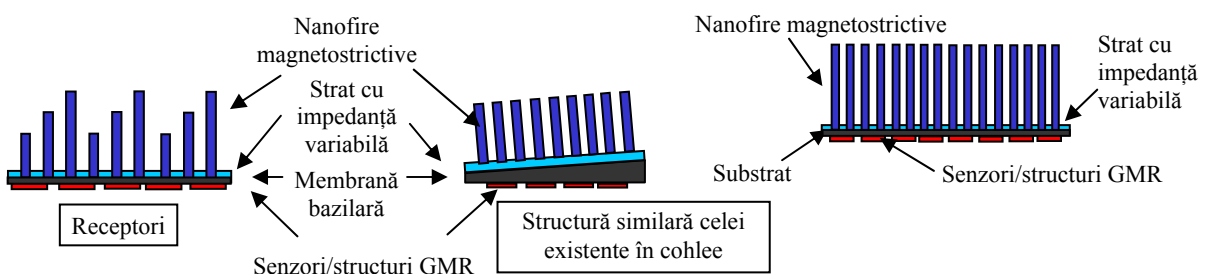
**Aplicații:** dispozitive de tip valvă-de-spin și pentru inversie de spin (*spinswitch devices*), senzori pentru detecția biomoleculelor, alte aplicații biomedicale.

### **(5) REȚELE DE NANOFIRE MAGNETOSTRICTIVE**

Rețelele de nanofire magnetostriuctive sunt obținute prin electrodepunere în porii unor membrane biocompatibile și sunt utilizate pentru microsenzori acustici folosiți în implanturile coahleare. Nanofirele magnetostriuctive constituie elementul activ al microsenzorului și sunt stimulate de către semnalele acustice. Anumite frecvențe ale semnalului acustic produc rezonanță nanofirelor, fenomen care determină generarea unui câmp magnetic local, care ulterior este transformat/transdus în semnal electric prin intermediul unor senzori magnetorezistivi. Semnalul electric generat de microsenzorii acustici este dependent de lungimea, diametrul, densitatea pe unitatea de suprafață și compoziția nanofirelor. Astfel de microsenzori pot fi utilizați în mod singular sau într-o rețea de microsenzori care să imite cât mai bine cilii din urechea internă.



*Nanofire multistrat [FeGa(60nm)/NiFe(20nm)] x n (stânga) și [FeGa(20nm)/CoFeB(60nm)] x n (dreapta) cu diametrul de 200 nm și lungimea de 50 µm, după îndepărțarea matricei de Al<sub>2</sub>O<sub>3</sub>.*



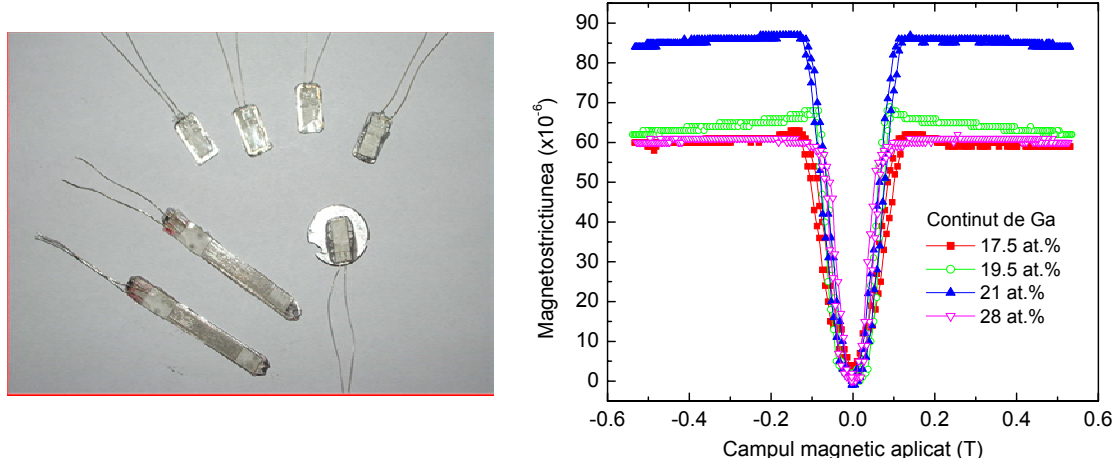
*Structură de nanofire magnetostriutive, egale în lungime, pentru aplicații care necesită factor de calitate (Q) mare (stânga). Structură de nanofire magnetostriutive, cu lungimi diferite, pentru lucru într-o gamă largă de frecvențe de rezonanță (dreapta).*

### **(6) MATERIALE MAGNETOSTRICTIVE**

Materialele magnetostriuctive masive au fost obținute pentru prima dată în lume prin turnare directă în lingotieră din Cu răcită cu apă. Noile materiale magnetostriuctive pot fi obținute în diferite forme tri-dimensionale controlate și nu necesită tratamente preliminare termice sau de pre-tensionare pentru optimizarea proprietăților magnetoelastice și/sau magnetostriuctive.

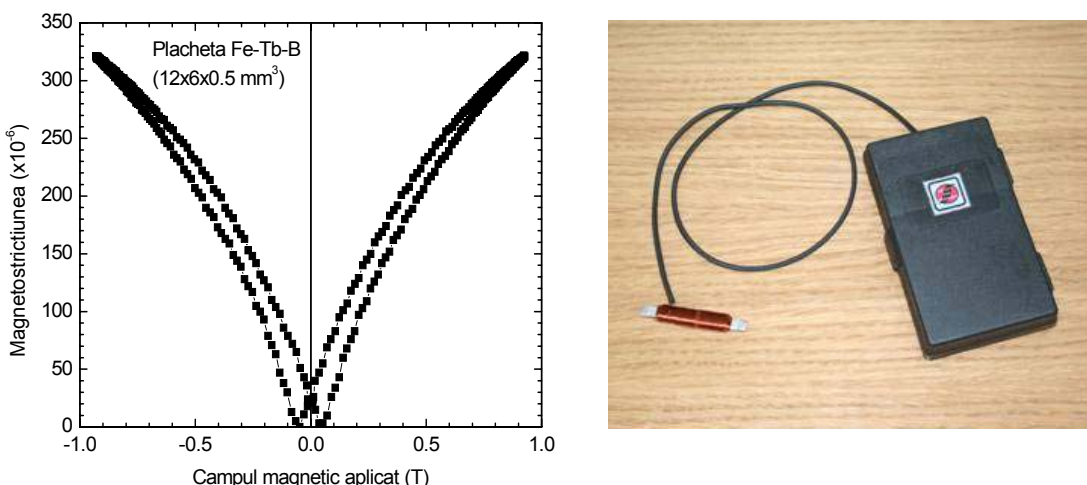
*Materiale magnetostriuctive policristaline de tip Fe<sub>100-x</sub>Ga<sub>x</sub> (x = 15; 17,5; 19,5; 21; 22,5; 28 at.%): au fost obținute prin turnare directă în lingotieră din Cu răcită cu apă, au caracteristici tri-dimensionale controlate, sunt stabile termic până la 500°C, se saturează magnetic la câmpuri de până la 0,2 T și prezintă valori ale constantei de magnetostricțiune de până la 90 x10<sup>-6</sup> în stare netratată. Aplicarea unei tensiuni mecanice de compresie duce la creșterea magnetostricțiunii până la 200 x10<sup>-6</sup>, în funcție de conținutul de Ga din probe.*

Aceste noi materiale sunt destinate utilizării în senzori și actuatori magnetostriktivi și/sau hibrizi, în combinație cu materiale piezoelectrice sau electrostrictive.



*Probe tri-dimensionale de Fe-Ga pe care au fost aplicate mărci tensometrice pentru măsurarea magnetostricțiunii (stânga). Variația magnetostricțiunii în funcție de câmpul magnetic aplicat pentru materiale magnetostrictive policristaline tridimensionale de tip Fe-Ga (dreapta).*

Materialul magnetostrictiv policristalin având concentrațiile atomice  $Fe=63\div61\%$ ,  $Tb=35\div37\%$ ,  $B=2\%$  a fost obținut prin turnare directă în lingotieră din Cu răcită cu apă, are caracteristici tri-dimensionale controlate, nu necesită tratamente preliminare termice sau de pre-tensionare, este stabil termic până la  $250\text{-}300^{\circ}\text{C}$  și are o constantă de magnetostricțiune de peste  $300 \times 10^{-6}$  în stare nefractată.



*Variația magnetostricțiunii în funcție de câmpul magnetic aplicat pentru materiale magnetostrictive policristaline tridimensionale de tip Fe-Tb-B (stânga). Dispozitiv încărcare acumulatori, pe bază de materiale magnetostrictive (dreapta). Funcționarea acestuia se bazează pe conversia energiei mecanice (vibrării, oscilații) în energie electrică.*

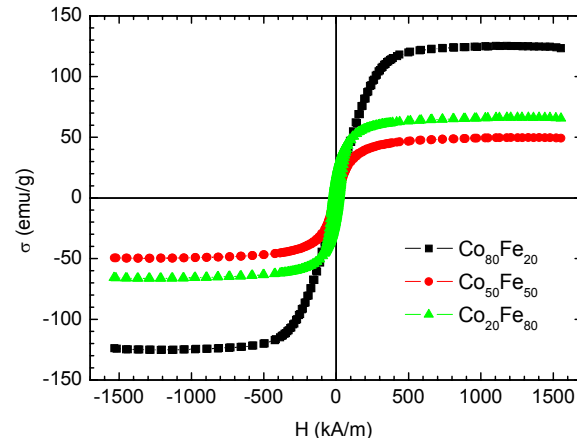
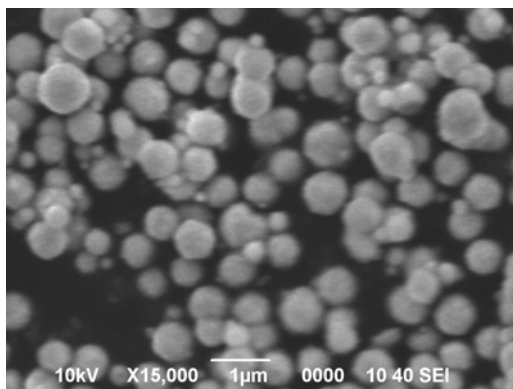
### (7) MICRO ȘI NANOPARTICULE MAGNETICE PENTRU APLICATII ÎN INGINERIE ȘI BIOMEDICINĂ

Micro și nanoparticulele magnetice au fost/sunt obținute prin metoda atomizării gaz-lichid, metoda reducerii chimice și metoda descărcării în arc.

*Nanopulberi obținute din elemente simple sau aliaje binare sau complexe, cum ar fi: metale de tranziție (Fe, Ni, Co), aliaje și oxizi ai metalelor de tranziție (Ni $100-x$ Fe $x$ , Co $100-x$ Ni $x$ , Co $100-x$ Fe $x$ , CoFeSiB, FeSiB, Fe $2$ O $3$ , Fe $3$ O $4$ , oxizi dubli de Fe și Co cu sau fără*

substituți); aliaje de tip metal de tranziție-pământ rar-metaloid (NdFeB); aliaje de tip metal de tranziție-metaloid (FeP, NiP, CoP, FeB, CoNiB, CoFeNiB); aliaje de tip metal de tranziție-metal rar (FePt, FePd).

**Caracteristici tehnice:** (i) inducție magnetică de saturatie de până la 1,5 T, în funcție de compoziție, structură (amorfă, nanocrystalină sau cristalină), dimensiuni și metoda de preparare; (ii) câmp coercitiv variabil, în funcție de compoziție: max. 25 kA/m pentru nanopulberile magnetic moi și peste 200 kA/m pentru cele magnetic dure; (iii) stabilitate termică bună: între 380 și 880°C, în funcție de compoziție, structură (amorfă, nanocrystalină sau cristalină), dimensiuni și metoda de preparare.



Micrografie SEM a nanopulberilor de  $\text{Co}_{80}\text{Fe}_{20}$  (stânga). Curbe de histerezis ale nanopulberilor de Co-Fe netratate (dreapta).



Nanopulberi magnetice. Utilizare: realizarea de micro- și nanodispozitive cu aplicații în biologie, medicină și microelectronică; aplicații catalitice.

### Aplicații:

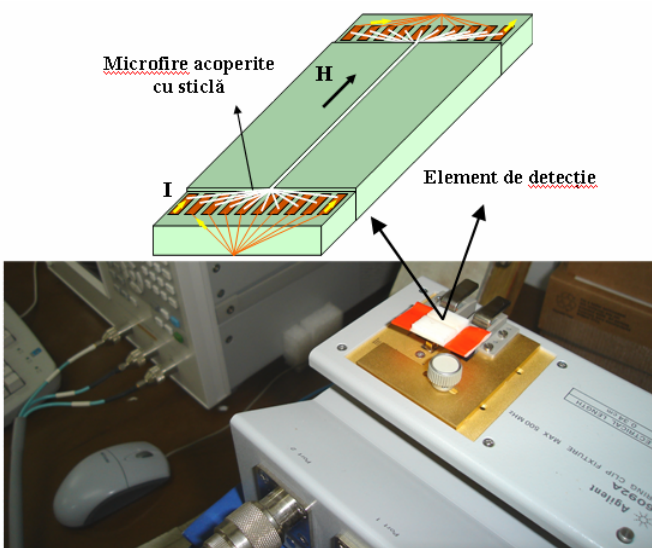
- separare magnetică în biologia moleculară;
- transportul medicamentelor și a radionuclizilor;
- agenți de contrast pentru diagnosticul prin imagistică de rezonanță magnetică;
- magnetoreologie;
- markeri pentru biosenzori magnetici;
- aplicații catalitice.

Pentru aplicațiile biomedicale, particulele sunt funcționalizate cu diferite grupări biocompatibile. Micro și nanopulberile au fost testate deja clinic ca și purtători magnetici și pentru detecția de biomolecule.

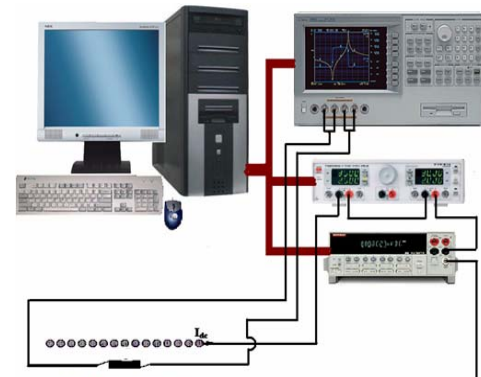
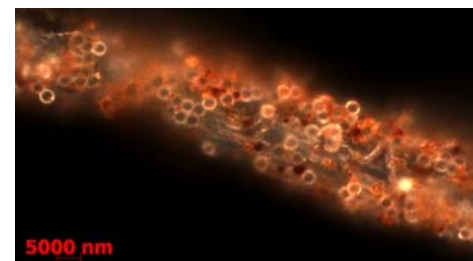


- număr de elemente de detecție: 1-10;
- variație magnetoimpedanță: 1 – 60% (în funcție de numărul de microfire și de tipul de particule magnetice utilizate);
- frecvența curentului alternativ: 1-20 MHz;
- câmp magnetic extern aplicat: 0-5000 A/m.

*Microfir acoperit cu particule*



*Schema de principiu a biosenzorului magnetic*



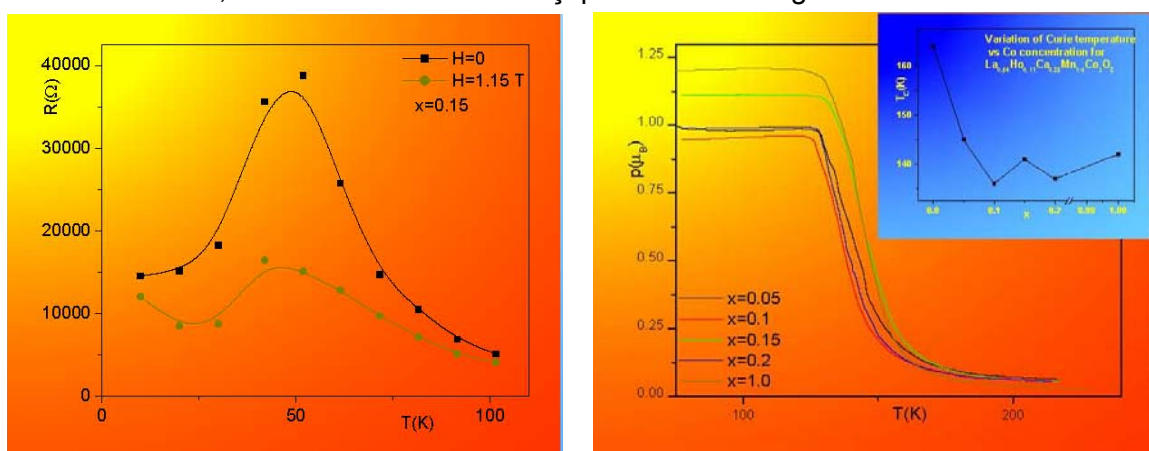
*Sistemul de măsură*

### **Aplicații:**

- detecția și identificarea de biomolecule
- studii asupra micro- și nanopulberilor folosite pentru imobilizarea și detecția de biomolecule.

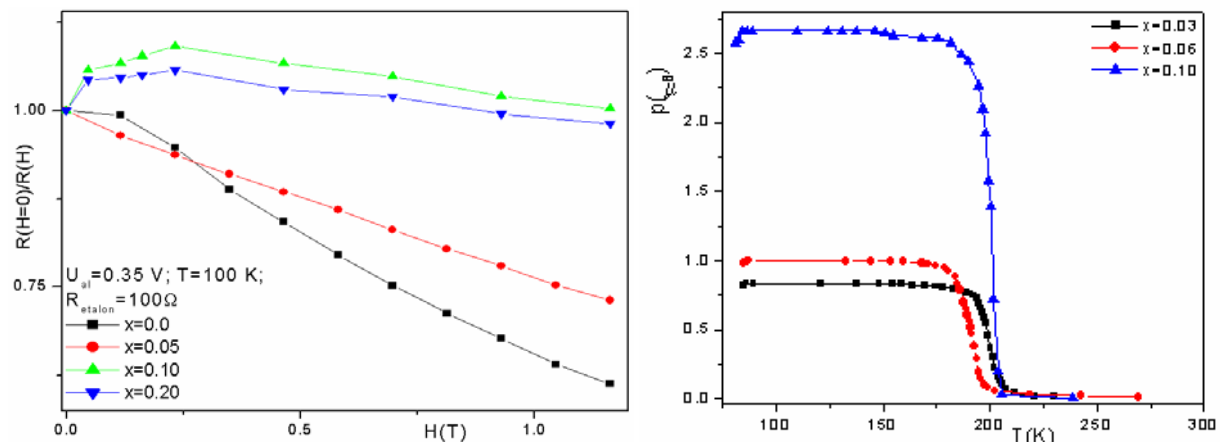
### **(10) MANGANIȚI de tip $(Ln, Ln')_{1-x}A_xMn_{1-y}M_yO_{3+\delta}$**

Manganiții de tip  $(Ln, Ln')_{1-x}A_xMn_{1-y}M_yO_{3+\delta}$  ( $Ln, Ln' =$  pământ rar,  $A = Sr, Ca, Ba, Pb, K; M = Cu, Cr, Co, V, Sc$ ) în forme masivă și sub formă de filme subțiri sunt obținuți prin metoda ceramică standard, metoda alierii mecanice și prin metoda sol-gel.



*Varierea rezistenței pentru  $x = 0,15$  Fe în  $La_{0,54}Ho_{0,11}Sr_{0,35}Mn_{1-x}Fe_xO_3$  (stânga). Magnetizarea molară în funcție de concentrația de Co în  $La_{0,54}Ho_{0,11}Ca_{0,35}Mn_{1-x}Co_xO_3$  (dreapta).*

S-a studiat influența parametrilor proceselor de sinteză și a unor adaosuri oxidice asupra compoziției de fază la unii manganîti de tip  $(\text{Ln}, \text{Ln}')_{1-x}\text{A}_x\text{Mn}_{1-y}\text{M}_y\text{O}_{3+\square}$  ( $\text{Ln}, \text{Ln}' =$ pământ rar,  $\text{A} = \text{Sr}, \text{Ca}, \text{Ba}, \text{Pb}$ ;  $\text{M} = \text{Cr}, \text{V}, \text{Sc}$ ), în vederea optimizării caracteristicilor magnetorezistive.



Variată rezistenței relative cu câmpul  $H$  pentru manganîti  $\text{La}_{0.54}\text{Ho}_{0.11}\text{Ca}_{0.35}\text{Mn}_{1-x}\text{Co}_x\text{O}_3$  (stânga). Variată magnetizării cu temperatura pentru manganîti  $\text{La}_{0.54}\text{Sm}_{0.11}\text{Ca}_{0.35}\text{Mn}_{1-x}\text{Cu}_x\text{O}_3$  (dreapta).

### Aplicații:

- senzori magnetorezistivi pentru detecția câmpului magnetic;
- capete magnetice;
- memorii RAM;
- izolatori galvanici.

Senzor magnetorezistiv pe bază de manganîti  $\text{La}_{0.54}\text{Ho}_{0.11}\text{Sr}_{0.35}\text{Mn}_{1-x}\text{Cu}_x\text{O}_3$  și montură



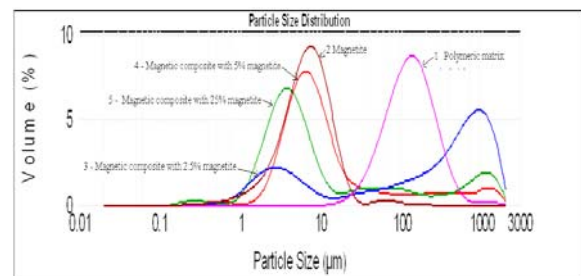
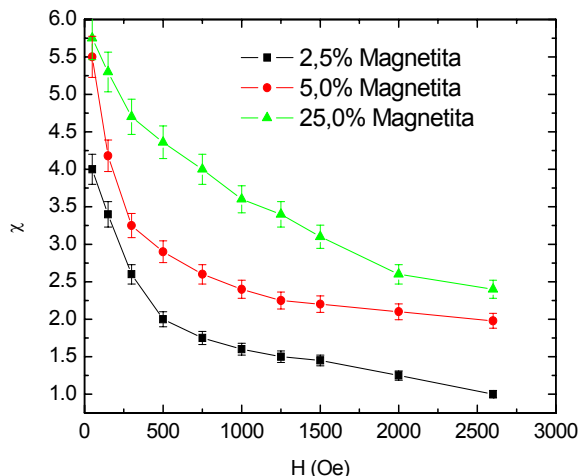
### (11) IMPLEMENTAREA SEPARĂRII MAGNETICE ÎN DETOXIFICAREA SÂNGELUI UMAN UTILIZÂND PARTICULE MAGNETICE SUPORT

**Particule magnetice suport:** magnetită hidrofilă, magnetită hidrofobă și magnetită in-situ pe suport de chitosan. Magnetita hidrofilă a fost acoperită cu un strat de chitosan prin gelificare ionică.

S-au studiat parametrii de sinteză ai reacției de gelificare ionică a chitosanului în prezența magnetitei, pentru obținerea particulelor compozite cu diametru minim și compoziție de aproximativ 50% magnetită - 50% chitosan. Particulele compozite prezintă grupe amino libere pentru ancorarea agenților biologic activi. S-au realizat trei tipuri de structuri compozite cu caracteristici magnetice având matrice compuse din macromoleculi biodegradabili și biocompatibili pe bază de carboximetilamidon (CMA), sare de sodiu a poli(acidului aspartic), complexe interpolimerice pe bază de poli(acid aspartic) și poli(etilen glicol) și respectiv copolimeri bloc poli(succinimidă) – co – poli(etilenglicol) și ferită, matrice care au fost supuse evaluării capacității de cuplare de alte structuri bioactive.

S-au efectuat studii privind funcționalizarea particulelor magnetice acoperite cu chitosan. S-a modelat și proiectat o nouă celulă de separare/filtrare în configurația HGMS-axială, cu câmp

de curgere limitat și cu firul feromagnetic în afara câmpului curgerii, putând fi folosită pentru filtrarea unor suspensii sensibile biologic la natura elementelor colectoare. Pe baza rezultatelor obținute prin modelare (modelarea traectoriilor particulelor într-o celulă de captare cu câmp de curgere limitat; modelarea suprafețelor depozitelor de particule captate magnetic la diferite momente de timp), s-a propus realizarea unui filtru/separatoare magnetic cu 14 celule de captare, capacitatea de încărcare a acestuia fiind de cca. 12 g/dm<sup>3</sup>, funcție de densitatea materialului captat și de factorul de împachetare la depunere.



Evoluția susceptibilității magnetice în funcție de câmpul magnetic aplicat în cazul compozitelor magnetice având matrice o structură polimerică interpenetrată pe bază de carboximetil amidon și sareea de sodiu a acidului poliaspartic (stânga). Distribuția dimensională a particulelor magnetice compozite (dreapta).

### (12) EVALUAREA NEIVAZIVĂ A MATERIALELOR CU DESTINAȚIE SPECIALĂ SI A MATERIALELOR COMPOZITE

#### Evaluarea neinvazivă a materialelor cu destinație specială (Proteze de valve cardiace tip BSCC)

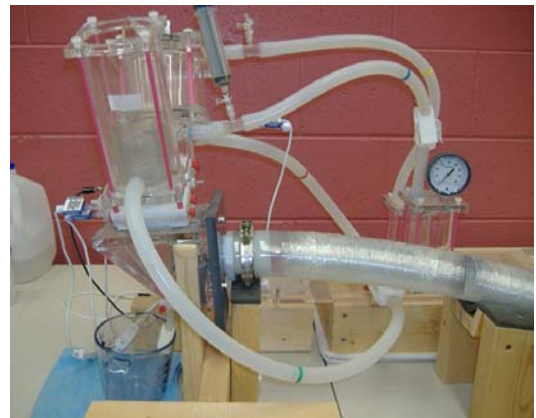
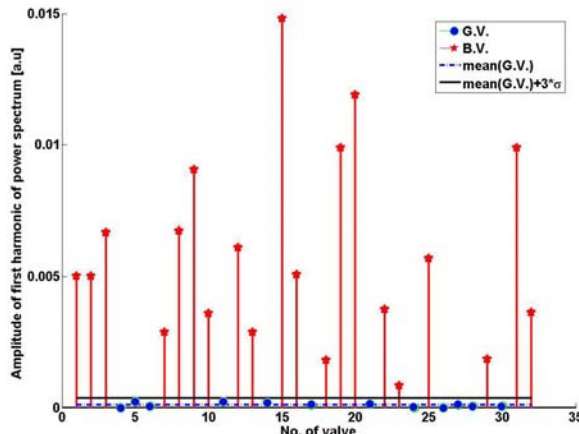
S-a dezvoltat o tehnică electromagnetică de evaluare a protezelor de valvă cardiacă tip BSCC. În prezent sunt implantate în lume 280.000 proteze, existând 178 decese. În România sunt implantate 21.700 proteze BSCC cu 14 decese datorate degradării valvelor implantate în timpul funcționării.



Radiografia digitală a BSCC (stânga). Probe (dreapta).

Prin metoda dezvoltată toate valvele cu fisuri în OS datorate obozelii au fost detectate cu probabilitate de 98% pentru un coeficient de încredere de 98%. S-a dezvoltat un model de predicție de timp de viață bazat pe lanțuri Markov ascunse care permit optimizarea controalelor periodice a persoanelor cu valve implantate. Metoda a fost testată in vivo la

Spitalul Militar Central București, Clinica de Chirurgie Cardio-Vasculară. Metoda și-a dovedit utilitatea.



*Rezultate ale evaluării (stânga). Inima artificială pentru teste (dreapta).*

### Evaluarea neinvazivă a materialelor composite

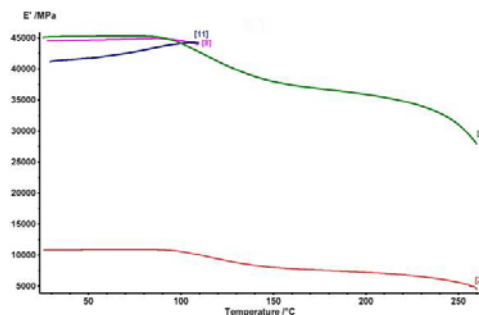
S-a dezvoltat o metodă de fuziune de date: C-scan US utilizând ‘phased array’ și ‘EC holography’. Pot fi detectate astfel delaminări survenite la impinge de mică energie. Validarea s-a efectuat cu DMA (Dinamical Mechanical Analyzer).



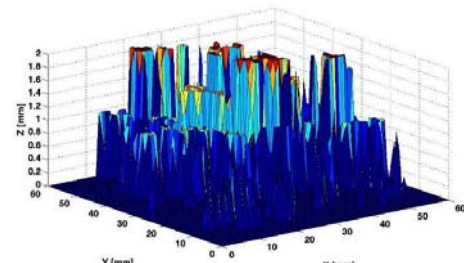
Phasor XS



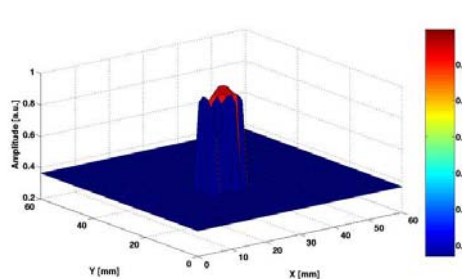
DMA



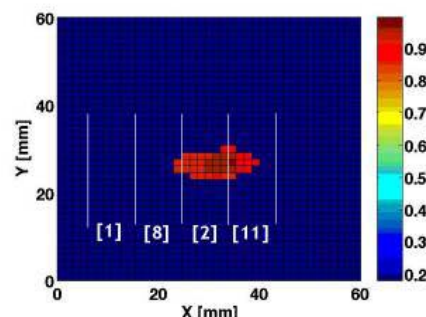
Rezultate DMA și validare



3D US C-Scan



Holografia de curenti turbionari



Fuziune de date

### **(13) METODE COMPUTATIONALE DE ÎNALTĂ PERFORMANȚĂ ÎN MODELAREA SI PROIECTAREA MATERIALELOR NANOMAGNETICE**

S-a utilizat simularea în proiectarea de noi materiale nanomagnetice folosind metode IT de înaltă performanță (cu rețele neuronale, algoritmi genetici, analiză de clustering) în scopul determinării relațiilor ascunse (încă nedescoperite) între parametrii fizico-chimici și caracteristicile lor descrise de proprietatile fizico-chimice ale nanomaterialelor magnetice. Scopul acestei activități a fost *descoperirea* de noi materiale nanomagnetice cu caracteristici previzionate (întărită) utilizând noi metode de proiectare neconvenționale a materialelor nanomagnetice cu proprietăți dirijate. Au fost proiectate virtual noi materiale nanomagnetice cu ajutorul tehnicilor computaționale de înaltă performanță. Prinț-o nouă formulă a fost atinsă o problematică actuală, complexă a fizicii magnetismului la scală nanometrică și a științelor materialelor, anume aceea a studiului proprietăților magnetice în corelare cu structura, compoziția și condițiile de preparare ale unor materiale nanomagnetice.

S-a demonstrat funcționalitatea unei metode noi de cercetare prin metode statistice într-un domeniu în care s-au acumulat mari cantități de date și de cunoștiințe ca cel al materialelor nanomagnetice. Instrumentul IT construit în principal pe metode ale inteligenței artificiale, presupune prezentarea unor masive de date pe baza cărora se face învățarea. Cu ponderile construite și pe baza configurației celei mai potrivite pentru rețea neuronală, care poate varia de la o problema la alta, pe baza unor date noi - deci încă necunoscute - instrumentul poate face preziceri asupra unor proprietăți și deci poate fi utilizat în *proiectarea de noi materiale*. Prin rezultatele obținute s-a demonstrat competitivitatea metodei IT utilizate pentru domeniul nanomaterialelor magnetice.

**Articole publicate în reviste cotate ISI (64 lucrări)**

1. Lupu N., Ovari T. A., Corodeanu S., Chiriac H.

[Fe-\(Au,Cu\)-B two-phase magnetic microwires with exchange coupled nanosized grains](#)

**Journal of Applied Physics**, vol. 103, issue 7, article no. 07E725, Apr 1 2008.

**Abstract:** Results on the magnetic behavior of glass-coated magnetic microwires prepared from the  $Fe_{87}Au_{2-x}Cu_xB_{11}$  alloy system are reported for the first time. The changes induced in their axial magnetization process by the substitution of Au with Cu have been studied. Hysteresis loops with typical shapes for soft magnetic materials have been observed in all cases except for  $x=1.5$  at. % of Cu.  $Fe_{87}Au_{0.5}Cu_{1.5}B_{11}$  microwires display a two-step hysteresis loop with a plateau at zero magnetization. The observed change in the axial magnetization process of Fe-(Au,Cu)-B microwires with Cu content has been explained considering the average distance among adjacent alpha-(Fe,Cu) nanosized grains to be smaller than the exchange length. In this way, the ensemble of grains is collectively magnetized and it behaves as a single material from the magnetic point of view. The remainder amorphous matrix is also collectively magnetized, and the resulting stepped loop is the result of the magnetostatic coupling between these two systems: the grain ensemble and the amorphous matrix. The results demonstrate the effectiveness of composition control on the magnetic properties of Fe-(Au,Cu)-B microwires and open up new application opportunities for glass-coated microwires.

2. Chiriac H., Grigoras M., Lupu N., Urse M., Buta V.

[The hard magnetic properties and microstructure evolution of the multilayer \[NdFeBNbCu/FeBSi\] \$\_n\$  thin films](#)

**Journal of Applied Physics**, vol. 103, issue 7, article no. 07E144, Apr 1 2008.

**Abstract:** The influence of the thickness of constituent layers and annealing conditions for multilayer [NdFeBNbCu/FeBSi] $_n$  thin films on the magnetic properties and microstructure is reported. The Nb-Cu combination inhibits the grain growth and promotes the formation of nucleation sites. The FeSiB layer insertion leads to a slight increase in the Curie temperature and to a rectangular hysteresis loop. As compared to Ta/NdFeBNbCu (540 nm)/Ta single layer, the Ta/[NdFeBNbCu (180 nm)/FeBSi (15 nm)] $_3$ /Ta multilayer nanocomposite films exhibit very good magnetic properties such as squareness  $M_r/M_s$  of about 0.92, maximum energy product of about 197 kJ/m<sup>3</sup>, and an increase in the Curie temperature of about 17°C due to stratification by using FeBSi film as space layer.

3. Chiriac H., Ovari T. A., Pascariu P.

[Phenomenological model for the simulation of hysteresis loops in NiFe/ Cu multilayered nanowires](#)

**Journal of Applied Physics**, vol. 103, issue 7, article no. 07D919, Apr 1 2008.

**Abstract:** Results on a new phenomenological model for the simulation of out-of-plane and in-plane hysteresis loops of magnetic/nonmagnetic multilayered nanowire arrays are reported. Calculated loops are compared with experimental ones obtained using a vibrating sample magnetometer. The measured intrinsic coercivity of the array and the dipolar field created by the array are employed as input parameters in the proposed model. The shapes of the simulated loops are similar to those of the experimentally measured ones and confirm the dominant role of dipolar interactions in dense nanowire arrays. The proposed model offers a convenient tool for studying the correlation between the hysteretic behavior and the geometry of nanowire arrays.

4. Lupu N., Chiriac H., Pascariu P.

[Electrochemical deposition of FeGa/NiFe magnetic multilayered films and nanowire arrays](#)

**Journal of Applied Physics**, vol. 103, issue 7, article no. 07B511, Apr 1 2008.

**Abstract:** Results concerning the preparation and characterization of electrochemically deposited  $(Fe_{1-x}Gax/Fe_{1-y}Niy)(n)$  ( $x=0.1-0.3$  at. %;  $y=0.4-0.8$  at. %) multilayered films

and nanowires arrays are reported for the first time. The layers have been deposited successively by changing the electrodeposition potential. The combination of Fe<sub>1-x</sub>Ga<sub>x</sub> magnetostrictive material and Fe<sub>1-y</sub>Ni<sub>y</sub> soft magnetic material shows good magnetic softness ( $H_c$  does not exceed 60 G s) and gives novel magnetostrictive behavior caused by the formation of twisted spin structures.

5. Novak R. L., Sinnecker J. P., Chiriac H.  
[Annealing effects on the magnetization reversal and domain wall dynamics in bistable amorphous glass-covered microwires](#)  
**Journal of Physics D-Applied Physics**, vol. 41, issue 9, article no. 095005, May 7 2008.  
**Abstract:** We study the mechanism of domain wall depinning and propagation in Fe77.5Si7.5B15 amorphous glass-covered microwires. These samples are ferromagnetic and spontaneously present the striking property of magnetic bistability, with the magnetization reversal process characterized by a single giant Barkhausen jump. This process allows one to easily measure the velocity of a domain wall propagating along the sample as a function of applied magnetic field and temperature and thus determine the wall mobility and the influence of different damping mechanisms on the domain wall dynamics. A discussion on the effects of thermal treatment on the wall mobility is presented. Domain wall velocities of the order of 850ms(-1) are measured. The temperature dependence of the wall mobilities established at 300 and 77 K, for as-cast and annealed samples, clearly shows a damping mechanism arising from the structural relaxation mechanism and from domain wall/atomic defect interactions, the second one playing a major role in the dissipative dynamics of magnetization reversal through depinning and domain wall propagation in Fe77.5Si7.5B15 microwires.
6. Zhao X., Mellors N., Kilcoyne S., Lord D., Lupu N., Chiriac H., Henry P. F.  
[Neutron diffraction studies of magnetostrictive Fe-Ga alloy ribbons](#)  
**Journal of Applied Physics**, vol. 103, issue 7, article no. 07B320, Apr 1 2008.  
**Abstract:** Melt-spun Fe-Ga ribbons were prepared and some ribbons were annealed at 1000 degrees C for 1 h then slowly cooled to room temperature. X-ray diffraction patterns revealed no evidence of texture and only bcc phase in the as-quenched ribbons. However, high-resolution neutron diffraction patterns gave more information on the structure of these ribbons. Only diffractions from the disordered bcc A2 phase were found in as-quenched ribbons with 15, 17.5, and 19.5 at. % Ga content, without any trace of satellite peaks or splitting peaks from the proposed Ga-Ga pairing superlattice structure. The broadening of the base of the (110) peaks for all samples except the as-quenched 15 at. % Ga ribbon might indicate the existence of some kind of short range ordering. Ribbons developed L1(2) phase after annealing especially in the Fe 19.5 at. % Ga ribbon where the formation of L1(2) phase reduced the Ga content in the remaining A2 phase and decreased its lattice parameter dramatically. D0(3) phase formed in the as-quenched 22.5 at. % Ga ribbon and the following annealing treatment transformed more A2 phase into D0(3) phase.
7. Chiriac H., Corodeanu S., Ovari T.A.  
[Dipolar interaction between amorphous microwires](#)  
**IEEE Transactions on Magnetics**, vol. 44, issue 4, pp. 479-484, 2008.  
**Abstract:** We present a model for the description of the magnetostatic interaction between two glass-coated amorphous microwires with positive magnetostriction. We report the results of dipolar field calculations based on this model as well as results of measurements on microwires with their ends separated. We also calculated the switching field variation with fluctuations in microwire dimensions. Experimental results show an insignificant dipolar interaction between two microwires placed next to each other, provided that their ends are bent and separated at a certain distance. Calculated results are in good agreement with the experimental ones.

8. Chiriac H., Ovari T. A., Tibu M.

[Domain wall propagation in nearly zero magnetostrictive amorphous microwires](#)

**IEEE Transactions on Magnetics**, vol. 44, no. 11, pp. 3931-3933, November 2008.

**Abstract:** Results on the investigation of the propagating 180 degrees domain walls in bistable amorphous glass-coated microwires with nearly zero magnetostriction are reported for the first time. As-cast glass-coated microwires are bistable only if their metallic nucleus diameter is larger than 20  $\mu\text{m}$ . Glass removal induces bistability in microwires with metallic nucleus diameters below 20  $\mu\text{m}$ . Nearly zero magnetostrictive glass-coated microwires display larger domain wall velocities and mobilities as compared to positive magnetostrictive microwires. Samples that become bistable after glass removal display smaller values of the wall mobility as compared to as-cast bistable microwires. Mobility can be increased by annealing. The experimental results have been explained based on the damping mechanisms of the domain wall motion, specifically on the spin relaxation damping, whose coefficient is proportional to the anisotropy constant from the microwire's inner core. Stress relief determined by glass removal and annealing have been considered. The results are important for future applications of nearly zero magnetostrictive microwires in spintronic devices.

9. Lupu N., Pascariu P., Gherasim C., Chiriac H.

[Magnetic properties of electrodeposited FeGa/CoFeB multilayered films and nanowire arrays](#)

**IEEE Transactions on Magnetics**, vol. 44, no. 11, pp. 3005-3008, November 2008.

**Abstract:** Results concerning the preparation and magnetic characterization of electrochemically deposited  $[\text{Fe}_{80}\text{Ga}_{20}/\text{Co}_{75}\text{Fe}_{10}\text{B}_{15}]_n$  multilayered films and nanowire arrays are reported for the first time. The deposition bath consisted in a single mixed solution of  $\text{FeSO}_4 \cdot 7\text{H}_2\text{O}$ ,  $\text{Ga-2}(\text{SO}_4)_3 \cdot 7\text{H}_2\text{O}$ ,  $\text{CoSO}_4 \cdot 7\text{H}_2\text{O}$ ,  $\text{C}_2\text{H}_{10}\text{BN}$ , and  $\text{H}_3\text{BO}_3$ . The layers have been deposited successively by changing the electrodeposition potential. The composition and thickness of the different layers were tailored through optimizing deposition parameters such as buffer additives and applied voltage. Two hundred sequences multilayered nanowires were electrodeposited into commercially available nanoporous alumina membranes with pore diameters of 100 nm and lengths of 50  $\mu\text{m}$ . Multilayered films 4-5  $\mu\text{m}$  thick have been obtained by electrodepositing 50 consecutive sequences of FeGa and CoFeB. The multilayered structures consisting FeGa magnetostrictive alloy and CoFeB amorphous magnetic material are magnetically soft ( $H_c$  does not exceed 1.6 kA/m).

10. Feder M., Diamandescu L., Bibicu I., Caltun O. F., Dumitru I., Boutiuc L., Chiriac H., Lupu N., Vilceanu V., Vilceanu M.

[Comparative study on the microstructural and magnetic properties of cobalt ferrites synthesized by ceramic and oxidation wet methods](#)

**IEEE Transactions on Magnetics**, vol. 44, no. 11, pp. 2936-2939, November 2008.

**Abstract:**  $\text{CoFe}_2\text{O}_4$  and  $\text{CoMn0.2Fe1.8O}_4$  ferrites were synthesized using standard solid state phase ceramic method and coprecipitation and oxidation method. X-ray diffraction, Mossbauer spectroscopy, and surface electron microscopy were used to characterize the samples' microstructures. Vibrating sample measurement and strain gauge technique were used to characterize the magnetic and magnetostrictive properties of both powders and sintered samples, respectively. The specific magnetization increased from 55 emu/g for stoichiometric ferrite samples obtained by conventional method to 179 emu/g for coprecipitated ferrite powders respectively. In the manganese substituted cobalt ferrite case the specific magnetization increased only twice, from 77 emu/g to 168 emu/g. The maximum magnetostrictive coefficient of coprecipitated samples of 145 ppm is smaller compared to that of solid state phase ceramic samples of 195 ppm. The most important benefit in the case of the coprecipitated and oxidized samples is the four fold increase of the maximum strain derivative compared to solid state phase ceramic samples.

11. Katranas G. S., Meydan T., Ovari T. A., Borza E.

[Thermal stability of bi-layer thin film displacement sensors systems](#)

**Sensors and Actuators A-Physical**, vol. 142, issue 2, special issue, pp. 479-484, Apr 10 2008.

**Abstract:** The bi-layer thin film measurement system uses the principle of frequency modulation for the detection of displacement. The measuring system utilizes a personal computer based system using the LabVIEW(R) graphical programming package that provides the features necessary for acquiring the sensor signal, analyzing it and displaying the results. The results from the acquisition were compared with previously developed amplitude and phase modulation based systems to show that the frequency modulation technique provides a robust and accurate solution to evaluate magnetostrictive materials and their application in magnetic sensors. The performance of the bi-layer thin film sensor was examined and its thermal stability, over the temperature range of up to 180 degrees C, was tested in an environmental chamber. The temperature rise does cause inductance change, but the sensor signal remains unaffected due to the nature of the frequency modulation method. Thus, having two materials, with different thermal coefficients of expansion in a bi-layer thin film sensor does not adversely influence the sensor signals. This creates a temperature independent sensor that is needed for applications where there are temperature variations.

12. Katranas G. S., Meydan T., Ovari T. A., Borza F.

[Applications of the bi-layer thin film sensor system for registering cardio-respiratory activity](#)

**Sensors and Actuators A-Physical**, vol. 142, issue 2, special issue, pp. 455-458, Apr 10 2008.

**Abstract:** A novel bi-layer thin film sensor system was used for accurately registering physiological parameters associated with body movements, such as cardiac and respiratory activities. The bi-layer curvature sensor system can provide additional medical information about the cardiac activity of the patient by mapping the five characteristic waves of the normal heartbeat rate (P, Q, R, S and T wave). This system was also used for registering physiological parameters such as the monitoring of lung ventilation which can give a range of information about the patients health (normal respiration patterns, deep inhalation/exhalation and apnoea), easily distinguishable in the output signal. The bi-layer thin films used consist of a magnetic layer and a non-magnetic counter layer that is utilized to enhance the changes in the relative permeability of the material caused by tensile or compressive stresses during bending. The measuring system is based on a personal computer in conjunction with the LabVIEW(R) graphical programming package. The nature of this configuration provides the necessary features for sensor signal acquisition, analysis and data presentation. The results from the sensor application on patients demonstrate that this system can provide a robust, cost effective solution to monitoring cardio-respiratory activity with minimum inconvenience to the patient, which is necessary for prolonged, undisturbed monitoring.

13. Kuncser V., Valeanu M., Schintie G., Filoti G., Mustata I., Lungu C. P., Anghel A., Chiriac H., Vladoiu R., Bartolome J.

[Exchange bias and spin valve systems with Fe-Mn antiferromagnetic pinning layers, obtained by the thermo-ionic vacuum arc method](#)

**Journal of Magnetism and Magnetic Materials**, vol. 320, issue 14, pp. E226-E230, Jul 2008.

**Abstract:** Exchange bias and spin valve systems with Fe-Mn antiferromagnetic layers of different Fe concentrations were obtained by the thermo-ionic vacuum arc method. The adherence of the multilayer system to the Si substrate depends on the Fe-Mn composition. The overall roughness depends on the growing order of the antiferromagnetic /ferromagnetic layers. Very low blocking temperatures for exchange bias were observed for the considered compositions of the Fe-Mn layer. The coercive

*forces of both the pinned and the free layers of spin valve structures can be considerably modified along a large set of samples simultaneously prepared.*

14. Vieyra M., Borza F., Meydan T.

[Effect of boron concentration on the magnetic properties of \(FeCoNi\) B-100-x\(x\) \(x=15 and 20wt%\) nanowire arrays](#)

**Journal of Magnetism and Magnetic Materials**, vol. 320, issue 20, pp. E712-E715, Oct 2008.

**Abstract:** The  $Fe_{14.5}Co_{16.5}Ni_{55}B_{15}$  and the  $Fe_{13}Co_{15.5}Ni_{5.5}B_{20}$  ferromagnetic nanowires were deposited using the electrochemical deposition method. The structure of these nanowires was investigated using X-ray diffraction. Squid magnetometer was used to investigate the magnetic behavior. The hysteresis loops of 50 nm long nanowire arrays were studied as a function of boron concentration, nanowire diameter and field orientation. The competition between shape anisotropy and magnetostatic interactions played a vital role in determining the magnetic field necessary to saturate an array. The decrease in coercive field  $H_c$  and the squareness (SQ) of the hysteresis loop from 100 to 200nm wire diameter for both types of compositions suggests the formation of multidomains in the nanowire.

15. Chiriac H., Urse M., Grigoras M.

[Symmetric magnetic tunnel junctions with amorphous soft magnetic materials as electrodes](#)

**Journal of Magnetism and Magnetic Materials**, vol. 320, issue 20, pp. E944-E948, Oct 2008.

**Abstract:** Results concerning the influence of the additions of Ni and Ni-Si on the TMR response, saturating magnetic field and thermal stability of symmetric  $FeMn/FM/Al_2O_3/FM/FeMn$  MTJs, with  $FM = (Fe_{0.58}Co_{0.25}B_{0.17})_{100-x}M_x$  ( $M = Ni, Ni-Si$ ), are presented. The magnetoresistance ratio for the symmetric  $Si/SiO_2/Ta(5)/Ni_{80}Fe_{20}(5)/Fe_{50}Mn_{50}(8)/FeCoBNiSi(3.5)/Al_2O_3(1)/FeCoBNiSi(5)/Fe_{50}Mn_{50}(8)/Ta(5)$  MTJ structure was changed with about 9% in 20G magnetic field, leading to a sensitivity of about 0.45%/G. This structure exhibits a field window of about 10G and low values for the tunneling resistance of about  $120 \Omega$  and the thermal coefficient of resistance of about +60 ppm/ $^{\circ}C$ .

16. Tibu M., Chiriac H.

[Amorphous wires-based magneto-inductive sensor for nondestructive control](#)

**Journal of Magnetism and Magnetic Materials**, vol. 320, issue 20, pp. E939-E943, Oct 2008.

**Abstract:** A magneto-inductive prototype sensor based on magnetic amorphous wires which can detect surface cracks formed in ferromagnetic pieces is presented. The sensor consists of a very thin coil having a high permeability core made from  $Co_{68.18}Fe_{4.32}Si_{12.5}B_{15}$  amorphous wire with nearly zero magnetostriction and presents high sensitivity being able to detect both uniform magnetic field and localized gradient field. The inductance of the sensing coil, fed with an ac signal having a frequency of 150 kHz is changing dramatically with the applied magnetic field. As a consequence, excellent behavior of the magneto-inductive sensor having high sensitivity (60%/Oe) and high resolution was achieved. It is designed for nondestructive testing and specially for rail car bearing rings revision.

17. Caltun O., Dumitru I., Feder M., Lupu N., Chiriac H.

[Substituted cobalt ferrites for sensors applications](#)

**Journal of Magnetism and Magnetic Materials**, vol. 320, issue 20, pp. E869-E873, Oct 2008.

**Abstract:** The aim of this work was to study the influence of the sintering temperature and of the substitution level on the Curie temperature and on the magnetostriction coefficients for four series of cobalt ferrites sintered by conventional ceramic method.

The microstructure of the samples was characterized using X-ray diffractometry and scanning surface electron microscopy. Vibrating sample magnetometry and strain gauge measurements were used to characterize the magnetic and magnetostriction properties. The study proves that a small amount of manganese substitution for iron decrease drastically the Curie temperature but in the same time decrease the specific magnetization and magnetostriction coefficient. Despite this drawback, the manganese substituted cobalt ferrites present the largest strain derivative. The maximum of the magnetostriction coefficient is also influenced by the stoichiometry of the cobalt ferrites. The magnetostriction coefficient of cobalt ferrite can be enhanced by substitution of small fraction of iron or cobalt by silicon or manganese, this implying the modification of the strain derivative as well as magnetostriction at lower magnetic fields. The maximum magnetostriction can be tuned by substitution levels and sintering parameters.

18. Piccin R, Tiberto P., Chiriac H., Baricco M.

Magnetic properties and power losses in Fe-Co-based bulk metallic glasses

**Journal of Magnetism and Magnetic Materials**, vol. 320, issue 20, pp. E806-E809, Oct 2008.

**Abstract:** Magnetic properties of Fe-Co-based bulk metallic glasses have been experimentally investigated. Samples were prepared by water-cooled Cu-mold injection casting technique. The samples have cylindrical shapes with 0.8 mm diameter and 30 mm length. Amorphous structures were confirmed by the presence of a main halo in X-ray diffraction patterns and by the detection of crystallization signal around 650 degrees C using differential scanning calorimetry. Owing to their amorphous structure, these materials present good soft magnetic properties with coercivity below 100 A/m and magnetic induction around 1.0 T in quasi-static conditions. Hysteresis loops were measured using a digital wattmeter with controlled induction waveform. Power losses were analyzed for the following compositions:  $[(Fe_{1-x}Co_x)(75)B_{20}Si_5]$  (93)Nb<sub>4</sub>Y<sub>3</sub> ( $x = 0, 0.2, 0.4, 0.5$  and  $0.6$ ) over a range of frequencies from 1 to 400 Hz at selected fixed peak inductions. Co addition has shown to improve the soft magnetic properties when  $x = 0.2, 0.4$  and  $0.5$ , decreasing coercive fields and power losses, while the magnetic induction is slightly increased (except for  $x = 0.5$ ). Further Co addition ( $x = 0.6$ ) is detrimental for the soft magnetic properties due to the presence of crystalline alpha-Fe-(Co) and boride phases. The frequency dependence of power losses was described using a separation theory. It has been observed that an  $f(1/2)$  rule is in good agreement with the experimental data.

19. Craciunescu C. M., Ercuta A., Mitelea I., Valeanu M., Teodorescu V. S., Lupu N., Chiriac H.

Rapidly solidified ferromagnetic shape memory alloys

**European Physical Journal-Special Topics**, vol. 158, pp. 161-165, May 2008.

**Abstract:** Ferromagnetic shape memory alloys have been manufactured by various techniques involving rapid solidification. Bulk alloys have been obtained by extracting the melted alloy in especially designed copper molds; glass coated wires have been obtained by drawing the melt from glass recipients followed by water cooling and ribbons have been fabricated by melt-spinning. Microstructural observations show particular solidification aspects of fractured areas, while ferromagnetic behavior has been detected in glass coated wires obtained by rapid solidification. The martensitic microstructure was observed on Co-Ni-Ga rapid solidified bulk alloys and Fe-Pd ribbons. The memory effect was detected using a Vibran system that allows the detection of the phase transition for the ribbons and by visual observation for other specimens. The conclusions of the observations are related to the comparison between the ferromagnetic behaviors of shape memory alloys solidified using different techniques.

20. Gjoka M., Niarchos D., Giannakopoulos K., Sarafidis C., Kalogirou O., Grigoras M., Lupu N., Chiriac H.

### Structure and magnetic properties of Sm(Co<sub>0.74</sub>Fe<sub>0.1</sub>Cu<sub>0.12</sub>Zr<sub>0.04</sub>)<sub>8</sub> (8) melt-spun nanostructured alloys

**Materials Science and Engineering B**-Advanced Functional Solid-State Materials, vol. 152, issue 1-3, special issue, pp. 81-85, Aug 25 2008.

**Abstract:** Melt-spun ribbons with a composition of  $\text{Sm}(\text{Co}_{0.74}\text{Fe}_{0.1}\text{Cu}_{0.12}\text{Zr}_{0.04})_8$  were prepared with a wheel speed of 40 m/s, followed by vacuum heat treatment in the temperature range of 650-850°C for different durations. X-ray powder diffraction (XRD) results showed that the main phase is of TbCu7-type for both, as-spun and annealed ribbons, except a small amount of alpha-Fe(Co). The intrinsic coercivity values  $H_i(c) = 6.9$  kOe for the sample heat treated at 700°C for 35 min. When the annealing time is increased more than 30 min, the coercivity decreases and a third phase appears. The microstructure of the ribbon samples was characterised by using scanning electron microscopy (SEM) and energy dispersive X-ray microanalysis (EDAX). Detailed results for the microstructure in Sm (Co<sub>0.74</sub>Fe<sub>0.1</sub>Cu<sub>0.12</sub>Zr<sub>0.04</sub>)<sub>8</sub> melt-spun ribbons and the correlation between the magnetic properties and the grains size are presented.

21. Neagu M., Lozovan M., Dobromir M., Velicu L., Hison C., Stratulat S.

### Permalloy thin films obtained by pulsed laser deposition: magnetic and galvanomagnetic behaviour

**Journal of Optoelectronics and Advanced Materials**, vol. 10, issue 4, pp. 978-980, Apr 2008.

**Abstract:** Results concerning the bulk and surface coercivity as well as Hall voltage of Permalloy ( $\text{Ni}_{80}\text{Fe}_{20}$ ) thin films, prepared by pulsed laser deposition, are presented. The samples were tested in as-deposited state as well as after thermal treatment in furnace, at temperatures between 330°C-370°C, for 30-60 minutes. For the as-deposited samples, the surface coercivity is up to about 14% higher than the bulk one. After thermal treatment, a decrease up to about 54 % of the bulk coercivity and an increase of about four times in the Hall voltage value are obtained.

22. Chiriac H., Moga A. E., Gherasim C.

### Synthesis and characterization of Co and Ni magnetic nanoparticles

**Journal of Optoelectronics and Advanced Materials**, vol. 10, issue 3, pp. 654-658, Mar 2008.

**Abstract:** This paper reports some results on the synthesis and magnetic properties of cobalt and nickel nanoparticles. Cobalt and nickel nanoparticles have been synthesised by polyol method and the obtained magnetic nanoparticles have a superparamagnetic behaviour. The morphology and size of the nanoparticles were studied by scanning electron microscopy (SEM) and dynamic light scattering (DLS). The micrographs reveal that the nanoparticles are mostly spherical. The size of Co nanoparticles ranges between 30 - 340 nm and size of Ni nanoparticles ranges between 90 - 400 nm. Magnetic characteristics of the obtained nanoparticles were determined at room temperature by using a vibrating sample magnetometer (VSM), in an external magnetic field of 600 kA/m.

23. Olaru M., Buruiana T., Lupu N., Chiriac H.

### Polymer composites with magnetostrictive properties

**Optoelectronics and Advanced Materials-Rapid Communications**, vol. 2, issue 4, pp. 224-228, Apr 2008.

**Abstract:** The synthesis, characterization and evidence of magnetostrictive properties of blends between one ionic polyurethane with carboxylic units and magnetostrictive micropowders (Fe78Si9B13), as well as nanopowders (Fe68,5Co10Sm1,5B20) is reported. The incorporation of magnetic particles in the polyurethane matrix leads to a magnetic behavior directly dependent on their density and dimensions. The best response was achieved for the micropowders with the diameter within 100 - 150  $\mu\text{m}$  range. A good behavior was also evidenced for the compact system composed of microparticles with the diameter less than 60  $\mu\text{m}$ .

24. Ianculescu A., Mitoseriu L., Chiriac H., Carnasciali M. M., Braileanu A., Trusca R.  
[Preparation and magnetic properties of the \(1-x\)BiFeO<sub>3</sub>-xBaTiO<sub>3</sub>\(3\) solid solutions](#)  
**Journal of Optoelectronics and Advanced Materials**, vol. 10, issue 7, pp. 1805-1809, Jul 2008.  
**Abstract:** (1-x)BiFeO<sub>3</sub> - xBaTiO<sub>3</sub> ( $0 \leq x \leq 0.30$ ) ceramics were prepared by the solid state reaction method. After sintering at 800 degrees C/1 h and slow cooling, single phase compositions were obtained for both presintered and sintered samples, including the composition x=0, which was rarely reported. The gradual attenuation of the rhombohedral distortion with the increase of BaTiO<sub>3</sub> content was pointed out. The BaTiO<sub>3</sub> admixture acts also as inhibitor for the grain growth process, contributing to the decrease of the average grain size. The compositions corresponding to x=0.30 exhibits multiferroic behavior at room temperature, having both antiferromagnetic and ferroelectric order and low losses (< 3%). The Raman activity proved the existence of the local non-centrosymmetry and of some grain boundary characteristics at room temperature. The magnetic data indicates a composition-dependent antiferromagnetic character.
25. Caltun O., Dumitru I., Feder M., Diamandescu L., Bibicu I., Vasiliu F., Lupu N., Vilceanu V.  
[The influence of chemical composition on magnetic properties and magnetostriction coefficient of cobalt ferrites](#)  
**Journal of Optoelectronics and Advanced Materials**, vol. 10, issue 7, pp. 1775-1778, Jul 2008.  
**Abstract:** Four series of cobalt ferrites were prepared by conventional ceramic method. Calcined powders were analyzed by X-ray diffraction and Mossbauer spectroscopy to characterize the crystal structure. Green bodies were sinterized at temperatures between 1250 degrees-1300 degrees C, in air, for 5 hours. Chemical composition of samples and sintering parameters have a strong influence on the magnetic and magnetostrictive properties of the sintering bodies.
26. Astefanoaei I., Chiriac H., Stancu A.  
[The internal thermal stresses during the cooling process of a nanowire from alumina membrane](#)  
**Journal of Optoelectronics and Advanced Materials**, vol. 10, issue 7, pp. 1763-1766, Jul 2008.  
**Abstract:** We present in this paper the internal thermal stresses appearing in Co nanowires in alumina template when they are cooled from the room temperature to 3 Kelvin. Thermal stresses are evaluated with a finite element method (FEM), taking into account the difference between the thermal expansion coefficients of cobalt and alumina membrane. The coupling between the magnetostriction and the stress distribution leads to an easy axes distribution associated with a magnetic domain structure consisting of a cylindrical inner core with axial magnetization and a cylindrical outer shell with radial magnetization of about 2% from the entire radius.
27. Durdureanu-Angheluta A., Ardeleanu R., Pinteala M., Harabagiu V., Chiriac H., Simionescu B. C.  
[Silane covered magnetite particles. Preparation and characterization](#)  
**Digest Journal of Nanomaterials and Biostructures**, vol. 3, issue 1, pp. 33-40, Mar 2008.  
**Abstract:** Nanosized magnetic particles are well known for their ability to perform ionic exchange, to specifically coordinate different organic ligands, to selectively transport cells and other nanometric entities. The work describes the preparation of organic-inorganic stable magnetic particles with dimensions of hundred of nanometers through the interaction between magnetite particles and different organothriethoxy silanes (RSi(OC<sub>2</sub>H<sub>5</sub>)<sub>3</sub>; R: methyl, allyl, 3-aminopropyl). The particles were prepared in two steps: (a) co-precipitation of the Fe<sup>2+</sup>/Fe<sup>3+</sup> system in ammoniacal solutions and (b)

condensation of hydroxyl surface groups of magnetite with silane monomers. The dimensional distribution of magnetite particles was reduced while the dimension of the particles was increased from cca 250 nm in magnetite to cca 500 nm after the treatment with silanes. Covering of magnetite particles with silanes induces a decrease of the magnetization from 64 emu/g to 22-56 emu/g depending on silane nature.

28. Herea, D. D., Chiriac, H.

[One-step preparation and surface activation of magnetic iron oxide nanoparticles for biomedical applications](#)

**Optoelectronics and Advanced Materials-Rapid Communications**, vol. 2, issue 9, pp. 549-552, Sep 2008.

**Abstract:** This paper describes the one-step preparation and surface functionalization with 3-aminopropyltriethoxysilane (APTS) of magnetite nanoparticles during their synthesis by using only Fe<sup>2+</sup> in alkaline medium. Mean crystal size calculated from X-ray diffraction spectra was 10.8 nm for uncoated magnetite, while magnetic particle diameter calculated from magnetization loops varied between 9.1 nm - 11 nm, depending on the APTS concentration. Activation of magnetite nanoparticles with amino-silanes leaded to the decreasing of saturation magnetization from 41.4 emu/g for uncoated magnetite to 18-20 emu/g for coated magnetite.

29. Carja G., Chitanu G.C., Kameshima Y., Chiriac H., Okada K.

[LDH-maleic anhydride copolymers as new hybrid materials and their textural organisation](#)

**Applied Clay Science**, vol. 41, issue 3-4, pp. 107-112, Oct 2008.

**Abstract:** New hybrid materials based on maleic anhydride-vinyl acetate copolymers incorporated within a LDH network (Mg/Al=2/1) were obtained by using either the coprecipitation method or the reconstruction method. XRD, FTIR and DTA analyses were used for obtaining information about the structural features of the new synthesized hybrid structure. The textural organisation at micro-nanoscale of the samples was studied by using SEM and TEM microscopy techniques. The inorganic matrix and the polymer both contribute to establish the specific micromorphology of the studied samples: well defined microsheets were stacked one of top of the other. The thickness and shape of the microsheets and their textural disorder were influenced by the synthesis procedure. The agglomerated particles preserved the typical platelet morphology of the LDH though they partially entrapped the fibrous particles of the polymer. These results can open new perspectives in designing new hybrid materials with specific textural organisation at micro- nanoscale.

30. Chiriac H., Grigoras M., Lupu N., Urse M.

[The influence of the thickness layers and annealing conditions on the hard magnetic properties of nanocomposite \[NdFeBNbCu/FeBSi\]<sub>n</sub> films](#)

**Journal of Optoelectronics and Advanced Materials**, vol. 10, no. 12, pp. 3501-3504, 2008.

**Abstract:** Some results concerning the influence of the thicknesses ratio of the NdFeBNbCu/FeBSi bilayers and annealing conditions on the structural and hard magnetic properties of the Ta/[NdFeBNbCu/FeBSi]<sub>n</sub>/Ta multilayer thin films with low crystallization temperature are presented. The good hard magnetic characteristics were obtained for the Ta/[NdFeBNbCu(90)/FeBSi(5)]-6/Ta thin films annealed at 630 degrees C for 20 min., and then cooled up down to RT in magnetic field. Thus, the Ta[NdFeBNbCu(90nm)/FeBSi(5nm)]-6/Ta thin films annealed for 20 min. at 630 degrees C and then cooled up down to RT in magnetic field of 8 kG exhibit an increase in coercivity of about 1.37 kG and a noticeable enhancement of the saturation magnetization and the remanent magnetization of about 12 emu/g and 22 emu/g, respectively, as compared with same sample annealed at 630 degrees C for 20 min., and then cooled up down to RT without magnetic field.

31. Chiriac H., Moga A. E., Gherasim C.

[Preparation and characterization of Co, Fe and Co-Fe magnetic nanoparticles](#)

**Journal of Optoelectronics and Advanced Materials**, vol. 10, no. 12, pp. 3492 – 3496, December 2008.

**Abstract:** This paper reports some results on the synthesis and characterization of cobalt, iron and cobalt-iron nanoparticles. The nanoparticles have been synthesised by polyol method and the obtained magnetic nanoparticles have a superparamagnetic behaviour. The morphology and size of the nanoparticles were studied by scanning electron microscopy (SEM) and dynamic light scattering (DLS). Compositional analysis of all the samples was conducted by EDS (energy dispersive X-ray analysis). The structure of the nanoparticles was examined by X-ray diffraction (XRD). Magnetic characteristics of the obtained nanoparticles were determined at room temperature by using a vibrating sample magnetometer (VSM), in an external magnetic field of 600 kA/m.

32. Lozovan M., Chiriac H., Neagu M., Mohorianu S., Dobrea V.

[Hall effect and magnetoresistance of Co<sub>68.25</sub>-xFe<sub>4.5</sub>Si<sub>12.25</sub>B<sub>15</sub>Mo<sub>2.5</sub> alloys](#)

**Journal of Optoelectronics and Advanced Materials**, vol. 10, issue 11, pp. 2913-2915, Nov 2008.

**Abstract:** Results concerning the Hall resistivity, spontaneous Hall coefficient, longitudinal and transversal magnetoresistance and ferromagnetic anisotropic resistivity for as-cast and thermally treated Co<sub>65.75</sub>Fe<sub>4.5</sub>Si<sub>12.25</sub>B<sub>15</sub>Mo<sub>2.5</sub> amorphous ribbons are presented. The obtained results show a strong dependence of the electrical properties of the samples on the thermal treatment. In the nanocrystallized samples the value of ferromagnetic anisotropic resistivity (+1.65x10<sup>-4</sup>) is quite similar to that of the amorphous samples (+1.17x10<sup>-4</sup>). In the crystallized state the value of ferromagnetic anisotropic resistivity increases up to +17.93x10<sup>-4</sup>.

33. Craus M.-L., Dobrea V., Lozovan M.

[Martensite-austenite and ferromagnetic-paramagnetic transformations in Ni\(2-x\)A\(x\)Mn\(1-y\)B\(y\)Ga\(1-z\)C\(z\) \(A, B=Co; C=Al\) heusler alloys](#)

**Revista de Chimie**, vol. 59, issue 12, pp. 1345-1347, Dec 2008.

**Abstract:** Ni(2)HnGa Heusler alloy is known as a potential smart material. At room temperature it has a L2(1) type structure, undergoing a martensitic transition (T-M) at low temperatures. Some authors have classified Ni-Mn-Ga Heusler alloys on the values of martensitic transformation and Curie temperatures: first group formed by alloys with T-M below room temperature and T-C second group with T-M around room temperature and third group with T-M(M)>T-c The partial substitution of Ni with Mn leads to an increase of the transition temperature and a decrease of the Curie temperature. The Ni<sub>2</sub>-xMn<sub>1+x</sub>Ga alloys have a complex tetragonal structure at room temperature. The substitution of Ga with Al can change the crystalline and magnetic structure of Heusler alloys: Ni<sub>2</sub>MnAl is antiferromagnetic for a B2 (CsCl type, with Mn and Al randomly distributed in the center of the cube) structure and ferromagnetic for a L2(1) (BiF<sub>3</sub> type with Mn and Al ordered distributed in the cube center) structure. We intend to put in evidence a dependence between the applied magnetic field on a side, and the transition temperature, on other side, for the Ni<sub>2</sub>-x A(x)M(1-y)B(y)Ga(1-z)C(z) (A, B = Co; C =Al) Heusler alloys.

34. Dobrea V., Lozovan M.

[Cu-Al-Ni shape memory alloy for thermostatic actuator device](#)

**Journal of Optoelectronics and Advanced Materials**, vol. 10, issue 11, pp. 08-2912, Nov 2008.

**Abstract:** The ternary Cu-Al-Ni shape memory alloys (SMA) are often used due to their wide range of useful transformation temperatures and small hysteresis. Usually, the critical temperatures of martensitic transformation are from 80 to 200 degrees C, strongly influenced by Al content of alloys. For some applications, e.g. a thermostatic actuator device which works under boiling water temperature, these transformation temperatures

are too high for practical use. By adding some small quantities of certain alloying elements we obtained both a decrease of martensitic transformation temperature and a finishing crystalline structure. The functional characteristics (actuation force, movement) of an actuator based on a SMA depend strongly on the specific properties (transition temperature, thermal hysteresis, degree of shape recovery) of the used alloy in order to making the actuating element. The paper presents some polycrystalline alloys having shape memory effect (SME), belonging to the Cu-Al-Ni system, with compositional range between (12.2-13.5)% Al, (3.4-3.5)% Ni, balance Cu, modified by alloying with small quantities of Mn and Ti. The study of these alloys aims to carry out a thermal actuator designed to function in 20-80 degrees C temperature range which equips a thermostatic device. Both thermal actuator and thermostatic device are succinctly presented in the work. Direct and reverse martensitic transition temperatures of investigation alloys were evidenced by electrical resistivity variation versus temperature, in 20-125 degrees C domain.

35. Craus M. L., Cornei N., Lozovan M., Islamov A.

[Influence of Mn substitution with Co or Fe on transport mechanisms in some manganites](#)

**Journal of Optoelectronics and Advanced Materials**, vol. 10, issue 11, pp. 2924-2927, Nov 2008.

**Abstract:** Manganites with perovskite structure are today the subject of intensive research, their properties being of fundamental scientific importance and of interest for technological applications. Some manganites, as  $\text{La}_{1-x}\text{Sr}_x\text{MnO}_3$ , are known as ferromagnetic materials, with a "bad metal" behavior, and a transition temperature close to Curie temperature. The manganites with  $\text{La}_{0.54}\text{Ho}_{0.11}\text{Sr}_{0.35}\text{Mn}_{1-x}(\text{Co}/\text{Fe})(x)\text{O}_3$  were prepared by means of sol-gel methods. The treated samples were monitorized by XRD, using a diffractometer preview with a data acquisition system, at room temperature. The XRD data were handled with CeckCell program, to proof the space group and the presence of superstructure, while lattice constants, atom positions in the unit cell, average size of the coherent blocks and microstrains were determinate with Rietveld (PowderCell and GSAS) programs. Magnetic properties of the samples were investigate with a Foner type magnetometer, between 77 and 400 K, using a magnetic field  $H=4$  kOe. Magnetoresistance data were obtained with a four probe method, in a magnetic field  $H_{\text{max}} = 20$  kOe, between 7 and 300 K. Treated samples contain only perovskite type phases, depending on the Mn substitution. Curie temperature has a maximum value for the smallest amount of Co/Fe. The transition temperature are smaller as Curie temperature with 70 -100 K. Transport mechanisms are discussed, in agreement with the Fe/Co doping. The effect of Co/Fe substitution on the magnetic/crystalline structure of  $\text{La}_{0.54}\text{Ho}_{0.11}\text{Sr}_{0.35}\text{Mn}_{1-x}(\text{Co}/\text{Fe})(x)\text{O}_3$  manganites was investigated.

36. Balasoiu M., Craus M. L., Kuklin A. I., Plestil J., Haramus V., Islamov A. H., Erhan R., Anitas E. M., Lozovan M., Tripadus V., Petrescu C., Savu D., Savu S., Bica I.

[Microstructure of magnetite doped elastomers investigated by SAXS and SANS](#)

**Journal of Optoelectronics and Advanced Materials**, vol. 10, issue 11, pp. 2932-2935, Nov 2008

**Abstract:** We present some recent results on the SAXS and SANS investigations of the magnetic elastomers. Samples were obtained by mixing dimethylsiloxane with  $\text{Fe}_3\text{O}_4$  ferrofluid in a magnetic field and characterized by XRD, SANS and SAXS. The XRD data corresponding to magnetite was fitted by using a Pseudo-Voigt function. It was found that the  $\text{Fe}_3\text{O}_4$  particles lead to a significant change of the local structure of elastomer, meaning the decrease of the quasi-crystalline phase and the micro-strains into the matrix. The average particle size obtained from SANS measurements agrees well with the average particle size determined by XRD and SAXS analysis. The splitting of the SANS intensity owing to an additional scattering in zero field reflects the existence of magnetic correlations inside the Q region of  $0.005 \text{ \AA}^{-1} < Q < 0.02 \text{ \AA}^{-1}$ .

37. Mohorianu S., Rusu F-V., Lozovan M.

A database for nanomagnetic materials it is really a necessity

**Romanian Journal of Physics**, vol. 53, issue 7-8, pp. 865-872, 2008.

**Abstract:** For a long time basic data and information on science and technology have been edited in some classical forms, such as dictionaries, encyclopedia, handbooks, manuals, data books and they have been in general use for now. The possibility of digitizing massive quantities of scientific and technical data was considered in it different way. Since then, a wide variety of databases have been constructed as information processing equipment has progressed. At the macroscopic scale the structure-properties relation for the magnetic materials is usually determined by microstructure and composition. For nanomagnetic materials this type of relation can be found on the atomic level. Commonly, what is known and valid in the macroscopic world does not automatically also hold true in the nano-world. As the scale changes, the ways physical phenomena manifest themselves, also change. This opens the chance of understanding and later for designing nanomaterials by means of computer simulations. The size, shape and other features are related to the expected or targeted properties. A great amount of scientific and technical data on this subject was accumulated. New techniques to find magnetic nanomaterials with optimum properties, including data mining, neural networks, genetic algorithms was considered. So, data must be stored.

38. Craus M. L., Cornei N., Mita C., Lozovan M.

Microstructure of La<sub>0.54</sub>Ho<sub>0.11</sub>Ca<sub>0.35-x</sub>NaxMn<sub>1-y</sub>CuyO<sub>3</sub> manganites

**Optoelectronics and Advanced Materials-Rapid Communications**, vol. 2, issue 1, pp. 33-36, Jan 2008

**Abstract:** Manganese perovskites, Re(1-x)Alk(x)MnO<sub>3</sub> (Re= rare earth; Alk= alkali earth/alkali elements) were intensively investigated in the last ten years, due to the observed colossal magnet resistance (CMR) near the ferromagnetic-paramagnetic transition temperature. The CMR effect is most prominent for x approximate to 0.3. It is observed a correlation between the radius and distribution of the cations in the unit cell, on one side, and physical properties on other side for La<sub>0.54</sub>Ho<sub>0.11</sub>Ca<sub>0.35-x</sub>NaxMn<sub>1-y</sub>CuyO<sub>3</sub> manganites, obtained by sol-gel method. Powders resulted from gel calcinations were presintered and finally sintered at 1200 degrees C in air and investigated by X-ray analysis to determine begin of solid-state reaction, the phase composition, and other microstructure parameters. XRD data were handled with DICVOL, CellRef and Rietveld type programs. Magnetic were performed with a Foner type magnetometer between 77 and 600 K. The sintered samples contain only perovskite phases. The substitution of Ca with Na leads to a decrease of the unit cell volume, while the Cu substitution produced a non-monotonous variation of the unit cell. We discussed the dependence between the tolerance factor (experimental and calculated) and the chemical disorder degree, on one side, and the Curie temperature on other side.

39. Craus M. -L., Lozovan M.

Extrinsic magnetoresistance of Sr<sub>1.8</sub>Ca<sub>0.2</sub>Fe<sub>1-x</sub>GdxMoO<sub>6</sub> double perovskites

**Romanian Journal of Physics**, vol. 53, issue 1-2, pp. 253-260, 2008.

**Abstract:** Double perovskites of the type Sr<sub>1.8</sub>Ca<sub>0.2</sub>Fe<sub>1-x</sub>GdxMoO<sub>6</sub> were synthesized by an improved ceramic technology, in air at 1200 degrees C. The samples contain practically only one crystalline phase; the real structure varies from I4/m to P2(1)/n with the change of the Ca concentration. The differences in Curie temperature and the transport charge behavior are due to variations of the conduction bandwidth resulting from the differences of the Fe-O-Mo bond topology, which are caused by the distinct size of the A(2+) cations. Our aim is to investigate the behavior of charges transport in the Sr<sub>1.8</sub>Ca<sub>0.2</sub>Fe<sub>1-x</sub>GdxMoO<sub>6</sub> system in function of temperature and the Fe/Gd concentrations ratio.

40. Craus M. L., Lozovan M., Cornei N.

### [Electronic diagram modification in La<sub>0.54</sub>Ho<sub>0.11</sub>Ca<sub>0.35</sub>Mn<sub>1-x</sub>\(Co/Cr\)<sub>x</sub>O-3 manganites](#)

**Journal of Optoelectronics and Advanced Materials**, vol. 10, issue 2, pp. 348-351, Feb 2008.

**Abstract:** The substitution of Mn with Co cations produces the segregation of electronic phases (two defective AFM phases) in PrCa manganite doped with Co. Magnetic phase is stabilized by the microstrains induced by the Co cations. We have prepared La<sub>0.54</sub>Ho<sub>0.11</sub>Ca<sub>0.35</sub>Mn<sub>1-x</sub>(Co/Cr)<sub>x</sub>O-3 manganites by sol-gel method. The samples were monitorized by means of X-ray diffractometry (Cu K alpha) at room temperature and XRD data were handled by means of Rietveld type programs. The phase composition and structure (unit cell type and parameters, position of the atoms in unit cell, Mn-O distances and Mn-O-Mn bonds angles, microstrains and average size of mosaic blocks) were determined. Magnetic data (variation of specific magnetization with temperature) were obtained with a Foner type magnetometer between 77 and 500 K, at 1T magnetic field intensity. Transport phenomena (variation of resistivity with temperature and magnetic field intensity) were performed by four probes method between 77 and 300 K. Transport properties, including the resistivity values and the transition temperature from metallic to insulator state strongly depend on the concentration of Co/Cr in the samples. The transition temperature decrease slower for doped with Cr samples as for those doped with Co. We discussed the influence of Co/Cr cations on the electronic phase diagram of the La<sub>0.54</sub>Ho<sub>0.11</sub>Ca<sub>0.35</sub>Mn<sub>1-x</sub>(Co/Cr)<sub>x</sub>O-3 manganites.

41. Craus M. L., Lozovan M., Cornei N., Mita C.

### [Transport and magnetic properties of Fe substituted manganites](#)

**Journal of Optoelectronics and Advanced Materials**, vol. 10, issue 2, pp. 269-272, Feb 2008.

**Abstract:** Magnetic perovskites with ABO(3) structure have interesting properties, due their complex electronic phase diagram, which depend on chemical composition, average radius of A places and chemical disorder degree. We have obtained a new type of manganites, with La<sub>0.54</sub>Ho<sub>0.11</sub>(Ca,Sr)(0.35)Mn<sub>1-x</sub>FexO<sub>3</sub> chemical composition, were obtained by sol-gel method. XRD analysis was performed with at room temperature with a diffractometer previewed with a data acquisition system, data being handled with a Rietveld type program. The samples contain only an orthorhombic phase, identified as Pnma, GS 62. Lattice constants, unit cell volume and the atomic positions in the unit cell were determined. Mn-O distances and Mn-O-Mn angles were calculated and a correlation with the observed Curie temperatures was put in evidence. The magnetic measurements were performed between 77 and 300 K with a Foner type magnetometer. Electric measurements were performed by means of four probes method, between 7 and 300 K Large values of magnetoresistance were obtained for samples with Sr.

42. Dobromir M., Neagu M., Pohoata V., Borza F., Meydan T., Ovari T. A., Popa Gh., Chiriac H.

### [Magnetic properties of Fe-based amorphous thin films](#)

**Journal of Optoelectronics and Advanced Materials**, vol. 10, issue 2, pp. 410-412, Feb 2008.

**Abstract:** Results on the bulk and surface magnetic behavior of Fe-Si-B-C amorphous thin films, with thickness in the range of 80-250 nm, deposited onto glass substrates using RF sputtering and pulsed laser deposition techniques are presented. In the as-deposited state the coercivity of the samples prepared by pulsed laser deposition is higher than of the RF sputtered samples. The obtained results show a small difference between bulk and surface magnetic behaviour. The thermal treatments reduce both surface and bulk coercivity values.

43. Astefanoaei I., Chiriac H., Stancu A.

### Magnetic domains structure of dc Joule-heated amorphous glass-covered magnetic wires

**Journal of Optoelectronics and Advanced Materials**, vol. 10, pp. 260-263, 2008.

**Abstract:** In this paper, we have analyzed the influence of dc Joule heating on the magnetic domains structures of amorphous glass-covered wires. We have calculated the thermal stresses owing to the successive heating, crystallization and cooling of the metal as well as to contractions generated by the glass cover in the metal during the thermal treatment due to difference between the thermal expansion coefficients of metal and glass. We have found that: (i) the resultant stresses strongly depend on the dimensions of the metallic part and the glass cover of amorphous glass-covered wires; (ii) the dimensions of the cylindrical inner core (CIC) increase with the increase of the metal's part radius; (iii) the increase of CIC's radius after the thermal annealing leads to the values of the reduced remanence from 0.90 to 0.98.

44. Vasilescu D.D.; Velicu S.; Dobrea V., Corabieru P.; Corabieru A.

### Study of the mechanic-elastic and electric characteristics of the ecological quaternary alloys

**Metalurgia International** Vol.: 13, No: 7 Pags.: 5-8, 2008.

**Abstract:** The values of the mechanic-electric characteristics of the special ecological quaternary alloys of type CuNiSiMn and CuNi4AlSi are placed at the inferior limit of the classic bronzes with beryllium. The values of the mechanic-elastic characteristics of the replacing alloys can be increased by mechanical hardening without influencing the value of the electric conductivity. The determination of the elasticity modulus E depending on temperature of the special ecological quaternary alloys has been performed using the non-conventional method of mechanic oscillations resonance. The present work studies the elasticity modulus E and the electric conductivity of the ecological quaternary alloys.

45. Pantilimonescu F., Peptanariu M., Balasca M., Cornelius S.

### Sistem mechatronic mobil de monitorizare a utilajelor textile, utilizand GSM network

**Industria textila**, vol. 59, issue 5, pp. 147-149, 2008.

**Abstract:** The results of the research activities have lead to the achievement of prototypes for mobile intelligent mechatronic systems with ecological textile equipment. In this article are presented only some aspects related to the specific systems for monitoring textile processes, system that allows the development of structures with low energy consumption, towards greater universality of service opportunities expand with additional modules from multiple sources standardized. Bringing supply systems solar energy enables the achievement of new technological processes with significant efficiency and environmental costs much lower. Integrating sensors, actuators, processing units signals and GSM networks allow completion of complex operations, industrial plants located on large geographical areas, and human operators can be anywhere in the world, where possible access to a GSM network/Internet.

46. Andreescu A., Savin A., Steigmann R., Iftimie N., Mamut E., Grimberg R.

### Model for thermal conductivity of composites with carbon nanotubes

**Journal of Thermal Analysis and Calorimetry**, Vol. 94, Iss. 2, pp: 349-353, 2008.

**Abstract:** This paper presents a model for evaluation of effective thermal conductivity for the composites with carbon nanotubes (CNT) having log-normal function of distribution of CNT, with direct effect over depolarization factor. The CNT are considered having cylindrical shape with L/d ratio very high. The model parameters are calculated in function of the data from literature. The influence of volume fraction of reinforced materials, of the aspect ratio of the particles included and of the ratio of the two thermal conductivities is presented.

47. Grimberg R., Udupa L., Savin A., Steigmann R., Vizureanu P., Bruma A., Udupa S. S.

### Remote field eddy current control using rotating magnetic field transducer: Application to pressure tubes examination

**Research in Nondestructive Evaluation**, Vol. 19 issue 4, pp. 202-218, ISSN 0934-9847, 2008.

**Abstract:** The remote field eddy current (RFEC) technique is used to investigate the possibility of detecting the discontinuities practiced on pressure tubes samples from nuclear reactors, pressurized heavy water reactors (PHWR) type. In this article, we propose to develop the RFEC using the technique of rotating magnetic field (RMF). A method for calculating the field generated by the eddy current transducer with RMF using propagator matrix was developed. The experimental measurements are realized for artificial discontinuities practiced in pressure tubes samples.

48. Grimberg R., Udpa L., Udpa S.S.

### Electromagnetic transducer for the determination of soil condition

**International Journal of Applied Electromagnetics and Mechanics**, Vol.28, issue 1-2, pp. 201-210, ISSN 1383-5416, 2008.

**Abstract:** Determination of soil condition is important for several applications ranging from agricultural to homeland security. This paper presents a novel electromagnetic sensor array, the method for solving its forward problem and the super-resolution algorithm for signal processing to detect conductive objects buried in the ground, by determination of soil condition.

49. Dumitru I., Astefanoaei I., Grimberg R., Stancu A.L.

### The energy states of cylindrical quantum dots systems

**Journal of Optoelectronics and Advanced Materials**, vol. 10, issue 2, pp.327-330, 2008.

**Abstract:** The simulation of electron and hole quasiparticles in semiconductor nanostructure is still an important issue for future electronic and optical devices. In this study, a nanostructured systems formed by two cylindrical quantum dots (QDs) it is considered, one is situated at the interface semiconductor substrate (GaAs) - air and the second is situated in air. Our particular interest was on evolution of the eigenstates of confined electrons with the distance between QDs. It was used a one-band model expression for Schrodinger equation [1] to characterize the energy of QDs electrons and that was solved using a finite element method for geometry discretization. The presence of the oscillating envelope function of the electrons for different distances between dots was observed. The wavelength corresponding to the system formed by two QDs is ranged in infrared domain.

50. Curtu I., Stanciu M.D., Grimberg R.

### Correlations between the plates' vibrations from the guitar's structure and the physical, mechanical and elastically characteristics of the composite materials

**9th International Conference on Acoustics and Music - Theory and Applications**, Jun 22-26, 2008 Bucharest Romania, **Proceedings of the 9th Wseas International Conference on Acoustics & Music: Theory & Applications** pp. 55-60, 2008.

**Abstract:** Due to the acoustic, aesthetic and processing properties (workability, finishing, joints) the wood and the ligno-cellulose composites are the most valued materials for the musical instruments' construction. The guitar is made up of a complex structure, formed by a vertical wall in a curve shape (technologically named "sides") and two faces made Lip of ligno-cellulose plates, so that it should be formed an acoustic box which amplifies the vibrations of strings. The acoustic quality is determined by the contribution of each element (shape, dimensions, the nature of the used material, the characteristics of the excitation forces etc). This paper focuses on dynamical behaviour of every element and the whole structure. Firstly, the plates were considered simple, with different inner ribs, with various thicknesses and variable elasticity. Secondly, the plates were modeled as an assembly forming the body of guitar. It had been analyzed the structural behaviour of the plates under free and forced vibrations and also the acoustic

box. The modelling with FEM permitted the emphasizing of some aspects, such as: the plate's and the box's normal modes of vibrations, the magnitude of the vibrations' amplitudes, reaching the resonance frequency at different values from the acoustic domain of the structure etc. The results obtained had been compared to the ones obtained by other researchers with analytical, numerical and experimental methods. The obtained data refer to the Romanian guitars produced at S. C. Hora S. A. Reghin.

51. Curtu I., Stanciu M.D., Itu C., Grimberg R.

Numerical modeling of the acoustic plates as constituents of stringed instruments

**Proceedings of the 6th International Conference of DAAAM Baltic Industrial Engineering, PTS 1 and 2**, pp. 53-58, 2008

**Abstract:** The aim of this paper is to analyze through the finite element method (FEM) the dynamical behaviour of the ligno-cellulose composite plates from the structure of guitar. First it had been done the geometrical modeling of the structures from the plates, as the body of the classical guitar - size 4/4. Then the different structures were analyzed with finite element. The dynamical response had been obtained for different types of structures of plates, from the point of thickness, of the used material and of the top braces. Through analyzing and comparing the normal modes of the fixed edges plates and the structures' response to the action of the cyclic stresses it had been noticed that the acoustic performances of the classical guitar are influenced by many factors.

52. Răcuciu M., Creangă D. E., Airinei A., Bădescu V.

Synthesis method influence on water based magnetic fluid properties

**Journal of Optoelectronics and Advanced Materials**, vol. 10, issue 3, pp. 635-638, 2008.

**Abstract:** Water based magnetic fluids containing magnetite have been prepared by a chemical precipitation method. Two samples of tetramethylammonium hydroxide coated magnetic nanoparticles (ultra-fine particles of Fe<sub>3</sub>O<sub>4</sub>) immersed in water have been obtained following two different preparation protocols. Physical tests have been performed on these samples of the water based magnetic fluids prepared by us, in order to reveal their microstructural and rheological features. Transmission electron microscopy (TEM) was the investigation method for the assessing of the physical magnetic nanoparticles size. Magnetic susceptibility and magnetization measurements were carried out by Gouy method. Fourier transform infrared absorption spectra have been recorded aiming to get some information on the solid phase structure. The dimensional distribution of the ferrophase physical diameter was comparatively presented using the box-plot statistical method. To assess the optical properties of isolated magnetic nanoparticles, UV-VIS absorbance spectra were recorded.

53. Răcuciu M., Creangă D. E., Airinei A., Bădescu V.

Room temperature synthesis of magnetic nanoparticles

**Journal of Optoelectronics and Advanced Materials**, vol. 10, issue 11, pp. 2928-2931, Nov 2008.

**Abstract:** In this study, we report a rapid solvent-free synthesis method, using inorganic ferrous and ferric solids together with surfactant molecules to produce mono-dispersed magnetite - the reaction being induced at room temperature this way avoiding any heating. Such a solvent free experimental approach provides environmental advantages since the toxic chemicals generation does not occur. Dimensional analysis of magnetic nanoparticles was accomplished by means of transmission electron microscopy (TEM) and by magnetic measurements revealing mean values of 9.17 nm and respectively 3.8 nm. Infrared absorption spectra (FT-IR), recorded aiming to get some information on the functionalized magnetic nanoparticles composition revealed the presence of iron oleate onto the magnetic core. The colloidal suspensions density, viscosity and surface tension were measured using standard methods their values indicating convenient rheological properties for technical applications.

54. Apreutesei G., Bădescu R., Udrea L.E., Rotariu O.

[The study of the magneto-birefringence relaxation for an aqueous ferrofluid on the polyvinyl alcohol base](#)

**Romanian Journal of Physics**, vol. 53, issue 3-4, pp. 535-544, 2008.

**Abstract:** Our work presents some results on the magnetic birefringence relaxation for aqueous ferrofluids. The water-based ferrofluids were prepared by precipitation of magnetite in presence or absence of poly(vinylalcohol). The time evolution of the birefringence of the prepared ferrofluids is analysed as depending on the intensity of the applied magnetic field.

55. Rezlescu N., Doroftei C., Rezlescu E., Popa P.D.

[The influence of heat-treatment on the microstructure and magnetic properties of rare-earth substituted SrFe<sub>12</sub>O<sub>19</sub>](#)

**Journal of Alloys and Compounds**, vol. 451, pp.492-496, 2008.

**Abstract:** Rare-earth substituted strontium ferrite nanopowders SrFe<sub>12-xRxO<sub>19</sub></sub> ( $R=La, Gd$  and  $Er$ ;  $x=0.2, 0.5$  and  $1$ ) were prepared by sol-gel-autocombustion method and subsequent heat treatments. The results of X-ray diffraction measurements showed the M-type hexagonal structure. Magnetic properties, such as specific saturation magnetization  $M_s$ , specific remanent magnetization  $\sigma(r)$  and coercivity  $H_c$ , as well as microstructure depend on the heat-treatment conditions (temperature and time). The coercivity  $H_c$  exhibits a great increase after a critical heat-treatment time. This jump of  $H_c$  was explained by a transition from the superparamagnetic state to normal state of the single domain nanoparticles. The occurrence of an agglomerated structure composed of magnetically interacting ultrafine crystallites also contributes to the increase of  $H_c$ . With increasing  $R$  content both the  $M_s$  and  $M_r$  decrease due to the dissolution of  $R$  ions into the hexaferrite lattice

56. Rezlescu E., Doroftei C., Popa P.D., Rezlescu N.

[The transport and magnetic properties at low temperatures of La-Pb-Mg-Mn-O manganites](#)

**Journal of Magnetism and Magnetic Materials**, vol. 320, issue 6, pp. 796-802, 2008.

**Abstract:** The structure, transport properties and the magnetoresistance behavior in the temperature interval 77-400K of the perovskite-like lanthanum manganites La<sub>0.6</sub>Pb<sub>0.4</sub> $xMgx+yMnO<sub>3</sub>$  ( $x = 0, 0.1, 0.2$  and  $y = 0, 0.2$ ) were investigated. Polycrystalline bulk samples were prepared by sol-gel self-combustion and subsequent heat treatment at 1000 degrees C for different times, 40, 80, 160 and 320 min. All manganites exhibit a peak in the resistivity around 200-250 K, below the ferromagnetic ordering temperature (320-330K). An isotropic and negative magnetoresistance has been observed in all compounds. Magnetoresistance MR exhibits a peak in the temperature range 130-150 K, below SC-metal transition temperature. Magnitude of MR at the peaks was nearly 27% in the magnetic field of 2T. At room temperature, a magnetoresistance of 9.5% for La<sub>0.6</sub>Pb<sub>0.2</sub>Mg<sub>0.2</sub>MnO<sub>3</sub> composition was obtained. Longer heat treatment time enhanced the magnetoresistive properties

57. Rezlescu N., Doroftei C., Rezlescu E., Popa P.D.

[Lithium ferrite for gas sensing applications](#)

**Sensors and Actuators B-Chemical**, vol. 133, issue 2, pp. 420-425, Aug 12 2008 .

**Abstract:** Microstructure and gas sensing properties of pure and samarium-substituted lithium ferrites, Li<sub>0.5Sm<sub>x</sub>Fe<sub>2.5-x</sub>O<sub>4</sub></sub> ( $x=0, 0.05, 0.1$  and  $0.2$ ), prepared by sol-gel self-combustion were studied. Ethanol, methanol, LPG and ammonia were used as test gases. SEM investigation evidenced that Sm ions induced Microstructural changes of the Li ferrite. The finest granulation (about 100 nm) and highest porosity (44%) were observed in Li<sub>0.5Sm<sub>0.2</sub>Fe<sub>2.3</sub>O<sub>4</sub></sub>. The gas response measurements evidenced that it depended on the working temperature and gas type. All ferrites were sensitive to alcohol (ethyl and methyl) and less sensitive to ammonia and LPG. The best responses, over

- 85%, were obtained at operating temperatures of 340-355 degrees C to ethanol and methanol vapour.
58. Rezlescu E., Doroftei C., Rezlescu N., P. D. Popa  
[Preparation, structure and gas sensing properties of  \$\gamma\$ -Fe<sub>2</sub>O<sub>3</sub> and  \$\gamma\$ -Fe<sub>2</sub>O<sub>3</sub>-TiO<sub>2</sub> thick films](#)  
**Physica Status Solidi A-Applications and Materials Science**, vol. 205, issue 8, pp. 1790-1793, Aug 2008  
**Abstract:** In this paper, the preparation of gamma-Fe<sub>2</sub>O<sub>3</sub> and gamma-Fe<sub>2</sub>O<sub>3</sub>-TiO<sub>2</sub> thick films by a screen printing method is presented and their sensitivities and responses to acetone, ethyl alcohol, ammonia and liquefied petroleum gas are studied. The experimental results revealed that the gas sensitivity is strongly related to operating temperature, film composition and gas type.
59. Sachelarie L., Rezlescu E., Doroftei C., Rezlescu N.  
[Beneficial effect of small MgO content on some physical properties of CuZn ferrite](#)  
**Journal of Optoelectronics and Advanced Materials**, vol. 10, issue 2, pp. 344-347, Feb 2008  
**Abstract:** Ferrite samples having the general formula Mg<sub>x</sub>Cu<sub>0.5-x</sub>Zn<sub>0.5</sub>Fe<sub>2</sub>O<sub>4</sub> were prepared using standard ceramic method. The structure characterization was made using X-ray diffraction and scanning electron microscopy. The effect of Mg<sup>2+</sup> ion concentration, 0 <= x <= 0.5, on the mechanical and magneto-electric properties of the ferrites is investigated. It is found that the mechanical, magnetic and electrical properties depend on the Mg concentration. From the sintering experiments carried out between 800 and 1100 degrees C it was established that a small Mg concentration, of 0.2, is sufficient to promote sintering at low temperature (1050 degrees C) and to yield a dense material (4.5 g/cm<sup>3</sup>). High electrical resistivities were obtained for x = 0.2-0.5. Mechanical properties are improved.
60. Iftimie N., Iacomi F., Rezlescu N.  
[High performance gas sensing materials based on nanostructured zinc oxide films](#)  
**Journal of Optoelectronics and Advanced Materials**, vol. 10, issue 7, pp. 1810-1813, Jul 2008  
**Abstract:** ZnO and ZnO:(Sn, Al) thin films and their sensing properties are presented with respect on their surface texture and composition. Thin films were prepared by vacuum thermal evaporation technique and deposited on different substrates. The thin film structure, crystallinity and morphology were investigated by using X-ray diffraction analysis and Atomic Force Microscopy (AFM). The ZnO gas sensor was exposed to different concentration of gases at elevated temperatures to evaluate the gas sensitivity of ZnO gas sensors. It was found that the highest sensitivity was obtained for temperatures around 250°C and that sensitivity to a certain gases is influenced by dopants and substrate nature.
61. Tudorache F., Rezlescu E., Popa P. D., Rezlescu N.  
[Study of some simple ferrites as reducing gas sensors](#)  
**Journal of Optoelectronics and Advanced Materials**, vol. 10, issue 7, pp. 1889-1893, Jul 2008  
**Abstract:** Four spinel ferrites, MFe<sub>2</sub>O<sub>4</sub> (M = Cu, Cd, Zn and Ni), having various grain sizes (100 - 700 nm) were prepared by sol-gel-selfcombustion and their sensing properties to reducing gases were investigated. The gas sensing characteristics were obtained by measuring the sensitivity as a function of various controlling factors, like operating temperature, composition and concentration of the gas, and finally the response time. The sensitivity of four ferrites to reducing gases like acetone, ethanol and LPG was been compared. It was revealed that CuFe<sub>2</sub>O<sub>4</sub> is the most sensitive to LPG and ZnFe<sub>2</sub>O<sub>4</sub> can be used as a sensor to selectively detect ethanol vapors in air. The

strong interaction between ethanol and porous ZnFe<sub>2</sub>O<sub>4</sub> can explain the selective sensitivity to ethanol and negligible sensitivity to the other reducing gases.

62. Rezlescu N., Tudorache F., Rezlescu E., Popa P.D.  
[The effect of additives and sintering temperature on the structure and humidity sensitivity of a spinel ferrite](#)  
**Journal of Optoelectronics and Advanced Materials**, vol. 10, issue 9, pp. 2386-2389, Sep 2008.  
**Abstract:** The humidity-sensitive characteristics of MgZn ferrite as a function of the additive type and sintering temperature are investigated. As dopants are used CaCl<sub>2</sub>, KCl, LiCl and NaCl. The microstructure is dependent upon the sintering temperature and additive kind. All samples exhibit a significant decrease in the specific resistance in the humidity interval 33% RH - 98%RH. The KCl doped ferrite, characterized by higher porosity, shows a shorter response time (3 - 4 minutes) than that of the CaCl<sub>2</sub> doped sample (of about 6 minutes).
63. Doroftei C., Rezlescu E., Rezlescu N., Popa P.D.  
[Gas sensing properties of samarium substituted lithium ferrite](#)  
**Journal of Optoelectronics and Advanced Materials**, vol. 10, issue 9, pp. 2390-2395, Sep 2008.  
**Abstract:** Microstructure and gas sensitivity of pure and samarium substituted lithium ferrites, Li<sub>0.5</sub>Sm<sub>x</sub>Fe<sub>2.5-x</sub>O<sub>4</sub> ( $x = 0, 0.05, 0.1$  and  $0.2$ ), prepared by sol-gel-selfcombustion were studied. As test gases acetone, ethanol, methanol, LPG, butane and ammonia were used. By SEM investigation was evidenced that Sm ions induced microstructural changes in Li ferrite. The finest granulation (below 100 nm) and highest porosity (44%) were observed in Li<sub>0.5</sub>SM<sub>0.2</sub>Fe<sub>2.3</sub>O<sub>4</sub>. The sensitivity measurements evidenced that the gas sensitivity depends on the working temperature and gas type. All ferrites are sensitive to acetone, ethanol and methanol and less sensitive to ammonia, LPG and butane. The best sensitivities, over 85%, were obtained at operating temperatures of 340 - 355 degrees C for ethanol, methanol and acetone.
64. Doroftei C., Rezlescu E., Rezlescu N., Tudorache F., Popa P.D.  
[Strontrium ferrite used in magnetic recording prepared by self-combustion method](#)  
**Journal of Optoelectronics and Advanced Materials**, vol. 10, issue 11, pp. 2919-2923, Nov 2008.  
**Abstract:** In the last time, the M-type hexagonal ferrites (BaFe<sub>12</sub>O<sub>19</sub> and SrFe<sub>12</sub>O<sub>19</sub>) have drawn a great interest for magnetic recording media because of their large coercivity which is derived from magnetocrystalline anisotropy and small particle size. Rare-earth substituted strontium ferrite nanopowders SrFe<sub>12-x</sub>R<sub>x</sub>O<sub>19</sub> ( $R = La, Gd$  and  $Er$ ,  $x = 0.2, 0.5$  and  $1$ ) were prepared by self-combustion method. In this method one realizes an optimum mixing of ions on the atomic level so that the crystallization of hexaferrite particles can occurs at relatively low temperatures. The combusted powders were annealed at different temperatures (800, 900 and 1000 degrees C) for various annealing times (5, 10, 20, 40, 80, 160 and 320 minutes). The results of X-ray diffraction measurements showed the M-type hexagonal structure formation by heat treatments. Magnetic properties as well as microstructure depend on heat treatment conditions. We believe that further investigations are necessary to explain why in the nanoparticles system the heat treatment time influence on the coercivity is much stronger compared to the heat treatment temperature.

## **Articole publicate în reviste necotate ISI (26 lucrări)**

1. H. Chiriac, A. E. Moga, C. Gherasim, N. Lupu  
Synthesis and characterization of Fe-W and Ni-W composite coatings  
Romanian Journal of Information Science and Technology, vol. 11, no. 2, 2008, pag. 97-202
2. N. Lupu, M. Grigoras, M. Lostun, and H. Chiriac  
Microstructure and magnetic properties of Nd<sub>2</sub>Fe<sub>14</sub>B/3:29 phase and Nd<sub>2</sub>Fe<sub>14</sub>B/SrCo nanocomposite permanent magnets  
20th Workshop on Rare Earth Permanent Magnets and Applications - REPM'08 Proceedings (2008) pag. 29-33
3. A. Manole, D.D. Herea, H. Chiriac, V. Melnig  
Laccase immobilised on hydrotalcites as a 3<sup>rd</sup> generation biosensor type  
Analele Stiintifice ale Universitatii "Al. I. Cuza" din Iasi (Serie Noua), Tom IV, Biofizica, Fizica Medicala - 2008, pag. 11-16
4. A. Manole, D.D. Herea, H. Chiriac, V. Melnig  
Laccase activity determination  
Analele Stiintifice ale Universitatii "Al. I. Cuza" din Iasi (Serie Noua), Tom IV, Biofizica, Fizica Medicala, Fizica Mediului – 2008, pag. 17-24
5. A.E. Moga, C. Gherasim, H. Chiriac  
Preparation and characterization of Co-Fe magnetic nanoparticles  
Proceedings of Joint International Conference “Materials for Electrical Engineering”, Bucharest, Romania, June 16-17, 2008, p. 207-210
6. A.E. Moga, C. Gherasim, N. Lupu, H. Chiriac  
Preparation and magnetic properties of Co-B, Ni-B and Co-Ni-B magnetic nanoparticles  
Proceedings of Joint International Conference “Materials for Electrical Engineering”, Bucharest, Romania, June 16-17, 2008, p. 212-215
7. H. Chiriac, N. Lupu, M. Gaburici, S. Oancea  
Synthesis and characterization of layered double hydroxides with induced magnetic properties  
Proceedings of Joint International Conference “Materials for Electrical Engineering”, Bucharest, Romania, June 16-17, 2008, p. 221-224
8. H. Chiriac, S. Oancea, M. Gaburici, N. Lupu  
Preliminary test results concerning the effect of anionic clays on plant growth  
Lucrari stiintifice USAMV, Sectia Horticultura, 51, 2008, pag.87-92
9. M. Peptanariu, L.C. Hanganu, B. Dragan  
Specific aspects on mobile mechatronics intelligent systems with ecological impact for textile equipments  
International Conference on the Theory of Machines and Mechanisms, Liberec, Czech Republic, September 2-4, 2008, pag. 465-470
10. H. Chiriac, M. Grigoras, N. Lupu, M. Urse  
Hard magnetic nanocomposite [NdFeBNbCu/FeBSi]xn multilayer films with low crystallization temperature  
Digest INTERMAG 2008
11. M.L. Craus, V. Simkin, M. Balasoiu, M. Lozovan, V. Dobrea  
Transport behavior of some doped with Fe and Co manganites at low temperature  
Proceedings of the 14<sup>th</sup> ICIT Conference with international participation “Progress in Cryogenics and Isotopes Separation”, Sectiunea “Plenary Lectures”, Calimanesti-Caciulata 29-31 oct. 2008, pag. 15-19

12. D.D. Vasilescu, C. Baciu, P. Corabieru, A. Corabieru, M. Lozovan, V. Dobrea  
[Analiza caracteristicilor mecano-elastice si electrice ale aliajelor ecologice cuaternare](#)  
Revista Constructii de Masini, nr. 4, 2008
13. R. Grimberg, S.C. Chan, A. Savin, L. Udma and S.S. Udma  
[Noninvasive characterization of Bjork-Shiley Convexo-Concave Prosthetic heart valves using an electromagnetic method](#)  
Studies in Applied Electromagnetics and Mechanics, Vol. 31, 2008, Electromagnetic Nondestructive Evaluation (XI), ISBN 978-1-58603-896-0, pp. 241-248
14. A. Savin, L. Udma, R. Steigmann, A. Bruma, R. Grimberg, S.S. Udma  
[Remote field eddy current control using rotating magnetic field transducer. Application to pressure tubes examination](#)  
Studies in Applied Electromagnetics and Mechanics, Vol. 31, 2008, Electromagnetic Nondestructive Evaluation (XI), ISBN 978-1-58603-896-0, pp. 249-256
15. R. Grimberg, A. Savin, R. Steigmann, A. Andreeescu, N. Iftimie, M.M. Cazacu  
[Lifetime prediction of pressure tubes in PHWR nuclear power plants using eddy current data](#)  
Studies in Applied Electromagnetics and Mechanics, Vol. 31, 2008, Electromagnetic Nondestructive Evaluation (XI), ISBN 978-1-58603-896-0, pp. 257-262
16. R. Grimberg, S.C. Chan, A. Savin, R. Steigmann, F. Pinte, L. Udma, S.S. Udma  
[An electromagnetic non-invasive examination technique of Björk-Shiley Convexo-Concave Prosthetic heart valve: degradation modeling and periodic clinical controls optimization using Markov model](#)  
Emerging Technologies in NDT, Eds Taylor & Francis, 2008, pp.263-280
17. R. Grimberg, A. Savin, R. Steigmann, A. Bruma, L. Udma, S.S. Udma  
[Inverse problem for the EC transducer with rotating magnetic field: application to pressure tubes inspection for PHWR nuclear power plant](#)  
Emerging Technologies in Non-Destructive Testing, G.Busse Eds, Taylor and Francis, 2008, London, ISBN 978-0-415-46476-5, pp.281-287
18. R. Grimberg, R. Steigmann, S. Leitoiu, A. Andreeescu, A. Savin  
[Ultrasound and eddy current data fusion for evaluation of carbon-epoxy composites delaminations](#)  
Emerging Technologies in Non-Destructive Testing, G.Busse Eds, Taylor and Francis, 2008, London, ISBN 978-0-415-46476-5, pp.349-355
19. R. Grimberg, N. Farbas, A. Savin, M.C. Ruch, A. Bruma, R. Steigmann  
[Noninvasive evaluation of hydrogen/deuterium content from zirconium alloys – application to diagnosis of pressure tubes from CANDU reactors](#)  
Conferinta Internationala Integritatea Structurala a Constructiilor Sudate - ISCS08, 05-06 noiembrie 2008, Timisoara, ISSN 1842-5518, pp.77-85
20. I. Curtu, M.D. Stanciu, C. Itu, A. Savin  
[Aspects regarding to the frequency response of the acoustics plates from the guitar's body with FEM](#)  
Buletinul Institutului Politehnic Iasi, Tom. LIV, fasc. 1, 2008, Sectia Constructia de Masini, ISSN 1011-285, pp.277-282
21. F. Mocanu, B. Leitoiu, R. Grimberg, A. Savin, P. Barsanescu  
[Some considerations concerning repairs procedures of composites: I. Theoretical part](#)  
3<sup>rd</sup> International Conference Advanced Concepts in Mechanical Engineering, Iasi, Romania, iunie 2008, Buletinul Institutului Politehnic Iasi, Tom LIV(LVIII), fasc 1, sectia Constructii de masini, 2008, pp. 381-386
22. B. Leitoiu, F. Mocanu, R. Grimberg, A. Savin, P. Barsanescu,

### Some considerations concerning repairs procedures of composites: II. Testing of some bonding repairs

3<sup>rd</sup> International Conference Advanced Concepts in Mechanical Engineering, Iasi, Romania, iunie 2008, Buletinul Institutului Politehnic Iasi, Tom LIV(LVIII), fasc 1, sectia Constructii de masini, 2008, pp.387-392

23. V. Badescu, L.E. Udrea, O. Rotariu, R. Badescu, G. Apreutesei  
On encapsulating and delivery of polyphenols in superparamagnetic polymer nanospheres  
Scientific Study and Research – Chemistry and Chemical Engineering, Biotechnology, Food Industry IX (2), (2008) - (ISSN 1584-540X; Cod CNCSIS 498), pp. 221 – 228
24. G. Apreutesei, R. Bădescu, O. Rotariu, L.E. Udrea, V. Badescu  
On using of nano-sized rod-like magnetite particles for determination of biological binding reactions  
Scientific Study and Research – Chemistry and Chemical Engineering, Biotechnology, Food Industry IX (3), (2008) - (ISSN 1584-540X; Cod CNCSIS 498), pp. 405 – 410
25. E. Rezlescu, F. Tudorache, P.D. Popa, N. Rezlescu  
Role of Cu<sup>2+</sup> concentration on the microstructure and gas sensing properties of Ni<sub>1-x</sub>Cu<sub>x</sub>Fe<sub>2</sub>O<sub>4</sub> (0 ≤ x ≤ 0.8) ferrite  
Sensors & Transducers Journal, vol. 91, issue 4, 2008, pp.100-108
26. M. Peptanariu, L.C. Hanganu, B. Dragan  
Specific aspects on mobile mechatronics intelligent systems with ecological impact for textile equipments  
X. International Conference on the Theory of Machines and Mechanisms Proceedings, 2008, pp. 465-470.

## Comunicări la manifestări științifice naționale și internaționale (137)

1. H. Chiriac, M. Grigoras, N. Lupu, M.Urse  
Hard magnetic nanocomposite [NdFeBNbCu/FeBSi]xn multilayer films with low crystallization temperature  
IEEE International Magnetics Conference - INTERMAG, 4-8 May, 2008, Madrid, Spain
2. H. Chiriac, N. Lupu, C.M. Craciunescu, S. Corodeanu, M. Grigoras  
Magnetic and shape memory properties of FeMnSi based glass-coated microwires  
IEEE International Magnetics Conference - INTERMAG, 4-8 May, 2008, Madrid, Spain
3. H. Chiriac, T. Óvári, S. Corodeanu  
Role of the interdomain wall in the giant magnetoimpedance effect of thin microwires  
IEEE International Magnetics Conference - INTERMAG, 4-8 May, 2008, Madrid, Spain
4. H. Chiriac, T. Óvári, M. Tibu  
Domain wall propagation in nearly zero magnetostrictive amorphous microwires  
IEEE International Magnetics Conference - INTERMAG, 4-8 May, 2008, Madrid, Spain
5. L. Boutiuc, O. Caltun, I. Dumitru, M. Feder, N. Lupu, H. Chiriac  
Stoichiometry and sintering temperature influence on magnetostrictive properties of cobalt  
IEEE International Magnetics Conference - INTERMAG, 4-8 May, 2008, Madrid, Spain
6. N. Lupu, P. Pascariu, C. Gherasim, H. Chiriac  
Magnetic and magnetoelastic properties of electrodeposited FeGa/CoFeB multilayered films and nanowires arrays  
IEEE International Magnetics Conference - INTERMAG, 4-8 May, 2008, Madrid, Spain
7. N. Lupu, H. Chiriac  
Magnetic field and stress dependence of FeGa 3-D shaped magnetostrictive materials properties  
IEEE International Magnetics Conference - INTERMAG, 4-8 May, 2008, Madrid, Spain
8. M. Neagu, M. Dobromir, H. Chiriac, M. Grigoras, C. Hison  
Structural and magnetic properties of amorphous and nanocrystalline FeCuNbSiB thin films  
European Magnetic Sensors & Actuators Conference EMSA 2008 Conference 30 June - 2 July, 2008, Caen, France
9. H. Chiriac, M. Grigoras, M.Urse, N Lupu  
Enhancement of the thermal stability of NdFeB thin films for MEMS applications  
European Magnetic Sensors & Actuators Conference - EMSA 2008, 30 June - 2 July, 2008, Caen, France
10. N. Lupu, M. Tibu, H. Chiriac  
New magnetostrictive smart materials for sensors and actuators  
European Magnetic Sensors & Actuators Conference - EMSA 2008, 30 June - 2 July, 2008, Caen, France
11. M.L. Craus, M. Lozovan, N. Cornei, V. Dobrea, H. Chiriac  
Co doped manganites for magnetoresistive sensors  
EMSA'08 European Magnetic Sensors and Actuators Conference, 30 June-2 July 2008, Caen , France
12. D.D. Herea, H. Chiriac  
Magnetic-electrode-based amperometric biosensor  
European Magnetic Sensors & Actuators Conference - EMSA 2008, 30 June – 2 July, 2008, Caen , France
13. H. Chiriac, M.Grigoras, N.Lupu, M.Urse, V.Buta



26. H. Chiriac, N. Lupu, O. Dragos, C. Gherasim, M. Grigoras, G. Ababei  
[Single and multilayered magnetic nanowires preparation and characterization](#)  
A 3-a Conferinta Națională de Fizică Aplicată - CNFA 2008, 21-22 Nov., 2008, Iași, România
27. S. Mohorianu, M. Lozovan, F-V. Rusu  
[Computational Experiment in the Investigation of New Magnetic Materials](#)  
The 3<sup>rd</sup> National Conference of Applied Physics - CNFA 2008, 21-22 November, 2008, Iasi, Romania.
28. M. Urse, H. Chiriac, M. Grigoras  
[Influence of thickness and structural properties of W layer on magnetoresistive response of NiFe/W/CoFe/FeMn spin valves](#)  
International Conference "Materials for Electrical Engineering" MmdE-ROMSC, 16-18 June, 2008, Romania
29. M. Urse, M. Grigoras, N. Lupu, H. Chiriac  
[Influence of tunnel barrier and additions on the TMR response in MTJs with amorphous magnetic electrodes](#)  
International Conference "Materials for Electrical Engineering" MmdE-ROMSC, 16-18 June, 2008, Romania
30. H. Chiriac, P. Pascariu, C. Gherasim, M. Grigoras, G. Ababei, N. Lupu  
[Magnetic properties of single and multilayered magnetic nanowires](#)  
International Conference "Materials for Electrical Engineering" MmdE-ROMSC, 16-18 June, 2008, Romania
31. F.O. Caltun, I. Dumitru, L. Boutiuc, G. Rao, K. S. Ananda, K. Rao, P. B. Rao, M. Feder, H. Chiriac, N. Lupu, V. Vilceanu  
[Silicon substituted cobalt ferrites for sensors](#)  
International Conference "Materials for Electrical Engineering" MmdE-ROMSC, 16-18 June, 2008, Romania
32. D.D. Herea, H. Chiriac  
[One-step preparation and surface activation of magnetic iron oxide nanoparticles for bio-medical applications](#)  
8<sup>th</sup> International Conference of Advanced Materials, ICPAM-8, 4-7 June, 2008, Iasi, Romania
33. H. Chiriac, M. Grigoras, N. Lupu and M. Urse  
[The influence of the thickness layers and annealing conditions on the hard magnetic properties of nanocomposite \[NdFeBNbCu/FeBSi\]<sub>n</sub> films](#)  
8<sup>th</sup> International Conference of Advanced Materials, ICPAM-8, 4-7 June, 2008, Iasi, Romania
34. H. Chiriac, D.D. Herea, V. Melnig, L. Obreja, A. Manole  
[Physical-chemical characterization of magnetite nanoparticles obtained by electrochemical synthesis](#)  
8<sup>th</sup> International Conference of Advanced Materials, ICPAM-8, 4-7 June, 2008, Iasi, Romania
35. P. Pascariu, H. Chiriac, N. Lupu, S. Corodeanu  
[Magnetization and magnetotransport processes in soft magnetic NiFe/Cu multitayered thin films](#)  
8<sup>th</sup> International Conference of Advanced Materials, ICPAM-8, 4-7 June, 2008, Iasi, Romania
36. G. Ababei, H. Chiriac  
[Surface magnetic anisotropy investigation in GCAW with different dimensions by FMR measurements](#)

- 8<sup>th</sup> International Conference of Advanced Materials, ICPAM-8, 4-7 June, 2008, Iasi, Romania
37. S.-H. Mohorianu, F.-V. Rusu, M. Lozovan  
On some Perovskites type magnetic materials properties and structure correlation using computer simulation methods  
8<sup>th</sup> International Conference of Advanced Materials, ICPAM-8, 4-7 June, 2008, Iasi, Romania
38. C. Mîță, M. L. Craus, M. Lozovan, N. Cornei  
Synthesis, structural and magnetic properties of some V doped manganites  
8<sup>th</sup> International Conference of Advanced Materials, ICPAM-8, 4-7 June, 2008, Iasi, Romania
39. M.-L. Craus, N. Cornei, M. Lozovan, O. Mentré, C. Mita  
Correlation between spin-state charge of Co and magnetoresistance in  $La_{0.54}Ho_{0.11}Sr_{0.35}Mn_{1-x}Co_xO_3$  manganites  
8<sup>th</sup> International Conference of Advanced Materials, ICPAM-8, 4-7 June, 2008, Iasi, Romania
40. V. Melnig, H. Chiriac, V. Tura, D.D. Herea, C. Gheorghies, C.R. Ionescu  
Nanoparticule functionalizate in conditii blande cu aplicatii in ingineria tisulara, Biomaterialele si Ingineria Tisulara  
Workshop Series on Biomaterials Science, 26 – 29 June, 2008, Sucevita, Romania
41. D.D. Herea, H. Chiriac  
Amperometric sensor based on a magnetic electrode for biomedical applications  
The 3<sup>rd</sup> National Conference of Applied Physics, 21-22 November, 2008, Iasi, Romania
42. N. Lupu, H. Chiriac, S. Corodeanu, A.R. Yavari  
Magnetization processes in novel  $[Fe_xCo_{1-x}]_{75}Si_5B_{20}Nb_4$  amorphous and nanocrystalline INROWASP wires  
International Workshop on Magnetic Wires - IWMW-2008, 8-10 May, Spain
43. H. Chiriac, N. Lupu, V. Dobrea, S. Corodeanu  
Mechanical behavior of magnetic Fe-based and Co-based amorphous wires and microwires  
International Workshop on Magnetic Wires -IWMW-2008, 8-10 May, Spain
44. H. Chiriac, T.-A. Ovari, G. Ababej  
Tailoring the surface magnetic anisotropy in amorphous microwires by controlling the parameters of the interdomain wall  
International Workshop on Magnetic Wires -IWMW-2008, 8-10 May, Spain
45. D. Sossmeier, F. Beck, H. Chiriac, F. Schelp, M. Carara  
Spin relaxation and domain dynamics in glass-coated microwires  
International Workshop on Magnetic Wires -IWMW-2008, 8-10 May, Spain
46. V. Dobrea, M. Lozovan, M. L. Craus  
Transition temperatures studies of CuAlNi SMA  
4<sup>th</sup> National Conference on Applied Physics, Galati, September 25-26, 2008
47. S. Mohorianu, M. Lozovan, F-V. Rusu  
New aspects on some nanomagnetic materials design by ANN practice development  
4<sup>th</sup> National Conference on Applied Physics, Galati, September 25-26, 2008
48. M.L. Craus, V. Simkin, M. Balasoiu, M. Lozovan, V. Dobrea  
Transport behavior of some doped with Fe and Co manganites at low temperature  
The 14<sup>th</sup> Conference “Progress in Cryogenics and Isotopes Separation”, 29-31 October 2008, Calimanesti-Caciulata, Valcea

49. M. Lozovan, H. Chiriac, V. Dobrea, M-L. Craus, S. Mohorianu  
[Galvanomagnetic effects of new CoFeSiBMo alloy](#)  
 The 3<sup>rd</sup> National Conference of Applied Physics, 21-22 Nov., 2008, Iasi, Romania
50. M.L. Craus, N. Cornei, M. Lozovan, V. Dobrea  
[Structural analysis, magnetic properties and transport characteristics of La<sub>0.54</sub>Sm<sub>0.11</sub>Ca<sub>0.35-x</sub>Na<sub>x</sub>Mn<sub>0.97</sub>Cu<sub>0.03</sub>O<sub>3</sub> manganites](#)  
 The 3<sup>rd</sup> National Conference of Applied Physics, 21-22 Nov., 2008, Iasi, Romania
51. M. Lozovan, V. Dobrea, S. Velicu, P. Corabieru, M. Iliescu, A. Corabieru, D-D. Vasilescu  
[Linear and angular displacement electromagnetic sensors](#)  
 1<sup>st</sup> WSEAS International Conference on SENSORS and SIGNALS (SENSIG '08), Nov. 7 - 9, 2008, Bucharest
52. H. Chiriac, A. E. Moga, C. Gherasim, N. Lupu  
[Preparation and magnetic properties of Co-B, Ni-B and Co-Ni-B nanoparticles](#)  
 15<sup>th</sup> International Symposium on Metastable, Amorphous and Nanostructured Materials – ISMANAM, Buenos Aires, Argentina, 6<sup>th</sup> – 10<sup>th</sup> July, 2008.
53. N. Lupu, H. Chiriac, M. Gaburici  
[Synthesis and characterization of nanostructured anionic clays with induced magnetic properties for drug delivery](#)  
 15 th International Symposium on Metastable, Amorphous and Nanostructured Materials- ISMANAM, 6-10 Julie 2008, Buenos Aires, Argentina
54. D.D. Herea, H. Chirac, S. Corodeanu  
[Amorphous electrode-based amperometric biosensor](#)  
 15<sup>th</sup> International Symposium on Metastable, Amorphous and Nanostructured Materials – ISMANAM, 6 – 10 July, 2008, Buenos Aires, Argentina
55. H. Chiriac, S. Oancea, S. Padureanu, M. Gaburici  
[On the effects of some mesoporous clays on plant growth](#)  
 ESNA, 27-31 August, 2008, Cracovia, Poland
56. H. Chiriac, M. Gaburici, N. Lupu  
[Nanostructured anionic clays with induced magnetic properties for drug delivery](#)  
 The 5<sup>th</sup> Conference on Condensed Matter Physics, 16-18 July 2008, Timisoara
57. H. Chiriac, S. Oancea, M. Gaburici, N. Lupu  
[Layered double hydroxide \(LDH\) as potential plant growth stimulator](#)  
 INTERACADEMIA Symposium, 15-18 September, 2008, Pecs, Hungary
58. H. Chiriac, S. Oancea, M. Gaburici, N. Lupu  
[Controlled release of pesticides intercalated in LDH and cereal plant growth](#)  
 Simpozionul “Agricultura durabilă în contextul schimbărilor de mediu”, 16-18 octombrie, 2008, Iasi, Romania
59. N. Cornei, M.L. Craus, C.Mita, M.Lozovan  
[Studies of structural and magnetic properties of Na doped La<sub>0.54</sub>\(Ho,Sm\)<sub>0.11</sub>Ca<sub>0.35-x</sub>Na<sub>x</sub>Mn<sub>0.97</sub>Cu<sub>0.03</sub>O<sub>3</sub> manganites](#)  
 Simpozionul “Agricultura durabilă în contextul schimbărilor de mediu”, 16-18 octombrie 2008, Iasi, Romania
60. M.-L. Craus, N. Cornei , M. Lozovan  
[Influence of Mn substitution with Co or Fe on transport mechanisms in some manganites](#)  
 9<sup>th</sup> International Balkan Workshop on Applied Physics IBWAP 2008, 7-9 July, 2008, Constanta, Romania
61. M.-L. Craus, M. Lozovan, N. Cornei  
[Correlation between average radius of A places and magnetic/crystalline structure of La<sub>0.54</sub>\(Sm/Nd\)<sub>0.11</sub>Ca<sub>0.35</sub>Mn<sub>1-x</sub>Cu<sub>x</sub>O<sub>3</sub> manganites](#)

- 9<sup>th</sup> International Balkan Workshop on Applied Physics IBWAP 2008, 7-9 July, 2008, Constanta, Romania
62. M. Balasoiu, M.-L. Craus, E. Anitas, R. Erhan, A. Kuklin, A. Islamov, Y. Kovalev, A. Ivankov, M. Lozovan, V. Tripadus, D. Savu, S. Savu, C. Petrescu, I. Bica  
[Physical modifications induced in elastomers by magnetic particles doping](#)  
 9<sup>th</sup> International Balkan Workshop on Applied Physics IBWAP 2008, 7-9 July, 2008, Constanta, Romania
63. S. Mohorianu, F. Rusu, M. Lozovan  
[Advanced knowledge – based computer simulation methods for the nanomagnetic materials investigation](#)  
 9<sup>th</sup> International Balkan Workshop on Applied Physics IBWAP 2008, 7-9 July, 2008, Constanta, Romania
64. V. Dobrea, M. Lozovan  
[CuAlNi shape memory alloy for thermostatic actuator device](#)  
 9<sup>th</sup> International Balkan Workshop on Applied Physics IBWAP 2008, 7-9 July, 2008, Constanta, Romania
65. M. Lozovan, H. Chiriac, Maria Neagu, S. Mohorianu, V. Dobrea  
[Hall effect and magnetoresistance of Co<sub>68.25-x</sub>Fe<sub>4.5</sub>Si<sub>12.25</sub>B<sub>15</sub>Mo<sub>x</sub> alloys](#)  
 9<sup>th</sup> International Balkan Workshop on Applied Physics IBWAP 2008, 7-9 July, 2008, Constanta, Romania
66. M.-L. Craus, N. Cornei, M. Lozovan, A. Ivankov, A. Islamov  
[Transport mechanisms in La<sub>0.54</sub>Ho<sub>0.11</sub>Ca<sub>0.35</sub>MnO<sub>3</sub> manganites doped with Co](#)  
 22<sup>nd</sup> General Conference of the Condensed Matter Division of the European Physical Society, 25<sup>th</sup> to 29<sup>th</sup> August, 2008, Rome, Italy
67. M. Balasoiu, M.-L. Craus, V. Haramus, J. Plestil, A. Kuklin, R. Erhan, E.M. Anita, A. Schreyer, M. Lozovan, V. Tripadus, I. Bica  
[Magnetic microstructure of magnetite doped elastomers investigated by SANS and SAXS](#)  
 22<sup>nd</sup> General Conference of the Condensed Matter Division of the European Physical Society, 25<sup>th</sup> to 29<sup>th</sup> August, 2008, Rome, Italy
68. D. Luca, M.-L. Craus, M. Lozovan, C. Mita, N. Cornei, N. Cimpoesu  
[Method and experimental stand for testing a magnetoresistive sensor](#)  
 22<sup>nd</sup> General Conference of the Condensed Matter Division of the European Physical Society, 25<sup>th</sup> to 29<sup>th</sup> August, 2008, Rome, Italy
69. C. Mita, M.-L. Craus, N. Cornei, M. Lozovan  
[Effect of lanthanide cations on the structural, magnetic and transport properties of Cu doped manganites](#)  
 22<sup>nd</sup> General Conference of the Condensed Matter Division of the European Physical Society, 25<sup>th</sup> to 29<sup>th</sup> August, 2008, Rome, Italy
70. N. Cornei, M.-L. Craus, C. Mita, M. Lozovan, M. Balasoiu  
[Iron influence on magnetic/crystalline structure and transport properties of La<sub>0.54</sub>Ho<sub>0.11</sub>Sr<sub>0.35</sub>Mn<sub>1-x</sub>Fe<sub>x</sub>O<sub>3</sub>](#)  
 The 3<sup>rd</sup> Moscow International Symposium on Magnetism (MISM2008), June 20-25, 2008, Moscow, Russia
71. M.-L. Craus, N. Cornei, M. Lozovan, M. Balasoiu  
[Magnetoresistance of La<sub>0.54</sub>Ho<sub>0.11</sub>\(Sr/Ca\)<sub>0.35-x</sub>\(K/Na\)<sub>x</sub>MnO<sub>3</sub> manganites](#)  
 The 3<sup>rd</sup> Moscow International Symposium on Magnetism (MISM2008), June 20-25, 2008, Moscow, Russia
72. M. Balasoiu, M.L. Craus, E.M. Anita, R. Erhan, A.I. Kuklin, A.Kh. Islamov, Yu.S. Kovalev, A.I. Ivankov, M. Lozovan, C. Muresan, V. Tripadus, I. Bica

## Microstructure of magnetite doped elastomers investigated by SAXS

The 3<sup>rd</sup> Moscow International Symposium on Magnetism (MISM2008), June 20-25, 2008, Moscow, Russia

73. S. Mohorianu, I. Mohorianu, F.V. Rusu, M. Lozovan  
Magnetic nanomaterials modelling and design using classification methods: from ANN to SVM  
10<sup>th</sup> Granada Seminar on Computational and Statistical Physics: Modeling and Simulation of New Materials, September 15-19, 2008, Granada – Spain
74. D. Luca, M.L. Craus, M. Lozovan, N. Cornei, C. Mita, G. Paicu  
Magnetic/temperature sensors and their electrical transport properties  
4<sup>th</sup> International Conference "Advanced Topics in Optoelectronics, Microelectronics and Nanotechnologies", 31 August - 2 September, 2008, Constanta, Romania
75. D. Luca, C. Fosalau, M.L. Craus, C. Mita, N. Cornei, M. Lozovan  
The La<sub>0.54</sub>Sm<sub>0.11</sub>Ca<sub>0.35</sub>MnO<sub>3</sub> perovskites doped with Cu for the magnetoresistive sensor  
4<sup>th</sup> International Conference "Advanced Topics in Optoelectronics, Microelectronics and Nanotechnologies" 31 August - 2 September, 2008, Constanta, Romania
76. H. Chiriac, M. Țibu  
The Influence of Annealing on the Response of Amorphous Wires Based Magneto-Inductive Sensor for Nondestructive Control  
Sesiunea Științifica "Cercetare de excelentă în științe de bază și socio-economice", 16 Septembrie, 2008, UAIC Iasi, Romania
77. H. Chiriac, P. Pascariu, O. Dragos, S. Krimpalis, G. Ababei, N. Lupu  
DC and AC magnetic and magneto-transport properties of single and multilayered electrodeposited nanowires  
Magnetic Single Nano-Object Workshop and School (M-Snows), 23-28 November, 2008, France
78. N. Lupu, H. Chiriac, P. Pascariu, O. Dragos, C. Gherasim, M. Grigoras, G. Ababei, T.A. Ovari  
Single and multilayered magnetic nanowires (for SPINTRONICS) - Preparation and characterization  
Spinswitch Workshop-Spin Momentum Transfer, 4 September, 2008, Poland
79. H. Chiriac, P. Pascariu, O. Dragos, C. Gherasim, M. Grigoras, G. Ababei, N. Lupu  
Nanofire magnetice simple și multistrat - Preparare și caracterizare  
Conferinta "Diaspora în Cercetarea științifică românească", septembrie, 2008, Romania
80. G. Ababei, H. Chiriac  
Surface magnetic anisotropy investigation in GCAW with different dimensions by ferromagnetic resonance measurements  
The International Conference on Fundamental and Applied Research in Physics-FARPhys2008, 23-26 October, 2008, Iasi
81. H. Chiriac, G. Stoian, M. Lostun  
Magnetorheological fluids based on amorphous magnetic microparticles  
11<sup>th</sup> International Conference on Electrorheological Fluids and Magnetorheological Suspensions, 25<sup>th</sup> - 29<sup>th</sup> August, 2008, Dresden, Germany
82. H. Chiriac, P. Pascariu, C. Gherasim, M. Grigoras, G. Ababei, N. Lupu  
Magnetic and magnetotransport properties of single and multilayered magnetic nanowires  
6<sup>th</sup> International Workshop on Electrodeposited – EDNANO-6, 27-29 Nov., 2008, Berndorf, Austria
83. N. Lupu, H. Chiriac, P. Pascariu

## *Electrochemical deposition of FeGa/NiFe and FeGa/CoFeB magnetic multilayered films and nanowire arrays*

6<sup>th</sup> International Workshop on Electrodeposited – EDNANO-6, 27-29 Nov., 2008, Berndorf, Austria

84. O. Dragos, H. Chiriac

## *Influence of anodisation conditions on the characteristics of alumina membranes*

6<sup>th</sup> International Workshop on Electrodeposited – EDNANO-6, 27-29 Nov., 2008, Berndorf, Austria

85. H. Chiriac

## *Sensors and actuators based on magnetic wires and nanowires*

Magnetic Measurements, 22-24 September, 2008, Budapest, Hungary

86. H. Chiriac

## *Microstructure and magnetic properties evolution of multilayer Ta/INdFeB/MoCu<sub>x</sub>n/Ta Thin Films*

Workshop on Rare Earth Permanent Magnets and Applications – REPM'08, Crete – Greece, 8-10 September, 2008

87. H. Chiriac

## *Amorphous/nanocrystalline soft magnets*

Research Trends in Novel Magnets for Electromagnetic Applications, Santorini, 3-7 September 2008

88. R. Grimberg, A. Savin, R. Steigmann, A. Bruma, S. Leitoiu

## *Nondestructive evaluation of some medical prosthesis components made from synthesized zirconium oxides using US spectroscopy*

The 9<sup>th</sup> Biennial ASME Conference on Engineering Systems Design and Analysis (ESDA 2008), 7 to 9 July 2008, Haifa, Israel, International ASME journal, September 2008 ISBN 0-7918-3827-7

89. P. Barsanescu, R. Grimberg, P. Carlescu

## *Generation of residual stresses in composites*

The 9<sup>th</sup> Biennial ASME Conference on Engineering Systems Design and Analysis (ESDA 2008), 7 to 9 July 2008, Haifa, Israel, International ASME journal, September 2008 ISBN 0-7918-3827-7

90. R. Grimberg, A. Savin, S. C.Chan, R. Steigmann, L. Udupa, S.S. Udupa

## *Noninvasive electromagnetic evaluation of Björk-Shiley heart valves: lifetime prediction*

Proceedings of the 9<sup>th</sup> Biennial ASME Conference on Engineering Systems Design and Analysis (ESDA 2008), July 7-9, 2008, Haifa, Israel, International ASME journal September 2008 ISBN 0-7918-3827-7

91. M.D. Stanciu, I. Curtu, C. Itu, A. Savin

## *Researches concerning to the acoustic ligno-cellulose plates*

The 12<sup>th</sup> International Research/Expert Conference "Trends in the Development of Machinery and Associated Technology" TMT 2008, Istanbul Turkey, 26-30 August 2008, to be published in Journal of Achievements in Materials and Manufacturing Engineering.

92. R. Grimberg, I. Curtu, A. Savin, R. Steigmann, A. Bruma

## *Evaluation of desbonding at stratified glare/polyurethane foam composite*

The 2<sup>nd</sup> International Conference Advanced Composite Materials Engineering, "COMAT 2008", Brasov, Romania, 9 – 11 October, 2008

93. A. Savin, R. Steigmann, A. Andreescu, B. Serghiac, A. Bruma, R. Grimberg

## *Evaluation of honeycomb composite materials using electromagnetic methods*

The 2<sup>nd</sup> International Conference Advanced Composite Materials Engineering,"COMAT 2008", Brasov, Romania , 9 – 11 October, 2008

94. R. Grimberg, A. Savin, R. Steigmann, A. Bruma  
[Computing of scattered electromagnetic field for a strip gratings](#)  
The 13<sup>th</sup> International IGTE Symposium on Numerical Field Calculation in Electrical Engineering, Graz, Austria September 21-24, 2008
95. R. Grimberg, R. Steigmann, A. Bruma, A. Savin  
[Image reconstruction of buried objects using a new electromagnetic sensors array](#)  
The 13<sup>th</sup> International IGTE Symposium on Numerical Field Calculation in Electrical, Graz, Austria, September 21 -24, 2008
96. R. Grimberg, R. Steigmann, A. Savin, A. Bruma, N. Iftimie  
[Non-destructive evaluation of carbon epoxy composites using ultrasound phased array](#)  
The 8<sup>th</sup> International Conference of Technology and Quality for Sustained Development TQSD'08, October 31, 2008 Bucharest, Romania
97. R. Grimberg, A. Savin, R. Steigmann, P. Barsanescu, D. Leon, D. Rosu  
[Monitoring complex structures from carbon epoxy composites using Fibber Bragg gratings](#)  
The 8<sup>th</sup> International Conference of Technology and Quality for Sustained Development TQSD' 08 October, 2008 Bucharest, Romania
98. P. Barsanescu, F. Mocanu, B. Leitoiu, R. Grimberg, A. Savin  
[Measurement errors of strain gages mounted on a composite plate](#)  
The 15<sup>th</sup> International Science and Engineering Conference „Machine-Building and Techosphere of the XXI Century”, Sevastopol, Sept. 15-20, 2008
99. I. Curtu, M. Stanciu, C. Itu, R. Grimberg  
[Numerical modeling of the acoustic plates as constituents of stringed instrument](#)  
The 6<sup>th</sup> International Conference of DAAAM Baltic Industrial Engineering, 24-26 April, 2008, Tallinn, Estonia, ISBN 978-9985-59-783-5
100. I. Curtu, M. Stanciu, A. Savin  
[The propagation of forced vibrations in coupled plates of guitars](#)  
The 19<sup>th</sup> DAAAM International Symposium "Intelligent Manufacturing & Automation", Trnava, Slovakia, 22-25th October, 2008
101. R. Grimberg, A. Savin, R. Steigmann, P. Barsanescu, I. Curtu, B. Leitoiu  
[Monitoring the structures from carbon epoxy composite using fiber Bragg gratings](#)  
The 19<sup>th</sup> DAAAM International Symposium "Intelligent Manufacturing & Automation", Trnava, Slovakia, 22-25th October, 2008
102. R. Grimberg, A. Savin, A. Bruma  
[Determination of soil condition using electromagnetic sensors array](#)  
Eurosoil 2008, Soil - Society - Environment Congress, 25 – 29 August, 2008, Vienna, Austria
103. M. Stanciu, A. Bruma, I. Curtu, A. Savin  
[Cercetari experimentale privind comportarea la testul Charpy a unor materiale compozite cu matrice polimerica ranforstate cu fibre de sticla](#)  
Al XV-lea Simpozion anual al AROEND, Mamaia, 17-20 iunie 2008
104. R. Grimberg, P. Barsanescu, B. Serghiac, I. Curtu  
[Monitorizarea degradarilor in materiale compozite nanostructurate ranforstate cu fibre de carbon](#)  
Al XV-lea Simpozion anual al AROEND, Mamaia, 17-20 iunie 2008
105. A. Andreescu, P. Vizureanu, R. Grimberg, N. Iftimie, D. Salavastru  
[Model de control al temperaturii unui sistem termic printr-un controller de tip on-off](#)  
Al XV-lea Simpozion anual al AROEND, Mamaia, 17-20 iunie 2008
106. R. Grimberg, E. Mamut, A. Savin, S. Leitoiu, C. Brotan, R. Steigmann, A. Bruma

## Elaborarea de solutii asupra comportarii compositelor ranforstate cu nanotuburi de carbon-cauciuc (CNTs) in vederea imbunataririi proprietatilor lor

Al XV-lea Simpozion anual al AROEND, Mamaia, 17-20 iunie 2008

107. A. Andreescu, A. Savin, R. Steigmann, N. Iftimie, E. Mamut, R. Grimberg  
Model for thermal conductivity of composites with carbon nanotubes  
Al XVII lea Simpozion anual de comunicari stiintifice a Comisiei de Analiza Termica si Calorimetrie a Academiei Romane, Bucuresti, Februarie 2008
108. R. Grimberg, S.C. Chan, A. Savin, R. Steigmann, L. Udma, S.S.Udma  
An electromagnetic method for evaluation of fatigue and for detection of damage at Bjork-Shiley convexo-concave prosthetic heart valve  
The 13th International Workshop on Electromagnetic Nondestructive Evaluation (ENDE2008), Seoul, Korea, June 10<sup>th</sup>-12<sup>th</sup>, 2008
109. R. Grimberg, M.C. Ruch, A. Savin, R. Steigmann, N. Iftimie, A. Bruma  
Electromagnetic evaluation of the concentration of hydrogen diffused in zirconium alloys used in PHWR  
The 13th International Workshop on Electromagnetic Nondestructive Evaluation (ENDE2008), Seoul, Korea, June 10<sup>th</sup>-12<sup>th</sup>, 2008
110. R. Grimberg, A. Savin, R. Steigmann, B. Serghiac, N. Iftimie, P. Barsanescu  
Electromagnetic evaluation of honeycomb composite materials  
The 13th International Workshop on Electromagnetic Nondestructive Evaluation (ENDE2008), Seoul, Korea, June 10th -12th, 2008.
111. R. Grimberg, L. Udma, A. Savin, R. Steigmann, A. Bruma, S.S. Udma  
Electromagnetic evaluation of soil condition  
The 13th International Workshop on Electromagnetic Nondestructive Evaluation (ENDE2008), Seoul, Korea, June 10th - 12th, 2008
112. M.D. Stanciu, R. Grimberg, I. Curtu  
Correlation between the plates' vibrations from the guitar's structure and the physical, mechanical and elastically characteristics of composite materials  
The 9<sup>th</sup> WSEAS International Conference on acoustics & Musics: Theory and Applications, AMTA 2008, June 22-26, 2008
113. V. Bădescu, L.E. Udrea, O. Rotariu, R. Bădescu, G. Apreutesei  
On encapsulating and delivery of polyphenols in superparamagnetic polymer nanospheres  
Le Cinquième Colloque Franco – Roumain de Chimie Appliquée, 25 - 29 Juin 2008, Université de Bacău, Roumanie
114. G. Apreutesei, R. Bădescu, O. Rotariu, L.E. Udrea, V. Bădescu  
On using of nano-sized rod-like magnetite particles for determination of biological binding reactions  
Le Cinquième Colloque Franco – Roumain de Chimie Appliquée, 25 - 29 Juin 2008, Université de Bacău, Roumanie
115. O. Rotariu, V. Bădescu, L.E. Udrea, R. Bădescu, G. Apreutesei  
On continuous generation of superparamagnetic microdrops in a flow-focusing microfluidic system  
9<sup>th</sup> International Balkan Workshop on Applied Physics, 7-9 July 2008, Ovidius University, Constanta
116. V. Bădescu, L.E. Udrea, O. Rotariu, R. Bădescu, G. Apreutesei  
On delivery kinetics of polyphenols from superparamagnetic polymer nanospheres  
9<sup>th</sup> International Balkan Workshop on Applied Physics, 7-9 iulie 2008, Universitatea Ovidius, Constanta
117. O. Rotariu, L.E. Udrea, V. Bădescu, R. Bădescu, G. Apreutesei

## Magnetic capturing and guiding of magnetite-polyvinyl alcohol ferrofluids for targeted drug delivery

The 11<sup>th</sup> Conference on Electrorheological Fluids and Magnetorheological Suspensions", Dresden, Germany, August 25-29, 2008

118. V. Bădescu, L. E. Udrea, O. Rotariu, R. Bădescu, G. Apreutesei  
Relaxation of cotton-mouton rotation in ferrofluids containing rod-like magnetite particles  
The 11<sup>th</sup> Conference on Electrorheological Fluids and Magnetorheological Suspensions", Dresden, Germany, August 25-29, 2008
119. V. Bădescu, L.E. Udrea, O. Rotariu, R. Bădescu, G. Apreutesei  
Using of superparamagnetic polymer nanospheres for controled delivery of polyphenols  
Magnetic Measurements Conference 2008, Budapest, Hungary Sept. 21–24, 2008
120. G. Apreutesei, R. Bădescu, O. Rotariu, L.E. Udrea, V. Bădescu  
Using of magneto-optical relaxation of ferrofluids for monitoring biological binding reactions  
Magnetic Measurements Conference 2008, Budapest, Hungary Sept. 21 – 24, 2008
121. V. Bădescu, L.E. Udrea, O. Rotariu, R. Bădescu, G. Apreutesei  
On diffusion and kinetic behavior of polyphenols in superparamagnetic polymer nanospheres  
Al IX-lea Simpozion cu Participare Internationala de Chimia Coloizilor si Suprafetelor, 29 - 31 Mai 2008, Universitatea "Dunărea de Jos", Galați.
122. G. Apreutesei, R. Bădescu, O. Rotariu, L.E. Udrea, V. Bădescu  
Field-induced magnetic birefringence measurements for the determination of antibody-antigen reactions  
Al IX-lea Simpozion cu Participare Internationala de Chimia Coloizilor si Suprafetelor, 29 - 31 Mai 2008, Universitatea "Dunărea de Jos", Galati.
123. V. Bădescu, L.E. Udrea, O. Rotariu, R. Bădescu, G. Apreutesei  
Ferrofluids magnetization relaxometry applied in cell biology and biomedicine  
4<sup>th</sup> National Conference on Applied Physics – Dunărea de Jos University, Galati, September 25-26, 2008
124. V. Bădescu, L.E. Udrea, O. Rotariu, R. Bădescu, G. Apreutesei  
Ferrofluids optical anisotropy relaxometry applied in cell biology and biomedicine  
4<sup>th</sup> National Conference on Applied Physics – Dunărea de Jos University, Galati, September 25-26, 2008
125. L.E. Udrea, V. Bădescu, O. Rotariu, R. Bădescu, G. Apreutesei  
Magnetic separation of nanospheres from a simulated biological fluid  
3<sup>rd</sup> National Conference of Applied Physics – Iasi, November 21-22, 2008.
126. V. Bădescu, L.E. Udrea, O. Rotariu, R. Bădescu, G. Apreutesei  
An analysis of a high gradient magnetic separator for extracorporeal blood purification  
3<sup>rd</sup> National Conference of Applied Physics – Iasi, November 21-22, 2008
127. O. Rotariu, L.E. Udrea, V. Bădescu, R. Bădescu, G. Apreutesei  
Magnetic capturing and guiding of magnetite-polyvinyl alcohol ferrofluids for targeted drug delivery  
3<sup>rd</sup> National Conference of Applied Physics – Iasi, November 21-22, 2008
128. F. Tudorache, N. Rezlescu, E. Rezlescu, C. Doroftei, P.D. Popa  
Polycrystalline spinel ferrites as humidity sensor for environment humidity monitoring  
8<sup>th</sup> International Conference on Physics of Advanced Materials, Iasi, June 04-07, 2008
129. C. Doroftei, E. Rezlescu, N. Rezlescu, F. Tudorache, P. D. Popa  
Gas sensitivity of nanocrystalline magnesium ferrite prepared by self- combustion method  
8<sup>th</sup> International Conference on Physics of Advanced Materials, Iasi, June 04-07, 2008

130. N. Iftimie, L. Vlad, F. Prihor, M. Poiana, P. Pascariu, F. Iacomi, N. Rezlescu  
Good sensitive mixed sensors for ethanol vapour detection  
8<sup>th</sup> International Conference on Physics of Advanced Materials, Iasi, June 04-07, 2008
131. C. Doroftei, E. Rezlescu, N. Rezlescu, F. Tudorache, P. D. Popa  
Strontium ferrite used in magnetic recording prepared by self-combustion method  
9<sup>th</sup> International Balkan Workshop on Applied Physics, Constanta, July 7-9, 2008
132. F. Tudorache, N. Rezlescu, E. Rezlescu, C. Doroftei, P. D. Popa  
Polycrystalline spinel ferrites with nanometric structure for environment humidity monitoring  
9<sup>th</sup> International Balkan Workshop on Applied Physics, Constanta, July 7-9, 2008
133. N. Rezlescu, C. Doroftei, E. Rezlescu, P.D.Popa  
Role of samadium on the microstructure and gas sensing properties of lithiuym ferrite  
The First International Conference on Rare Earth Materials (REMAT), Karpacz, Poland, 21-26 September, 2008
134. E. Rezlescu, N. Rezlescu, F. Tudorache, P.D. Popa  
Lanthanum and Gallium substitutions in a spinel ferrite  
The First International Conference on Rare Earth Materials (REMAT), Karpacz, Poland, 21-26 September, 2008
135. E. Rezlescu, C. Doroftei, P.D. Popa, S. Istrate, D. Condurache, N. Rezlescu  
Gamma-Fe<sub>2</sub>O<sub>3</sub> and gamma-Fe<sub>2</sub>O<sub>3</sub>-TiO<sub>2</sub> ceramic thick films as gas sensor  
Sixth International Conference on Inorganic Materials, Dresden, Germany, 28-30 September, 2008
136. N. Rezlescu, E. Rezlescu, F. Tudorache, P.D. Popa, D. Condurache, S. Istrate  
Gas sensing properties of some spinel ferrite nanopowders  
Sixth International Conference on Inorganic Materials, Dresden, Germany, 28-30 September, 2008
137. N. Rezlescu, E. Rezlescu, P.D. Popa  
Influence of PbO as sintering aid on the properties of NiZn and LiZn ferrites  
Sixth International Conference on Inorganic Materials, Dresden, Germany, 28-30 September, 2008.

**Cărți publicate la edituri din țară (4)**

1. M.-L. Craus, N. Cornei, M. Lozovan, V. Dobrea  
[Perovskiti magnetorezistivi - Sinteză, Proprietăți, Aplicații](#)  
Editura ALFA Iasi, 2008, ISBN 978-973-8953-64-2
2. M. Lozovan, V. Dobrea, M.-L. Craus, N. Cornei  
[Materiale avansate](#)  
Editura ALFA Iasi, 2008, ISBN(10)973-8953-63-4, ISBN(13)978-973-8953-63-5
3. L.C. Hanganu, M. Peptanariu, F. Pantilimonescu, G. Ianuș  
[Elemente de mecatronică pentru aplicații la echipamente textile](#)  
Editura Performantica, 2008, ISBN 978-973-730-519-0
4. L.R. Manea, M. Peptanariu, F. Munteanu, F. Pricop, F. Pantilimonescu, B. Plăteanu  
[Sistem computerizat de filtrare activat cu ultrasunete și controlat cu biosenzori pentru procese textile](#)  
Editura Performantica, 2008, ISBN 978-973-730-520-6

## **BREVETE DE INVENTIE**

### ***Brevete de inventie acordate: 4***

1. H. Chiriac, M. Urse, A.-E. Moga  
[Material compozit metal-dielectric și procedeu de preparare a acestuia](#)  
Hotărârea OSIM nr. 3/274 din 30.10.2008
2. H. Chiriac, M. Urse, A.-E. Moga  
[Material catalitic sub formă de benzi și procedeu de preparare și tratament al acestuia](#)  
Brevet nr. 122078 B1
3. H. Chiriac, M. Urse  
[Material magnetic compozit și procedeu de obținere al acestuia](#)  
Hotărârea OSIM Nr. 3/318 din 28.11.2008
4. P.D. Popa, N. Rezlescu, G. Iacob  
[Procedeu de preparare a pulberilor de ferită](#)  
Hotărârea OSIM Nr. 121 300 (2008)

### ***Cereri de brevete de inventie înregistrate: 8***

1. P.D. Popa, N. Rezlescu, E. Rezlescu, F. Tudorache, C. Doroftei  
[Senzor rezistiv de umiditate relativă pentru aer și gaze](#)  
Cerere de brevet nr. A/00278/2008
2. N. Farbaş, R. Grimberg, R. Cojocaru, R. Popovici  
[Sistem computerizat de examinare nedistructivă automată a unor componente inelare din materiale feromagnetice](#)  
Cerere de brevet nr. A/00394/2008
3. N. Lupu, M.C. Văleanu, H. Chiriac  
[Material magnetostrictiv policristalin în diferite forme masive și procedeu de obținere al acestuia](#)  
Cerere de brevet nr. A/00505/2008
4. V. Bădescu, L.E. Udrea  
[Procedeu pentru obținerea microcapsulelor compozite magnetice](#)  
Cerere de brevet nr. A/00630/2008
5. M.L. Craus, M. Lozovan, V. Dobrea, D. Luca, D.A. Gheorghiu, I. Fosalău, C. Mîță, N. Corneli  
[Senzor magnetorezistiv](#)  
Cerere de brevet nr. A/00720/2008
6. V. Dobrea, M. Lozovan, M.L. Craus, C. Baciu, D.D. Vasilescu, P. Corăbieru, A. Corăbieru  
[Dispozitiv de termostatare](#)  
Cerere de brevet nr. A/00721/2008
7. M. Peptanariu, F. Pantilimonescu  
[Expandor cu ultrasunete pentru instalatii de filtrare a apei](#)  
Cerere de brevet nr. A/00749/2008
8. N. Farbaş, R. Cojocaru, H. Chiriac, I. Popovici  
[Sistem automat de examinare nedistructivă a țevilor din plăci tubulare](#)  
Cerere de brevet nr. A/00727/2008

## **I. PRODUSE REZULTATE DIN ACTIVITATEA DE CERCETARE-DEZVOLTARE**

### **Prototipuri:**

- 1) [Senzor de control nedistructiv pe baza efectului magnetoimpedanță gigant \(GMI\) din fire magnetice amorse](#) (Contract CEEEX nr. 33/2005).
- 2) [Dispozitiv de conversie a energiei mecanice \(inclusiv a vibrațiilor\) în energie electrică, pe bază de materiale amorse magnetostrictive](#) (Contract CEEEX nr. 34/2005);
- 3) [Actuator hibrid pe bază de material magnetostrictiv și material piezoelectric](#) (Contract CEEEX nr. 34/2005);
- 4) [Motor liniar pe bază de material magnetostrictiv](#) (Contract CEEEX nr. 34/2005).

### **Produse omologate:**

- 1) [Echipament ultrasonic pentru procese textile "EUSPT – 01"](#) (Subcontract CEEEX nr. 205-3/2006)
- 2) [Echipament ultrasonic – EUS - 01F](#) (Subcontract CEEEX nr. 205-3/2006)
- 3) [Echipamente "SMMITEX 2-5"](#) (Subcontract CEEEX nr. 205-3/2006)
- 4) [Senzor de gaze pentru metan LPG și acetonă SG-01](#) (Contract 2-Cex 06-11-51/2006)
- 5) [Senzor de gaze pentru etanol, metanol și acetonă SG-02](#) (Contract 2-Cex 06-11-51/2006)
- 6) [Dispozitiv de termostatare cu actuator din aliaj cu memoria formeii](#) (Contract CEEEX nr. 92/2006).

## **II. MICROPRODUCTIE și SERVICII**

**INCDFT - IFT Iași** dispune de competență științifică și tehnologică pentru a livra produse și a asigura servicii tehnologice, rezultate ale cercetării, pentru instituții academice, institute de cercetări și industrie, și anume:

- proiectarea și realizarea de echipamente pentru prepararea de materiale amorse și nanostructurate, în special pentru beneficiari externi;
- livrarea de materiale cu structuri speciale pentru beneficiari din țară și străinătate.

Nr. crt.	Denumire produs/tehnologie	Beneficiari ai rezultatelor cercetării (unitate beneficiar, date de contact beneficiar)	Observații
1.	<b>Fire și microfire magnetice</b>		
	<b>1.1. Fire magnetice amorse sau nanocristaline conventionale</b>	<b>Thiagarajar College of Engineering</b> , Madurai, India Dr. Boyscast S. Baskar <b>Companie</b> din Germania, producătoare de senzori automotivi <b>Companie</b> din Elveția, producătoare de ceasuri <b>Companie multinatională</b> cu sediul în Norvegia, explorări resurse petroliere <b>Companie</b> din S.U.A., producătoare de senzori <b>SPAWAR Systems Center</b> , San Diego, S.U.A.	--
			Date de contact confidențiale, conform contractelor de confidențialitate semnate cu beneficiarii
	<b>1.2. Microfire magnetice amorse acoperite cu sticlă</b>	<b>Companie</b> din Suedia, producătoare de senzori <b>Halmstad University</b> , Suedia Prof. Bertil Svensson <b>École Polytechnique de Montréal</b> , Canada Prof. David Ménard	--
			--

## Valorificarea rezultatelor / Produse

		<b>The National University of Singapore</b> Prof. Xiaoping Liu	--
2.	<b>Materiale magnetice amorfă masivă</b>	<b>Companie</b> din S.U.A., producătoare de senzori și minitransformatoare	Date de contact confidențiale, conform contractelor de confidențialitate semnate cu beneficiarii
3.	<b>Materiale magnetostrictive policristaline</b>	<b>Centre for Materials Research</b> , Salford University, Marea Britanie Dr. Nigel Mellors	Benzi de FeGa și materiale masive pe bază de FeGa
		<b>University of Sheffield</b> , Sheffield, Marea Britanie Dr. Nicola Morley	Benzi de FeGa
4.	<b>Termostat cu actuator din aliaj cu memoria formei</b>	<b>I.T.R.D. PAŞCANI SRL</b> , Pașcani, România <b>S.C. ELSACO ELECTRONIC SRL</b> Botoșani, Romania <b>S.C. BADOTHERM AMC SA</b> Vaslui, România	Beneficiari interesați de produs
5.	<b>Echipament pentru producerea de pulberi magnetice amorfă</b> 	<b>IFW Dresden</b> , Dresden, Germania Dr. Mihai Stoica	Transfer de tehnologie
6.	<b>Instalație de preparare aliaje și instalație de preparare fire magnetice amorfă</b> 	<b>Companie</b> din S.U.A.	Date de contact confidențiale, conform contractului de confidențialitate semnat cu beneficiarul.

### **Laborator de încercări (analize) pentru materiale și dispozitive magnetice**

#### **Certificat de acreditare RENAR nr. LI 709/2008**

În cadrul laboratorului pot fi realizate următoarele tipuri de încercări (analize) autorizate:

- 1) Caracterizarea magnetică a materialelor sub formă de toruri.
- 2) Încercări pentru senzori magnetometrici.
- 3) Determinarea gradului de poluare electromagnetică.
- 4) Determinarea magnetostricțiunii de saturație pentru fire și benzi magnetice prin metoda „Small Angle Magnetization Rotation”.
- 5) Măsurarea magnetoimpedanței firelor amorfă la frecvențe înalte (100 kHz –3 GHz).
- 6) Determinarea caracteristicilor magnetice ale materialelor cu ajutorul magnetometrului cu probă vibrantă (VSM).
- 7) Caracterizarea dimensiunii nanoparticulelor cu tehnica Dynamic Light Scattering.
- 8) Determinarea factorului de cuplaj magnetoelastic prin „Metoda rezonanței”.
- 9) Analiza morfologică/topologică a materialelor prin microscopie electronică de baleiaj (SEM).
- 10) Caracterizarea comportării la frecvențe înalte a materialelor magnetice prin metoda rezonanței feromagnetice (FMR).

## Participare la Târguri și Expoziții

### Participare la acțiuni de prezentare și promovare a rezultatelor cercetării

#### **SALOANE NAȚIONALE ALE CERCETĂRII**

1) „SALONUL CERCETĂRII” și „Salonul INVENTIKA 2008”, 7-11 octombrie 2008, București  
Produse expuse:

- **Fire și microfire magnetice amorf și nanocristaline**
- **Materiale magnetostrictive multifuncționale** sub formă de benzi sau în diferite forme tridimensionale
- **Nanoargile anionice** (LDH) **funcționalizate** cu medicamente, enzime, pesticide sau stimulatori de creștere
- **Nanopulberi magnetice** pe bază de metale de tranziție și aliaje ale acestora
- **Nanofire** cu proprietăți magnetice și magnetorezistive
- **Biosenzor magnetic**
- **Senzor inductiv**
- **Dispozitiv încărcare acumulatori**

#### **SALOANE REGIONALE ALE CERCETĂRII**

1) „EXPOTEHNICA & INFOTEHNICA”, 20-23 noiembrie 2008, Bacău

Produse expuse:

- **Aparatură pentru evaluarea poluării electromagnetice**
- **Termostat cu actuator din aliaj cu memoria formei** pentru reglarea temperaturii apei menajere

#### **CARAVANA INOVĂRII 2008** (Piatra Neamț și Iași)

Produse promovate:

- **Noi materiale magnetostrictive** policristaline în diferite forme tridimensionale obținute prin solidificare rapidă
- **Nanoparticule magnetice** pe bază de metale de tranziție
- **Nanoargile anionice mezoporoase cu proprietăți magnetice induse**
- **Structuri cu tunelare dependentă de spin** (SDT) simetrice
- **Biosenzor magnetic** pentru detecția rapidă de biomolecule
- **EMF-GAUSSMETER** pentru evaluarea poluării electromagnetice
- **LABORATOR de încercări (analize) pentru materiale și dispozitive magnetice**

#### **SALOANE INTERNATIONALE**

1) Târgul Industrial Internațional HANNOVER MESSE, 21-25 aprilie 2008, Hanovra, Germania

Produse expuse:

- **Fire magnetice acoperite cu sticlă**

2) Al 4-lea SALON EUROPEAN al Cercetării și Inovării, 5 – 7 iunie 2008, Paris, Franța

Produse expuse:

- **Fire magnetice amorf și nanocristaline**

### COLABORĂRI NATIONALE SI INTERNATIONALE

#### A) PARTENERIATE NAȚIONALE

##### 1. INSTITUTE NAȚIONALE DE CERCETARE–DEZVOLTARE

- Institutul Național de Cercetare-Dezvoltare pentru Fizica Materialelor București
- Institutul Național de Cercetare-Dezvoltare pentru Inginerie Electrică ICPE-CA București
- Institutul Național de Cercetare-Dezvoltare pentru Electrochimie și Materie Condensată Timișoara
- Institutul Național de Cercetare-Dezvoltare pentru Fizica Laserilor, Plasmei și Radiației București
- Institutul Național de Cercetare Dezvoltare în Sudură și Încercări de Materiale (ISIM) Timișoara
- Institutul Național de Cercetare-Dezvoltare pentru Tehnologii Criogenice și Izotopice - ICSI Rm. Vâlcea
- Institutul Național de Inventică Iași
- Institutul Național de Cercetare-Dezvoltare pentru Tehnologii Izotopice și Moleculare Cluj-Napoca
- Institutul Național de Cercetare-Dezvoltare pentru Microtehnologie București
- Institutul Național de Cercetare-Dezvoltare Chimico-Farmaceutică București
- Institutul Național de Cercetare-Dezvoltare pentru Mecatronică și Tehnica Măsurării București
- Institutul Național de Cercetare Dezvoltare pentru Textile și Pielărie București

##### 2. INSTITUTE ALE ACADEMIEI ROMÂNE

- Institutul de Chimie Macromoleculară „Petru Poni” Iași
- Institutul de Chimie Fizică „Ilie Murgulescu” București
- Institutul de Biologie al Academiei Române
- Academia Română - Institutul de Informatică Teoretică Iași

##### 3. INSTITUȚII DE ÎNVĂȚĂMÂNT SUPERIOR

- Universitatea „Alexandru Ioan Cuza” Iași
- Universitatea Tehnică „Gheorghe Asachi” Iași
- Universitatea de Medicină și Farmacie "Grigore T. Popa" Iași
- Universitatea Politehnică București
- Universitatea „Ovidius” Constanța
- Universitatea de Medicină și Farmacie „Victor Babeș” Timișoara
- Universitatea Babeș-Bolyai Cluj Napoca
- Universitatea din București
- Universitatea de Științe Agricole și Medicină Veterinară „Ion Ionescu de la Brad” Iași
- Universitatea Politehnică Timișoara
- Universitatea de Vest Timișoara
- Universitatea „Aurel Vlaicu”, Arad
- Universitatea din Pitești
- Universitatea din Craiova
- Universitatea Tehnică Cluj-Napoca
- Universitatea „Transilvania” din Brașov

##### 4. SOCIETĂȚI COMERCIALE

- S.C. Nuclear NDT S.A. București
- S.C. Institutul de Cercetări pentru Acoperiri Avansate – ICAA S.A.
- S.C. Procomimpex S.R.L. Iași

## Colaborări

- S.C. Hidramold S.R.L. Iași
  - Microweb Engineering Iași
  - S.C. Afero-Exim S.R.L. București
  - S.C. Plastprod S.R.L. Iași
  - S.C. IPA S.A. București
  - S.C. UCM Reșița SA – UCMR
  - S.C. Laceca S.A. București
- 5. ALTE INSTITUȚII**
- Asociația Română de Examinări Nedistructive București
  - Spitalul Clinic de Urgențe "Sf. Spiridon" Iași
  - Spitalul Clinic de Recuperare Iași
  - Centrul de Cercetări Științifice Medico-Militare București
  - Centrul de Chimie Organică "Costin D. Nenițescu" București
  - Regia Autonomă pentru Activități Nucleare – Sucursala Cercetări Nucleare Pitești
  - Atelierele CFR Grivița București
  - Stațiunea de Cercetare-Dezvoltare pentru Viticultură și Vinificație Iași
- B) PARTENERIATE INTERNAȚIONALE**
- Naval Research Lab., S.U.A.
  - Michigan State University S.U.A.
  - National Center for Scientific Research "Demokritos" - Institute of Materials Science, Atena, Grecia
  - Istituto Nazionale di Ricerca Metrologica (ex Istituto Elettrotecnico Nazionale "Galileo Ferraris"), Torino, Italia
  - Research Institute for Solid State Physics and Optics, Hungarian Academy of Science, Budapest, Ungaria
  - Technische Universität Kaiserslautern, Germania
  - Universität Konstanz, Germania
  - Commissariat à l'Energie Atomique (CEA), Franța
  - Université Paris - Sud XI, Franța
  - Centre National de la Recherche Scientifique (CNRS), Franța
  - University of Glasgow, Marea Britanie
  - Imperial College of London, Marea Britanie
  - Interuniversitaire Micro-Electronica Centrum vzw (IMEC), Leuven, Belgia
  - University of Salamanca, Spania
  - Instituto de Engenharia de sistemas e Computadores, para os Microsistemas e as Nanotecnologias (INESC-MN), Lisabona, Portugalia
  - AGH University of Science and Technology; Cracovia, Polonia
  - Adam Mickiewicz University, Poznań, Polonia
  - Siemens Aktiengesellschaft, Germania
  - THALES SA, Franța
  - TEMAS AG, Zürich, Elveția
  - BioMaDe Technology Foundation, Olanda
  - Bulgarian Institute of Technology, Bulgarian Academy of Science, Sofia, Bulgaria
  - Dublin Institute of Technology, Irlanda
  - Swiss Federal Laboratory for Materials Testing and Research (EMPA), Elveția
  - Helsinki University of Technology, Finlanda
  - Jozef Stefan Institute, Ljubljana, Slovenia
  - Kaunas University, Lituanie
  - Latvian Society of Toxicology; Letonia

## Colaborări

- Nano Functional Materials Consortium, Israel
- Nofer Institute of Occupational Medicine, Polonia
- University of Crete, Grecia
- University of Leuven, Belgia
- University of Manchester, Marea Britanie
- University of Surrey, Marea Britanie
- VDI Technologiezentrum GmbH, Germania
- Halmstad University, Suedia
- École Polytechnique de Montréal, Canada
- The National University of Singapore, Singapore
- Salford University, Marea Britanie
- University of Sheffield, Marea Britanie
- Institut National Polytechnique de Grenoble, Franța
- Companii din Europa și S.U.A.

**VIZITE DE LUCRU, STAGII DE LUNGĂ DURATĂ ȘI ACTIVITĂȚI DE ‘TRAINING’ EFECTUATE DE VIZITATORI STRĂINI LA INCDFT-IFT Iași**

**A) Vizite de lucru efectuate în cadrul colaborărilor bilaterale**

- **Dr. Margaritis GJOKA** (13.03-16.03. 2008), NCSR Demokritos Institute of Materials Science, Atena, Grecia
- **Dr. Sverre KNUDSEN** (06.03-08.03. 2008), companie Norvegia
- **Dr. Asbjorn FRISVOLL** (06.03-08.03.2008), companie Norvegia
- **Prof. Kazuhiro HONO** (01.05-04.05.2008), NIMS, Tsukuba, Japonia
- **Dr. Visarath IN** (12.05-15.05.2008), SPAWAR Systems Center, San Diego, S.U.A.
- **Dr. Tomas TENGA** (26.07-28.07.2008; 24.09-26.09.2008), SARCI AG

**B) Activități de training**

- **Prof. Russell COWBURN** (07.04-09.04.2008), Durham Magneto optics Ltd., Marea Britanie
- **Herbert HOWLAND** (02.03-07.03. 2008), AJA International, S.U.A.
- **Alexander SCHRENK** (09.06-13.06.2008), LOT Oriel, Germania
- **Paulo BARIANNI** (12.04-12.04.2008), Schaeffer Italia
- **Manuel WATERSTRAT** (13.07-18.07.2008), FCT GmbH, Germania
- **Gerhard DRAGANITS** (22.12-23.12.2008), Carl Zeiss, Austria
- **Roland SIEKER** (09.06-13.06.2008; 25.11-29.11.2008), Germania
- **Paul CLOAKE** (11.06-12.06.2008), Microtrac Inc. European Office, Irlanda
- **Ing. Gran PAVEL** (15.05-19.05.2008), TESLA, Cehia
- **Karl BENZ** (04.08-05.08.2008), LOT Oriel, Elveția